

การเตรียมและการศึกษาลักษณะของอนุภาคนาโนลูทีนใน
เวย์โปรตีนไอโซเลต

PREPARATION AND CHARACTERIZATION OF LUTEIN IN WHEY
PROTEIN ISOLATE NANOPARTICLES



วิทยานิพนธ์นี้เป็นส่วนหนึ่งของการศึกษาคณะหลักสูตรของปริญญาวิทยาศาสตรมหาบัณฑิต

สาขาวิชาวิทยาศาสตร์การอาหาร

คณะอุตสาหกรรมเกษตร

สถาบันเทคโนโลยีพระจอมเกล้าเจ้าคุณทหารลาดกระบัง

พ.ศ. 2561

KMITL-2018-AI-M-053-315

การเตรียมและการศึกษาลักษณะของอนุภาคนาโนลูทีนใน
เวย์โปรตีนไอโซเลต

PREPARATION AND CHARACTERIZATION OF LUTEIN IN WHEY
PROTEIN ISOLATE NANOPARTICLES



วิทยานิพนธ์นี้เป็นส่วนหนึ่งของการศึกษาตามหลักสูตรของปริญญาวิทยาศาสตรมหาบัณฑิต

สาขาวิชาวิทยาศาสตร์การอาหาร

คณะอุตสาหกรรมเกษตร

สถาบันเทคโนโลยีพระจอมเกล้าเจ้าคุณทหารลาดกระบัง

พ.ศ. 2561

KMITL-2018-AI-M-053-315

เอกสารนี้เป็นเอกสารที่สงวนไว้สำหรับการใช้งานเพื่อการศึกษาเท่านั้น ไม่อนุญาตให้นำไปใช้ประโยชน์ด้านการค้า
ไม่ว่ากรณีใดๆ ทั้งสิ้น อีกทั้งห้ามมิให้ดัดแปลงเนื้อหา และต้องอ้างอิงถึงเจ้าของเอกสารทุกครั้งที่มีการนำไปใช้

**PREPARATION AND CHARACTERIZATION OF LUTEIN IN WHEY
PROTEIN ISOLATE NANOPARTICLES**



**A THESIS SUBMITTED IN PARTIAL FULFILLMENT
OF THE REQUIREMENT FOR THE DEGREE
MASTER OF SCIENCE IN FOOD SCIENCE
FACULTY OF AGRO-INDUSTRY
KING MONGKUT'S INSTITUTE OF TECHNOLOGY LADKRABANG**

2018

KMITL-2018-AI-M-053-315

เอกสารนี้เป็นเอกสารที่สงวนไว้สำหรับการใช้งานเพื่อการศึกษาเท่านั้น ไม่อนุญาตให้นำไปใช้ประโยชน์ด้านการค้า
ไม่ว่ากรณีใดๆ ทั้งสิ้น อีกทั้งห้ามมิให้ดัดแปลงเนื้อหา และต้องอ้างอิงถึงเจ้าของเอกสารทุกครั้งที่มีการนำไปใช้



COPYRIGHT 2018

FACULTY OF AGRO-INDUSTRY

KING MONGKUT'S INSTITUTE OF TECHNOLOGY LADKRABANG

เอกสารนี้เป็นเอกสารที่สงวนไว้สำหรับการใช้งานเพื่อการศึกษาเท่านั้น ไม่อนุญาตให้นำไปใช้ประโยชน์ด้านการค้า
ไม่ว่ากรณีใดๆ ทั้งสิ้น อีกทั้งห้ามมิให้ดัดแปลงเนื้อหา และต้องอ้างอิงถึงเจ้าของเอกสารทุกครั้งที่มีการนำไปใช้

คณะอุตสาหกรรมเกษตร
สถาบันเทคโนโลยีพระจอมเกล้าเจ้าคุณทหารลาดกระบัง
ใบรับรองวิทยานิพนธ์

หัวข้อวิทยานิพนธ์ การเตรียมและการศึกษาลักษณะของอนุภาคนาโนลูทีนในเวย์โปรตีนไอโซเลต
PREPARATION AND CHARACTERIZATION OF LUTEIN IN WHEY
PROTEIN ISOLATE NANOPARTICLES

ชื่อนักศึกษา นางสาวนฤมล สุประภากร

รหัสประจำตัว 57608006

ปริญญา วิทยาศาสตรมหาบัณฑิต

สาขาวิชา วิทยาศาสตร์การอาหาร

อาจารย์ที่ปรึกษาวิทยานิพนธ์ ดร.ปนัดดา นนทนา

อาจารย์ที่ปรึกษาวิทยานิพนธ์ร่วม -

คณะกรรมการสอบวิทยานิพนธ์	ลายมือชื่อ
ดร.ปนัดดา นนทนา	ปนัดดา นนทนา
ผศ.ดร.โสธยา เกิดพิบูลย์	สม
ดร.วิรามศรี ศรีพจนารถ	วิรามศรี ศรีพจนารถ
ดร.สุรัชย์ ใหญ่เย็น	สุรัชย์ ใหญ่เย็น

วัน / เดือน / ปีที่สอบ 26 กรกฎาคม 2561 เวลา 09.30 น. เป็นต้นไป

สถานที่สอบ ณ ห้อง A 303 อาคารเจ้าคุณทหาร

คณะอุตสาหกรรมเกษตรรับรองแล้ว



(รองศาสตราจารย์ ดร.ประพันธ์ ปิ่นศิริโรดม)

คณบดีคณะอุตสาหกรรมเกษตร

วันที่...26...เดือน...กรกฎาคม...พ.ศ...2561...

เอกสารนี้เป็นเอกสารที่สงวนไว้สำหรับการใช้งานเพื่อการศึกษาเท่านั้น ไม่อนุญาตให้นำไปใช้ประโยชน์ด้านการค้า
ไม่ว่ากรณีใดๆ ทั้งสิ้น อีกทั้งห้ามมิให้ตัดแปลงเนื้อหา และต้องอ้างอิงถึงเจ้าของเอกสารทุกครั้งที่มีการนำไปใช้

หัวข้อวิทยานิพนธ์	การเตรียมและการศึกษาลักษณะของอนุภาคนาโนลูทีนใน เวย์โปรตีนไอโซเลต
ชื่อนักศึกษา	นางสาว นฤมล สุประภากร
รหัสประจำตัว	57608006
ปริญญา	วิทยาศาสตรมหาบัณฑิต
สาขาวิชา	วิทยาศาสตร์การอาหาร
พ.ศ.	2561
อาจารย์ที่ปรึกษาวิทยานิพนธ์	ดร.ปนัดดา นนทนา

บทคัดย่อ

ลูทีนเป็นสารสำคัญในกลุ่มแคโรทีนอยด์ที่สะสมอยู่บริเวณจอประสาทตามนุษย์ การบริโภคลูทีนมีบทบาทช่วยลดความเสี่ยงต่อการเกิดโรคจอประสาทตาเสื่อมซึ่งสามารถนำไปสู่ภาวะการตาบอดได้ งานวิจัยนี้มีวัตถุประสงค์เพื่อศึกษาการผลิตลูทีนให้มีขนาดอนุภาคนาโน เพื่อเพิ่มประสิทธิภาพการย่อยและดูดซึมลูทีนเข้าสู่ร่างกาย ทั้งในรูปแบบแห้งและรูปแบบอิมัลชันด้วยเทคนิคดีซอลเวชัน โดยจะมีการห่อหุ้มลูทีนด้วยเวย์โปรตีนไอโซเลต เพื่อเพิ่มการปกป้องและส่งผลให้ลูทีนสามารถกระจายตัวในน้ำได้ โดยในการผลิตลูทีนในรูปแบบแห้งได้ทำการศึกษาผลของสภาวะการผลิต ได้แก่ ระดับพีเอชของสารละลายเวย์โปรตีนไอโซเลต (3, 7 และ 9) ปริมาณของลูทีนต่อเวย์โปรตีนไอโซเลต (1.25:100, 2.50:100, 3.75:100 และ 5.00:100) และปริมาตรเอทานอลที่เติมลงในสารละลายเวย์โปรตีนไอโซเลต (0.25, 0.50 และ 0.75 เท่า) ต่อประสิทธิภาพการห่อหุ้มลูทีนในเวย์โปรตีนไอโซเลต ลักษณะทางสัณฐานวิทยา ขนาดอนุภาค การปลดปล่อยลูทีน โดยจำลองระบบการย่อยอาหารในหลอดทดลอง และความคงตัวของลูทีนเมื่อทำการเก็บรักษาที่อุณหภูมิต่างๆ (5, 25 และ 40 องศาเซลเซียส) ผลจากการทดลองพบว่าประสิทธิภาพการห่อหุ้มลูทีนมีค่าสูงสุดร้อยละ 91 ที่สภาวะการผลิตที่ระดับพีเอชของสารละลายเวย์โปรตีนไอโซเลตเท่ากับ 9 ปริมาณของลูทีนต่อเวย์โปรตีนไอโซเลตเท่ากับ 2.50:100 และปริมาตรเอทานอลที่เติมลงในสารละลายเวย์โปรตีนไอโซเลตเท่ากับ 0.50 เท่า ผลจากการตรวจสอบด้วยกล้องจุลทรรศน์อิเล็กตรอนแบบส่องกราดพบว่าผลิตภัณฑ์ที่ผลิตได้จากสภาวะการผลิตนี้จะมีลักษณะเป็นอนุภาครูปร่างทรงกลมขนาดเล็กมาต่อกัน โดยขนาดอนุภาคของลูทีนในเวย์โปรตีนไอโซเลตที่วัดได้จากเครื่องวัดการกระเจิงแสงแบบไดนามิกส์มีค่าประมาณ 198 นาโนเมตร ขนาดอนุภาคของลูทีนในเวย์โปรตีนไอโซเลตมีแนวโน้มที่ใหญ่ขึ้นในสภาวะการผลิตที่ระดับพีเอชของสารละลายเวย์โปรตีนไอ

เอกสารนี้เป็นเอกสารที่สงวนไว้สำหรับการใช้งานเพื่อการศึกษาเท่านั้น ไม่อนุญาตให้นำไปใช้ประโยชน์ด้านการค้าไม่ว่ากรณีใดๆ ทั้งสิ้น อีกทั้งห้ามมิให้ตัดแปลงเนื้อหา และต้องอ้างอิงถึงเจ้าของเอกสารทุกครั้งที่มีการนำไปใช้

โซเลตมีค่าลดลง ปริมาณของลูทีนต่อเวย์โปรตีน ไอโซเลตที่ใช้และปริมาตรเอทานอลที่เติมลงในสารละลายเวย์โปรตีน ไอโซเลตมีค่าเพิ่มขึ้น ผลจากการศึกษาปริมาณการปลดปล่อยลูทีนจากอนุภาคลูทีนในเวย์โปรตีน ไอโซเลตในสภาวะจำลองระบบการย่อยอาหารในหลอดทดลองพบว่า ปริมาณการปลดปล่อยลูทีนมีความสัมพันธ์ขนาดอนุภาคลูทีนในเวย์โปรตีน ไอโซเลตที่ผลิตได้ โดยลูทีนมีแนวโน้มที่จะถูกปลดปล่อยออกจากอนุภาคลูทีนในเวย์โปรตีน ไอโซเลตได้สูงขึ้นเมื่ออนุภาคลูทีนในเวย์โปรตีน ไอโซเลตมีขนาดเล็กลง โดยผลจากการศึกษาความคงตัวของลูทีนต่อสภาวะการเก็บรักษาที่อุณหภูมิต่างๆ พบว่า ตัวอย่างที่มีค่าประสิทธิภาพการห่อหุ้มที่สูงจะมีค่าความคงตัวที่สูง โดยการเก็บรักษาที่อุณหภูมิสูง 40 องศาเซลเซียส จะทำให้ลูทีนเกิดการเสื่อมสลายไปมากกว่าการเก็บรักษาที่อุณหภูมิ 25 และ 4 องศาเซลเซียส ส่วนการทดลองการผลิตลูทีนในรูปแบบอิมัลชัน ได้ทำการศึกษาผลของการเติมสารลดแรงตึงผิวมวล โมเลกุลต่ำ (เลซิติน และทวิน 80) ร่วมกับการใช้เวย์โปรตีน ไอโซเลตในการห่อหุ้มลูทีน ต่อประสิทธิภาพการห่อหุ้มลูทีน ขนาดอนุภาค การปลดปล่อยลูทีน โดยจำลองระบบการย่อยอาหาร ในหลอดทดลอง และความคงตัวของลูทีนเมื่อทำการเก็บรักษาโดยใช้อุณหภูมิก่อนเก็บรักษาที่แตกต่างกัน (4, 25 และ 40 องศาเซลเซียส) ผลจากการทดลองพบว่า การเติมสารลดแรงตึงผิวมวล โมเลกุลต่ำร่วมกับการใช้เวย์โปรตีน ไอโซเลต จะทำให้ประสิทธิภาพการห่อหุ้มลูทีนเพิ่มขึ้น โดยที่ขนาดอนุภาคลูทีนที่ถูกห่อหุ้มมีค่าลดลงเมื่อเทียบกับการใช้เวย์โปรตีน ไอโซเลตเพียงอย่างเดียวในการห่อหุ้มลูทีน โดยประสิทธิภาพการห่อหุ้มลูทีนมีค่าประมาณร้อยละ 87.14, 88.47 และ 91.36 และขนาดอนุภาคลูทีนที่ถูกห่อหุ้มมีค่าประมาณ 203, 105 และ 143 นาโนเมตร เมื่อทำการห่อหุ้มลูทีนด้วยเวย์โปรตีน ไอโซเลตเพียงอย่างเดียว เวย์โปรตีน ไอโซเลตร่วมกับเลซิติน และเวย์โปรตีน ไอโซเลตร่วมกับทวิน 80 ตามลำดับ ผลจากการศึกษาการปลดปล่อย ลูทีนออกจากตัวห่อหุ้มในสภาวะจำลองระบบการย่อยอาหารในหลอดทดลองพบว่าลูทีนที่ถูกห่อหุ้มด้วยเวย์โปรตีน ไอโซเลตร่วมกับทวิน 80 มีค่าปริมาณการปลดปล่อยลูทีนที่สูงที่สุดและผลจากการศึกษาความคงตัวของลูทีนในสภาวะการเก็บรักษาที่อุณหภูมิต่างกัน พบว่าลูทีนที่ถูกห่อหุ้มด้วยเวย์โปรตีน ไอโซเลตร่วมกับเลซิตินมีความคงตัวมากที่สุดต่อทุกอุณหภูมิ การเก็บรักษาเมื่อเทียบกับตัวอย่างอื่นๆ

Thesis	Preparation and Characterization of Lutein in Whey protein Isolate Nanoparticles.
Student	Miss. Narumon Suprapakorn
Student ID.	57608006
Degree	Master of Science
Program	Food Science
Year	2018
Thesis Advisor	Dr. Panadda Nonthanum

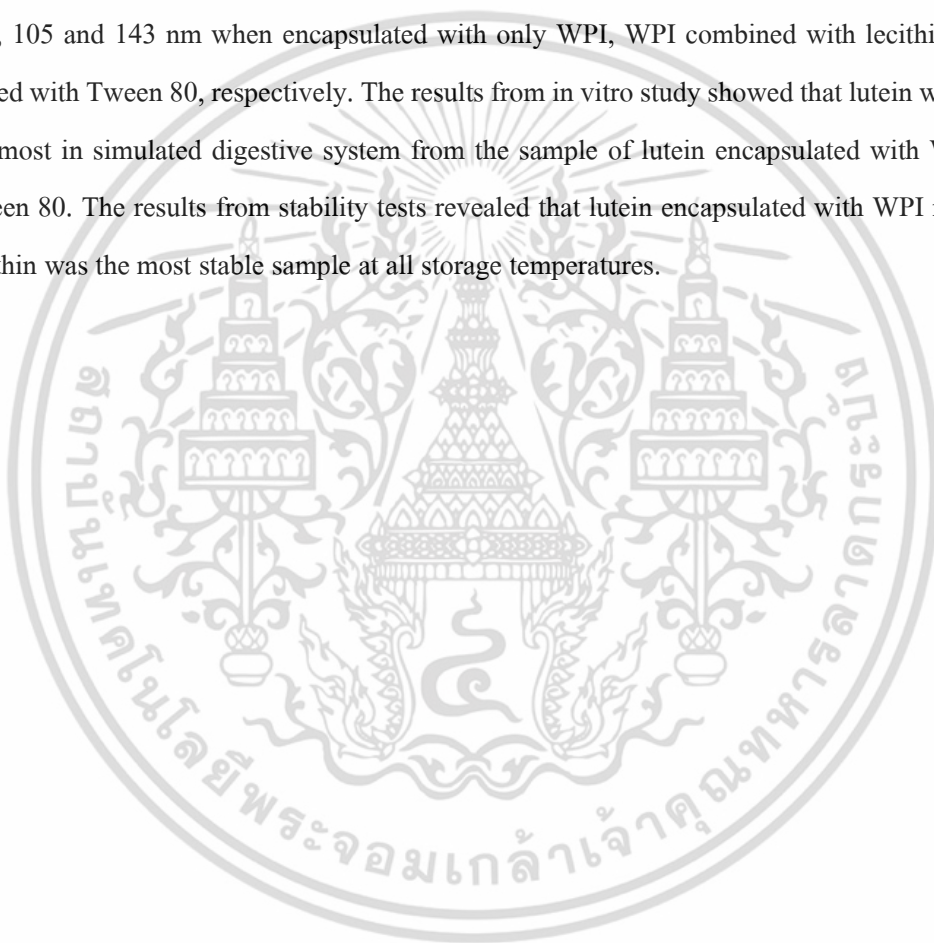
ABSTRACT

Lutein is a carotenoid that accumulates in human retina. Lutein can help reduce the risk of developing age-related macular degeneration which leads to blindness. In order to enhance digestion and absorption of lutein into the body, this research aimed to produce nanoparticles of lutein in both dry and emulsion forms using a desolvation method. Lutein would be encapsulated with whey protein isolate (WPI) to increase its protection and enable the dispersion in water. For the production of lutein nanoparticles in dry form, the effects of pH levels of WPI solution (3, 7 and 9), the ratio of lutein to WPI (1.25: 100, 2.50: 100, 3.75: 100 and 5.00: 100) and the amount of ethanol added to WPI solution (0.25, 0.50 and 0.75 times) on encapsulation efficiency (EE) of lutein, encapsulated lutein particle sizes, morphology, lutein in vitro digestion and the stability of lutein in different storage temperatures would be investigated. The results showed that EE of lutein was approximately 91% at the processing conditions of using the WPI solution at pH 9 with the ratio of lutein to WPI of 2.50:100 and the volume of ethanol added to the WPI solution was 0.50 times. The morphology of the lutein entrapped with WPI as examined by scanning electron microscope at this particular processing condition showed small spherical particles connected to each other. The average size of lutein in WPI particles as measured by dynamic light scattering was approximately 198 nm. The particle size tended to increase as the pH values of the WPI solution decreased, the amount of added ethanol to WPI solution and the ratio of lutein to WPI increased. The release of lutein simulated in vitro digestive system was correlated with lutein particle sizes. Lutein was likely to be released in a higher amount from the smaller encapsulated lutein particles.

As for the stability of lutein upon storage at various temperatures, it was found that the samples

เอกสารนี้เป็นเอกสารที่สงวนไว้สำหรับการใช้งานเพื่อการศึกษาเท่านั้น ไม่อนุญาตให้นำไปใช้ประโยชน์ด้านการค้า
ไม่ว่ากรณีใดๆ ทั้งสิ้น อีกทั้งห้ามมิให้ตัดแปลงเนื้อหา และต้องอ้างอิงถึงเจ้าของเอกสารทุกครั้งที่มีการนำไปใช้

with high EE showed high stability. Lutein samples kept at the temperature of 40°C would decay faster when compared to those stored at 25 and 4°C. For the experiments on the production of lutein nanoemulsion, the effects of addition of low molecular weight surfactants (lecithin and Tween 80) to the high molecular weight emulsifier (WPI) on EE of lutein, particle sizes of encapsulated lutein, lutein in vitro digestion, and the stability of lutein in different storage temperatures would be studied. The results showed that the addition of low molecular weight surfactants into the system increased EE of lutein while decreased encapsulated lutein particle sizes. The EE of the lutein was approximately 87.14, 88.47 and 91.36% while the average particle size of lutein was approximately 203, 105 and 143 nm when encapsulated with only WPI, WPI combined with lecithin and WPI mixed with Tween 80, respectively. The results from in vitro study showed that lutein was released the most in simulated digestive system from the sample of lutein encapsulated with WPI mixed Tween 80. The results from stability tests revealed that lutein encapsulated with WPI mixed with lecithin was the most stable sample at all storage temperatures.



กิตติกรรมประกาศ

วิทยานิพนธ์ฉบับนี้เป็นส่วนหนึ่งของการศึกษาลัทธิสุทธวิทาศาสตร์มหาบัณฑิต สาขา
วิทยาศาสตร์การอาหาร คณะอุตสาหกรรมเกษตร ซึ่งวิทยานิพนธ์นี้สำเร็จไปได้ด้วยดีจากความ
กรุณาของ ดร. ปันดดา นนทนา อาจารย์ที่ปรึกษาวิทยานิพนธ์ ซึ่งได้ให้คำปรึกษาข้อชี้แนะ และให้
ความช่วยเหลือในหลายสิ่งหลายอย่างจนกระทั่งวิทยานิพนธ์ฉบับนี้สมบูรณ์ ผู้วิจัยขอกราบ
ขอบพระคุณเป็นอย่างสูงมา ณ ที่นี้

ขอกราบขอบพระคุณ ดร.สุรชัย ใหญ่เย็น ประธานสอบวิทยานิพนธ์ และกรรมการสอบ
วิทยานิพนธ์ ผศ.ดร. โสธยา เกิดพิบูลย์ และ ดร.วิรามศรี ศรีพจนารถ ที่ให้ความกรุณาแก้ไข
ข้อบกพร่องต่างๆ ของงานวิจัย รวมทั้งตรวจสอบ และให้คำแนะนำด้วยดีตลอดมา

นอกจากนี้ยังขอขอบคุณความช่วยเหลือด้านเครื่องมือจากเจ้าหน้าที่วิทยาลัยนวัตกรรมการ
จัดการข้อมูล และศูนย์วิจัยร่วมภาครัฐและเอกชน คณะเทคโนโลยีการเกษตร สถาบันเทคโนโลยี
พระจอมเกล้าเจ้าคุณทหารลาดกระบัง จนทำให้งานวิจัยนี้สำเร็จลุล่วงไปได้ด้วยดี ผู้วิจัยจึงขอกราบ
ขอบพระคุณไว้ ณ โอกาสนี้

นฤมล สุประภากร

สารบัญ

	หน้า
บทคัดย่อภาษาไทย.....	I
บทคัดย่อภาษาอังกฤษ.....	II
กิตติกรรมประกาศ.....	III
สารบัญ.....	IV
สารบัญตาราง.....	VII
สารบัญภาพ.....	IX
บทที่ 1 บทนำ.....	1
1.1 ความสำคัญและที่มา.....	1
1.2 วัตถุประสงค์งานวิจัย.....	3
1.3 ขอบเขตงานวิจัย.....	3
1.4 ประโยชน์ที่คาดว่าจะได้รับ.....	3
บทที่ 2 ทฤษฎีและวรรณกรรมที่เกี่ยวข้อง.....	4
2.1 ลูทีน.....	4
2.1.1 ลูทีนในธรรมชาติ.....	5
2.1.2 การดูดซึมลูทีนเข้าสู่ร่างกาย.....	8
2.1.3 ความปลอดภัยของลูทีน.....	11
2.2 นาโนเทคโนโลยี.....	13
2.2.1 การห่อหุ้มสารทางด้านอาหาร.....	14
2.2.2 การผลิตอนุภาคนาโน.....	15
2.2.3 การห่อหุ้มสารโดยใช้วิธีการดีซอลเวชัน.....	16
2.2.4 สารที่ใช้ในการห่อหุ้มอนุภาคนาโน.....	18
2.3 การผลิตอนุภาคนาโนจากเวย์โปรตีนไอโซเลตด้วยวิธีการดีซอลเวชัน.....	19
2.3.1 โครงสร้างเวย์โปรตีนไอโซเลต.....	19
2.3.2 แรงพันธะในโครงสร้างเวย์โปรตีนไอโซเลต.....	20
2.2.3 การห่อหุ้มอนุภาคนาโนด้วยเบต้าแลคโตกลอบูลิน.....	22
2.2.4 ปัจจัยสำหรับการออกแบบการห่อหุ้มสารด้วยเบต้าแลคโตกลอบูลิน.....	25

เอกสารนี้เป็นเอกสารที่สงวนไว้สำหรับการใช้งานเพื่อการศึกษาเท่านั้น ไม่อนุญาตให้นำไปใช้ประโยชน์ด้านการค้า
ไม่ว่ากรณีใดๆ ทั้งสิ้น อีกทั้งห้ามมิให้ตัดแปลงเนื้อหา และต้องอ้างอิงถึงเจ้าของเอกสารทุกครั้งที่มีการนำไปใช้

สารบัญ (ต่อ)

	หน้า
2.3.5 สภาวะทางกายภาพและทางเคมีที่มีผลต่อการรวมตัวเป็นอนุภาคนาโน..	29
2.4 การขนส่งสารสำคัญด้วยอนุภาคนาโนในสภาวะทางเดินอาหารจำลอง.....	30
2.4.1 อัตราการดูดซึมของสารพฤษเคมีกลุ่มฟีนอลิก.....	30
2.4.2 การละลายและความคงตัวของสารพฤษเคมีกลุ่มฟีนอลิก.....	31
2.4.3 การดูดซึมสารพฤษเคมีกลุ่มฟีนอลิกในระบบเซลล์ของลำไส้เล็ก.....	32
2.4.4 ระบบอนุภาคนาโนในการขนส่งสารพฤษเคมีกลุ่มฟีนอลิก.....	34
2.5 งานวิจัยที่เกี่ยวข้อง.....	35
บทที่ 3 อุปกรณ์และวิธีการทดลอง.....	38
3.1 วัตถุประสงค์.....	38
3.2 เครื่องมือและอุปกรณ์.....	38
3.3 สารเคมี.....	39
3.4 วิธีดำเนินงานวิจัย.....	40
บทที่ 4. ผลการทดลองและวิจารณ์ผล.....	47
4.1 การผลิตอนุภาคลูทีนในเวย์โปรตีนไอโซเลตด้วยวิธีดีซอลเวชันแบบผงแห้ง..	47
4.1.1 ประสิทธิภาพการห่อหุ้มลูทีนในเวย์โปรตีนไอโซเลต.....	47
4.1.2 ลักษณะทางสัณฐานวิทยาของลูทีนในเวย์โปรตีนไอโซเลต.....	55
4.1.3 ความคงตัวของลูทีนในเวย์โปรตีนไอโซเลตภายใต้สภาวะการเก็บรักษา ที่อุณหภูมิต่างๆ.....	61
4.1.4 การปลดปล่อยลูทีนจากอนุภาคลูทีนในเวย์โปรตีนไอโซเลตภายใต้ สภาวะจำลองการย่อยอาหารในหลอดทดลอง.....	64
4.2 การผลิตอิมัลชันลูทีนในเวย์โปรตีนไอโซเลตร่วมกับการเติมสารลดแรงตึงผิว มอลโมเลกุลต่ำ.....	69
4.2.1 ประสิทธิภาพการห่อหุ้มลูทีนในเวย์โปรตีนไอโซเลตร่วมกับสารลดแรง ตึงผิวมอลโมเลกุลต่ำ.....	69
4.2.2 ลักษณะของอนุภาคลูทีนที่ถูกห่อหุ้มด้วยเวย์โปรตีนไอโซเลตร่วมกับ เติมสารลดแรงตึงผิวมอลโมเลกุลต่ำ.....	70

สารบัญ (ต่อ)

	หน้า
4.2.3 ความคงตัวของลูทีนที่ถูกห่อหุ้มด้วยเว็โปรตีนไอโซเลตร่วมกับสาร ลดแรงตึงผิวมวลโมเลกุลต่ำภายใต้สภาวะการเก็บรักษาที่อุณหภูมิ ต่างๆ.....	71
4.2.4 การปลดปล่อยลูทีนจากอนุภาคลูทีนที่ถูกห่อหุ้มด้วยเว็โปรตีนไอโซ เลตร่วมกับสารลดแรงตึงผิวมวลโมเลกุลต่ำภายใต้สภาวะจำลองการ ย่อยอาหารในหลอดทดลอง.....	74
บทที่ 5 สรุปผลการทดลองและข้อเสนอแนะ.....	75
5.1 สรุปผลการทดลอง.....	75
5.2 ข้อเสนอแนะ.....	75
บรรณานุกรม.....	76
ภาคผนวก.....	92
ภาคผนวก ก การทดลองเบื้องต้น: การศึกษาสภาวะการผลิตอนุภาคนาโนเว็ โปรตีนไอโซเลต.....	92
ภาคผนวก ข การเตรียมสารเคมีที่ใช้ในการวิเคราะห์.....	100
ประวัติผู้เขียน.....	101

สารบัญตาราง

ตารางที่		หน้า
2.1	ปริมาณลูทีนที่ได้รับจากอาหารชนิดต่างๆ.....	5
2.2	สมบัติทางเคมีและสมบัติทางกายภาพของสารสกัดลูทีน.....	5
2.3	สมบัติและลักษณะของอนุภาคนาโน.....	12
2.4	ข้อดีและข้อจำกัดของวิธีการต่างๆที่ใช้ในการผลิตอนุภาคนาโน.....	16
2.5	องค์ประกอบและลักษณะของเวย์โปรตีนไอโซเลต.....	19
2.6	ข้อคำนึงในการเลือกใช้วัสดุห่อหุ้มสารออกฤทธิ์ทางชีวภาพ.....	26
2.7	วิธีการผลิตอนุภาคนาโนในรูปแบบต่างๆที่ใช้เม็ดตำแลคโตกลอบูลินเป็นวัสดุห่อหุ้มสารสำคัญ.....	28
4.1	ค่าประสิทธิภาพการห่อหุ้มสารลูทีนในเวย์โปรตีนไอโซเลต.....	48
4.2	ผลการวิเคราะห์ค่าประสิทธิภาพการห่อหุ้มลูทีนในอนุภาคเวย์โปรตีนไอโซเลตในรูปแบบตาราง ANOVA.....	48
4.3	ขนาดอนุภาคลูทีนในเวย์โปรตีนไอโซเลตจากการวัดขนาดอนุภาคด้วยเทคนิคการกระเจิงแสงแบบไดนามิกส์ (Dynamic light scattering)	58
4.4	ขนาดอนุภาค ค่าการกระจายตัวอนุภาค ค่าศักย์ซีต้า และค่าประสิทธิภาพการห่อหุ้มลูทีนเวย์โปรตีนไอโซเลตร่วมกับการเติมสารลดแรงตึงผิวมวลโมเลกุลต่ำ.....	71

สารบัญภาพ

ภาพที่		หน้า
2.1	โครงสร้างทางเคมีของลูทีน.....	6
2.2	กลุ่มแคโรทีนอยด์ที่อยู่ในซีรัมและเนื้อเยื่อมนุษย์.....	8
2.3	สเปกตรัมการดูดกลืนแสงของลูทีน.....	8
2.4	ลักษณะผลึกลูทีน.....	10
2.5	ช่วงขนาดของอนุภาคนาโน.....	10
2.6	หลักการสร้างอนุภาคนาโน.....	14
2.7	การห่อหุ้มสาร โดยใช้วิธีการดีซอลเวชัน.....	15
2.8	วัสดุห่อหุ้มสารออกฤทธิ์ทางชีวภาพ.....	18
2.9	โครงสร้างเบต้าแลคโตกลอบูลินที่ถูกเกาะด้วยคอเลสเตอรอล.....	24
2.10	รูปแบบการดูดซึมสารพฤษเคมีกลุ่มฟีนอลิกเข้าสู่เซลล์รูปแบบต่างๆ.....	32
2.11	การดูดซึมอนุภาคนาโนเข้าสู่เซลล์ลำไส้เล็ก.....	34
4.1	กราฟวิเคราะห์ผลของปัจจัยหลักที่ใช้ในการผลิตอนุภาคลูทีนในเวย์โปรตีนไอโซเลตที่มีต่อค่าประสิทธิภาพการห่อหุ้มลูทีนในเวย์โปรตีนไอโซเลต.....	49
4.2	ภาพถ่ายจากกล้องจุลทรรศน์อิเล็กตรอนแบบส่องกราดของอนุภาคนาโนลูทีนในเวย์โปรตีนไอโซเลต.....	59
4.3	ภาพถ่ายสารละลายลูทีนในเวย์โปรตีนไอโซเลต.....	60
4.4	ปริมาณของลูทีนที่คงเหลืออยู่ในอนุภาคลูทีนในเวย์โปรตีนไอโซเลตหลังจากเก็บรักษาที่อุณหภูมิ 4, 25 และ 40 องศาเซลเซียส ระยะเวลา 15 วัน...	63
4.5	ปริมาณลูทีนที่ถูกปลดปล่อยลูทีนจากอนุภาคลูทีนในเวย์โปรตีนไอโซเลตในสภาวะการย่อยอาหารแบบจำลองในสภาวะปาก กระเพาะอาหาร และลำไส้เล็ก.....	66

สารบัญภาพ (ต่อ)

ภาพที่		หน้า
4.6	ปริมาณกรดไขมันอิสระที่ถูกปลดปล่อยจากอนุภาคไขมันในเวย์โปรตีนไอโซเลตในสภาวะการย่อยอาหารแบบจำลองในสภาวะลำไส้เล็ก.....	68
4.7	ปริมาณของไขมันที่คงเหลืออยู่ในอนุภาคที่ห่อหุ้มด้วย เวย์โปรตีนไอโซเลต, เวย์โปรตีนไอโซเลต-ทวิน-80 และ เวย์โปรตีนไอโซเลต-เลซิดิน หลังจากเก็บรักษาที่อุณหภูมิ 4, 25 และ 40 องศาเซลเซียส ระยะเวลา 15 วัน.....	73
4.8	ปริมาณไขมันที่ถูกปลดปล่อยจากอนุภาคไขมันในเวย์โปรตีนไอโซเลตในสภาวะจำลองการย่อยอาหารในหลอดทดลอง ที่ห่อหุ้มอนุภาคไขมันด้วยเวย์โปรตีนไอโซเลต, เวย์โปรตีนไอโซเลตกับทวิน-80 และ เวย์โปรตีนไอโซเลตกับเลซิดิน.....	74
ก.1	ภาพถ่ายสารละลายอนุภาคเวย์โปรตีนไอโซเลต ที่ระดับความเข้มข้นของเวย์โปรตีนไอโซเลตร้อยละ 0.5, 1.0, 2.0, 3.0 และ 5.0 และปริมาตรเอทานอลที่เติมลงไปในการละลายเวย์โปรตีนไอโซเลตที่ระดับ (a) 0.25 เท่า (b) 0.50 เท่า (c) 0.75 เท่า.....	96
ก.2	ภาพถ่ายอนุภาคเวย์โปรตีนไอโซเลตจากกล้องจุลทรรศน์อิเล็กตรอนแบบส่องกราดที่ระดับความเข้มข้นของเวย์โปรตีนไอโซเลตร้อยละ 1 และปริมาตรเอทานอลต่อสารละลายเวย์โปรตีนไอโซเลตที่ระดับ (a) 0.25 เท่า (b) 0.50 เท่า (c) 0.75 เท่า.....	96
ก.3	ภาพถ่ายสารละลายเวย์โปรตีนไอโซเลต ที่ระดับความเข้มข้นของร้อยละ 1 เมื่อมีการเติมเอทานอลที่เติมลงไปในการละลายเวย์โปรตีนไอโซเลต 0.25, 0.50 และ 0.75 เท่า พีเอชของสารละลายเวย์โปรตีนไอโซเลต 3 ระดับ คือ (a) pH3 (b) pH 7 (c) pH 9.....	97

สารบัญภาพ (ต่อ)

ภาพที่	หน้า	
ก.4	ภาพถ่ายอนุภาคเวย์โปรตีนไอโซเลตจากกล้องจุลทรรศน์อิเล็กตรอนแบบส่องกราดที่ระดับความเข้มข้นของเวย์โปรตีนไอโซเลตร้อยละ 1 ปริมาตรเอทานอลที่เติมลงไปในการละลายเวย์โปรตีนไอโซเลต 0.50 เท่า ระดับพีเอชของสารละลายเวย์โปรตีนไอโซเลต คือ (a) pH3 (b) pH 7 (c) pH 9.....	97
ก.5	ภาพถ่ายของวัตถุดิบที่นำมาใช้ในกระบวนการดีซอลเวชัน เพื่อผลิตอนุภาคลูทีนในเวย์โปรตีนไอโซเลต (a) สารละลายลูทีนในเอทานอล (b) สารละลายเวย์โปรตีนไอโซเลตในน้ำปราศจากไอออน (c) สารละลายลูทีนในเวย์โปรตีนไอโซเลต ที่ pH 9 เอทานอล 0.50 เท่า สัดส่วนลูทีนต่อเวย์โปรตีนไอโซเลต 1.25:100, 2.50:100, 3.75:100 และ 5.00:100.....	99
ก.6	ภาพถ่ายอนุภาคเวย์โปรตีนไอโซเลตจากกล้องจุลทรรศน์อิเล็กตรอนแบบส่องกราด (a) สารละลายลูทีนในเอทานอล (b) สารละลายเวย์โปรตีนไอโซเลตในน้ำปราศจากไอออน (c) สารละลายอนุภาคนาโนลูทีนในเวย์โปรตีนไอโซเลต ที่ pH 9 เอทานอล 0.50 เท่า สัดส่วนลูทีนต่อเวย์โปรตีนไอโซเลต 1.25:100, 2.50:100, 3.75:100 และ 5.00:100.....	99

บทที่ 1

บทนำ

1.1 ความเป็นมาและความสำคัญ

ลูทีนเป็นสารรงควัตถุสีเหลืองที่จัดอยู่ในกลุ่มของแคโรทีนอยด์ซึ่งพบในพืชผักตามธรรมชาติ ในปัจจุบันมีการแยกสารในกลุ่มแคโรทีนอยด์ออกมาได้มากกว่า 700 ชนิด (Britton *et al.*, 2004) แต่มีแค่เพียงลูทีนและซีแซนทีนเท่านั้นที่มีการสะสมอยู่บริเวณจอประสาทตาของมนุษย์ โดยทำหน้าที่กรองแสงสีฟ้าซึ่งมีพลังงานสูงที่สามารถไปทำลายจอประสาทตาได้ มีรายงานวิจัยพบว่าปริมาณลูทีนที่ร่างกายได้รับมีความสัมพันธ์กับการเกิดโรคทางสายตา โดยกลุ่มคนที่ได้รับลูทีนเข้าสู่ร่างกายจะมีระดับลูทีนในเลือดและในจอประสาทตาที่สูง มีการมองเห็นที่ชัดเจน และมีแนวโน้มของการเกิดโรคจอประสาทตาเสื่อมที่สามารถนำไปสู่ภาวะตาบอดได้ในอัตราที่ต่ำลง เมื่อเทียบกับกลุ่มบุคคลที่ไม่ได้บริโภคลูทีน

ลูทีนเป็นสารที่จำเป็นจะต้องได้รับเข้าสู่ร่างกายจากการบริโภคเท่านั้น เนื่องจากลูทีนเป็นสารที่ร่างกายไม่สามารถสังเคราะห์ขึ้นได้เอง (Fernandes, 1993) แหล่งอาหารที่มีลูทีนในปริมาณที่สูง มักเป็นผักใบสีเขียวเข้ม เช่น ผักคะน้า และผักโขม ซึ่งจะมีลูทีนอยู่ในปริมาณ 4.8-13.4 และ 6.5-13.0 มิลลิกรัมต่อน้ำหนักผักสด 100 กรัม ตามลำดับ โดยการบริโภคลูทีนวันละ 6 มิลลิกรัมต่อวันจะสามารถลดความเสี่ยงของการเกิดโรคจอประสาทตาเสื่อมได้ประมาณร้อยละ 57 (Kopsell *et al.*, 2007) นั่นหมายถึงอาจจะต้องมีการบริโภคผักใบเขียวที่ประกอบด้วยสารลูทีนในวันละประมาณ 100-500 กรัม จึงจะเพียงพอต่อการลดความเสี่ยงต่อการเกิดโรคจอประสาทตาเสื่อมได้ รายงานการวิจัยของ USDA ที่จัดทำขึ้นในปี 2001 พบว่าชาวอเมริกันได้รับสารลูทีนจากการรับประทานอาหารเฉลี่ยประมาณ 1.7 มิลลิกรัมต่อวัน (National Institute of Medicine 2001; O'Neill *et al.*, 2001) ประชากรชาวยุโรปได้รับลูทีนจากการรับประทานอาหารโดยเฉลี่ยประมาณ 2.2 มิลลิกรัมต่อวัน ส่วนในประเทศไทยยังไม่มีรายงานถึงปริมาณการบริโภคสารลูทีน แต่ก็มีข้อมูลการศึกษาทางระบาดวิทยาของโรงพยาบาลรามารับดี จากสถิติผู้ป่วยนอกและผู้ป่วย 5 ปีย้อนหลัง (2551-2555) พบว่าประชากรผู้สูงอายุในกลุ่ม 65-75 ปี มีความเสี่ยงต่อการเกิดโรคความเสื่อมของดวงตา (Age-Related Macular Degeneration, AMD) สูงถึงประมาณร้อยละ 50 (พิทยา, 2555) จากงานวิจัยพบว่ากลุ่มคนที่เกิดโรคความเสื่อมของดวงตาจะมีระดับลูทีนในเลือดเฉลี่ยต่ำกว่าคนปกติถึงร้อยละ 30 (พงศธร, 2554) ดังนั้นเพื่อเพิ่มช่องทางในการรับสารลูทีนอย่างเพียงพอต่อความต้องการของร่างกาย การผลิตผลิตภัณฑ์ลูทีนในรูปแบบอาหารเสริมจึงถือเป็นหนึ่งทางเลือกที่สำคัญ

ลูทีนเป็นสารที่มีสมบัติความเป็นไฮโดรโฟบิกสูง มีความสามารถรวมตัวกันเป็นผลึกละลายได้ในน้ำมันที่อุณหภูมิห้อง แต่ละลายน้ำได้เพียงเล็กน้อย (Alves-Rodrigues and Shao, 2004)

เอกสารนี้เป็นเอกสารที่จัดทำขึ้นเพื่อใช้ในการเรียนการสอนเท่านั้น ไม่สามารถนำไปใช้
ไม่ว่ากรณีใดๆ ทั้งสิ้น อีกทั้งห้ามมิให้ตัดแปลงเนื้อหา และต้องอ้างอิงถึงเจ้าของเอกสารทุกครั้งที่มีการนำไปใช้

) ซึ่งจะส่งผลให้มีการย่อยและดูดซึมสารลูทีนสู่เข้าสู่ร่างกายได้ในปริมาณจำกัด งานวิจัยนี้จึงมีแนวคิดในการผลิตลูทีนให้มีขนาดอนุภาคนาโนเพื่อเพิ่มประสิทธิภาพในการดูดซึมลูทีนเข้าสู่ร่างกาย โดยผลิตภัณฑ์ที่จะทำการศึกษามีทั้งในรูปแบบแห้งและแบบอิมัลชัน และจะมีการห่อหุ้มลูทีนด้วยเวย์โปรตีนไอโซเลต เพื่อช่วยให้ลูทีนสามารถกระจายตัวในน้ำและช่วยป้องกันไม่ให้ลูทีนถูกทำลายจากสภาวะแวดล้อมได้ง่ายอีกด้วย ในการผลิตอนุภาคนาโนจะเลือกใช้วิธีดีซอลเวชัน เนื่องจากเป็นวิธีที่ง่าย ไม่ซับซ้อน อีกทั้งไม่ใช้ความร้อนหรือความดันในระดับที่สูงที่อาจจะไปส่งผลทำให้ลูทีนเสื่อมสลายในระหว่างการผลิต ทั้งนี้ลักษณะและขนาดของอนุภาคที่ได้จากกระบวนการจะขึ้นอยู่กับสภาวะการเตรียมและการผลิต ดังนั้นงานวิจัยนี้จึงมีวัตถุประสงค์ที่จะศึกษาผลของสภาวะการผลิต ได้แก่ ระดับพีเอชของสารละลายเวย์โปรตีน ปริมาณเอทานอลที่เติมลงในระบบ และปริมาณลูทีนต่อเวย์โปรตีนไอโซเลต ที่มีต่อลักษณะของอนุภาคลูทีนในเวย์โปรตีนไอโซเลตที่ได้ในการเตรียมผลิตภัณฑ์แบบแห้ง และศึกษาผลของการใช้สารลดแรงตึงผิวมวลโมเลกุลต่ำร่วมกับการใช้เวย์โปรตีนไอโซเลตในการห่อหุ้มลูทีน ที่มีต่อลักษณะของอนุภาคลูทีนที่ได้ในการเตรียมผลิตภัณฑ์แบบอิมัลชัน โดยข้อมูลที่ได้จากการทดลองจะสามารถใช้เป็นแนวทางในการผลิตลูทีนให้มีขนาดในระดับนาโนเมตรต่อไป

1.2 วัตถุประสงค์งานวิจัย

1.2.1 เพื่อศึกษาผลของสภาวะการผลิตอนุภาคลูทีนในเวย์โปรตีนไอโซเลตที่มีต่อประสิทธิภาพการห่อหุ้ม ขนาดอนุภาค ลักษณะทางสัณฐานวิทยา การปลดปล่อยสารลูทีนโดยจำลองระบบการย่อยอาหารในหลอดทดลอง รวมถึงความคงตัวในระหว่างการเก็บรักษา ในการผลิตตัวอย่างแบบแห้ง

1.2.2 เพื่อศึกษาผลของการใช้สารลดแรงตึงผิวร่วมกับการใช้เวย์โปรตีนไอโซเลตในการห่อหุ้มลูทีน ที่มีต่อประสิทธิภาพการห่อหุ้ม ขนาดอนุภาค การปลดปล่อยลูทีนโดยจำลองระบบการย่อยอาหารในหลอดทดลอง และความคงตัวในระหว่างการเก็บรักษา ในการผลิตตัวอย่างแบบอิมัลชัน

1.3 ขอบเขตงานวิจัย

1.3.1 การทดลองผลิตอนุภาคลูทีนในเวย์โปรตีนไอโซเลตแบบแห้ง ทำการทดลองในระดับห้องปฏิบัติการ โดยสภาวะการผลิตอนุภาคลูทีนในเวย์โปรตีนไอโซเลตที่ทำการศึกษา ได้แก่ ระดับพีเอชของสารละลายเวย์โปรตีนไอโซเลต 3 ระดับ (3, 7 และ 9) สัดส่วนปริมาณของสารลูทีนต่อเวย์โปรตีนไอโซเลต 4 ระดับ (0.25:100, 2.50:100, 3.75:100 และ 5.00:100) และปริมาตรของเอทานอลที่เติมลงในสารละลายเวย์โปรตีนไอโซเลต 3 ระดับ (0.25, 0.50 และ 0.75 เท่า) โดยผลิตภัณฑ์ที่ได้จะนำมาทำแห้งเพื่อศึกษาประสิทธิภาพการห่อหุ้ม ขนาดอนุภาค

เอกสารนี้เป็นเอกสารที่สงวนลิขสิทธิ์ไว้เพื่อการศึกษาเท่านั้น เมื่อผู้ใดเห็นประโยชน์ในการนำ
ไม่ว่ากรณีใดๆ ทั้งสิ้น อีกทั้งห้ามมิให้ตัดแปลงเนื้อหา และต้องอ้างอิงถึงเจ้าของเอกสารทุกครั้งที่มีการนำไปใช้

ลักษณะทางสัณฐานวิทยา การปลดปล่อยสารลูทีนโดยจำลองระบบการย่อยอาหารในหลอดทดลอง และความคงตัวของลูทีนในการเก็บรักษาที่อุณหภูมิ 4, 25 และ 40 องศาเซลเซียส

1.3.2 การทดลองผลิตอนุภาคลูทีนในเวย์โปรตีนไอโซเลตแบบอิมัลชัน ทำการทดลองในระดับห้องปฏิบัติการ โดยสภาวะการผลิตอนุภาคลูทีนที่ทำการศึกษา ได้แก่ ผลของการเติมสารลดแรงตึงผิวที่มีมวลโมเลกุลต่ำร่วมกับการใช้เวย์โปรตีนไอโซเลตในการห่อหุ้มสารลูทีน ที่มีต่อประสิทธิภาพการห่อหุ้ม ขนาดอนุภาคที่เกิดขึ้น ปลดปล่อยสารลูทีนโดยจำลองระบบการย่อยอาหารในหลอดทดลอง และความคงตัวของลูทีนเมื่อทำการเก็บรักษาที่อุณหภูมิ 4, 25 และ 40 องศาเซลเซียส

1.4 ประโยชน์ที่คาดว่าจะได้รับ

- 1.4.1 เป็นแนวทางในการผลิตอนุภาคขนาดนาโนของสารลูทีน
- 1.4.2 สามารถประยุกต์ใช้อนุภาคนาโนที่ได้ ในการเพิ่มคุณค่าประโยชน์ของผลิตภัณฑ์อาหารและเครื่องดื่มเพื่อสุขภาพ
- 1.4.3 สามารถนำวิธีการ ไปประยุกต์ใช้ในการห่อหุ้มสารไฮโดรโฟบิกชนิดอื่นๆ ได้

เอกสารนี้เป็นเอกสารที่สงวนไว้สำหรับการใช้งานเพื่อการศึกษาเท่านั้น ไม่อนุญาตให้นำไปใช้ประโยชน์ด้านการค้าไม่ว่ากรณีใดๆ ทั้งสิ้น อีกทั้งห้ามมิให้ตัดแปลงเนื้อหา และต้องอ้างอิงถึงเจ้าของเอกสารทุกครั้งที่มีการนำไปใช้

บทที่ 2

ทฤษฎีและวรรณกรรมที่เกี่ยวข้อง

2.1 ลูทีน

ลูทีนเป็นหนึ่งในแคโรทีนอยด์กว่า 700 ชนิดที่พบในธรรมชาติ ลูทีนพบมากในผักใบเขียวเข้ม เช่น ผักโขม และผักคะน้า โดยปริมาณสารลูทีนในอาหารชนิดต่างๆ แสดงดังตารางที่ 2.1 ในมนุษย์ลูทีนจะสะสมอยู่ในบริเวณจอประสาทตา โดยลูทีนมีความสามารถในการกรองแสงสีฟ้าซึ่งเป็นคลื่นแสงที่มีพลังงานสูงที่จะสามารถทำลายจอประสาทตาได้ (Kritchevsky, 2000; Johnson, 2002) จึงทำให้ลูทีนเป็นที่รู้จักกันว่าเป็นสารที่มีความสำคัญต่อดวงตา ทั้งนี้ลูทีนต้องได้รับจากการบริโภคเท่านั้น เนื่องจากร่างกายไม่สามารถสังเคราะห์สารนี้ขึ้นมาเองได้ โดยมีงานวิจัยศึกษาการบริโภคลูทีน พบว่าการรับประทานลูทีนที่มีอยู่ทั้งในอาหารและอาหารเสริม จะสามารถเพิ่มระดับปริมาณลูทีนในจอประสาทตาได้ (Johnson *et al.*, 2002) โดยการบริโภคลูทีนในปริมาณที่เพียงพอจะสามารถลดความเสี่ยงโรคจอประสาทตาเสื่อมในผู้สูงอายุได้ สำหรับปริมาณของลูทีนที่ควรได้รับต่อวัน เพื่อลดความเสี่ยงต่อการเกิดโรคจอประสาทตาเสื่อมได้ร้อยละ 57 มีค่าอยู่ที่ 6 มิลลิกรัมต่อวัน (Kopsell *et al.*, 2007) ในส่วนของความปลอดภัย GRAS (generally recognized as safe) ได้ให้การรับรองถึงความปลอดภัยในการบริโภคลูทีนไว้อีกด้วย (Dagnelie *et al.*, 2000; Olmedilla *et al.*, 2003 ; Richer, 1999) การรับประทานลูทีนจากอาหารให้เพียงพอต่อวันในการลดระดับความเสี่ยงต่อโรคจอประสาทตาเสื่อมนั้นเป็นไปได้ยากในชีวิตประจำวัน แต่สามารถเพิ่มปริมาณลูทีนจากการรับประทานได้จากอาหารเสริม หรือใส่ในผลิตภัณฑ์อาหารแปรรูป ซึ่งเป็นรูปแบบที่สามารถเข้าถึงลูทีนได้ง่ายขึ้น โดยแหล่งลูทีนที่สกัดและนำมาใช้ในการผลิตอาหารเสริมมักมาจากดอกดาวเรือง Marigold flowers (*Tagetes erecta L.*) ซึ่งลูทีนที่สกัดได้จะถูกนำไปใช้งานในผลิตภัณฑ์อาหารต่างๆ ทั้งในรูปแบบผงแห้ง หรือในแบบลูทีนละลายในน้ำมัน เนื่องจากพบว่าจะให้ประสิทธิภาพการดูดซึมเข้าสู่ร่างกายได้ดีกว่า โดยทางการค้ามักใช้อยู่ในรูปสารละลายน้ำมันต่างๆ อาทิเช่น น้ำมันข้าวโพด น้ำมันดอกทานตะวัน น้ำมันดอกคำฝอย เนื่องจากลูทีนไม่สามารถละลายน้ำได้ โดยสมบัติและลักษณะพื้นฐานของลูทีน แสดงดังตารางที่ 2.2

ตารางที่ 2.1 ปริมาณลูทีนที่ได้รับจากอาหารชนิดต่างๆ

ชนิดอาหาร	ปริมาณลูทีน (มิลลิกรัม ต่อน้ำหนักสด 100 กรัม)
บรอกโคลี (Broccoli)	1.770
กะหล่ำปลี (Cabbage)	0.280
ผักโขม (Spinach)	14.400
กะหล่ำปลีเล็ก (Brussels sprouts)	1.340
ผักคะน้า (Kale)	14.200
มะม่วง (Mango)	1.012
มะละกอ (Papaya)	2.436
พริกไทย (Pepper)	2.067
มันฝรั่ง (Potato)	0.087
ฟักทอง (Pumpkin)	0.738

ที่มา: Industrial Organica (2012)

ตารางที่ 2.2 สมบัติทางเคมีและสมบัติทางกายภาพของสารสกัดลูทีน

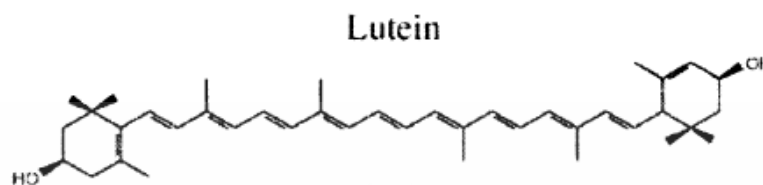
Property/Parameter	Lutein
Chemical names	Xanthophyll; 13, &-carotene-3,3-diol
Empirical formula	$C_{40}H_{56}O_2$
Molecular weight	568.88
Physical state	Crystalline
Melting point	177-178°C
Bulk density	0.35-0.40 g/mL
Solubility- water at 5°C	Insoluble

ที่มา: Alves-Rodrigues และ Shao (2004)

เอกสารนี้เป็นเอกสารที่สงวนไว้สำหรับการใช้งานเพื่อการศึกษาเท่านั้น ไม่อนุญาตให้นำไปใช้ประโยชน์ด้านการค้า
ไม่ว่ากรณีใดๆ ทั้งสิ้น อีกทั้งห้ามมิให้ดัดแปลงเนื้อหา และต้องอ้างอิงถึงเจ้าของเอกสารทุกครั้งที่มีการนำไปใช้

2.1.1 โครงสร้างลูทีน

โครงสร้างไฮโดรคาร์บอนสายยาว แกนโครงสร้างหลักมีคาร์บอน 40 อะตอม (C40 isoprenoid carbon skeletons) จึงทำให้ลูทีนไม่เสถียรในสภาวะที่มีออกซิเจน ความร้อน และ แสง เนื่องจากมีโครงสร้างพื้นฐานของสารในกลุ่มแคโรทีนอยด์ แสดงดังภาพที่ 2.1



ภาพที่ 2.1 โครงสร้างทางเคมีของลูทีน

ที่มา: Alves-Rodrigues และ Shao (2004)

ลักษณะของหมู่ไฮดรอกซิลในลูทีน แสดงให้เห็นถึงลักษณะความแตกต่างจากแคโรทีนอยด์ชนิดอื่นๆ ในธรรมชาติ โดยจะมีหมู่ไฮดรอกซิลสองตัวเกาะที่ด้านข้างโครงสร้างข้างละตัว (ภาพที่ 2.1) (Johnson, 2002; Winkler *et al.*, 1999) ลูทีนสามารถทำหน้าที่เป็นสารต้านอนุมูลอิสระ และปกป้องการเกิดอนุมูลอิสระจากแสงที่ทำให้เกิดความเสียหายจากอนุมูลอิสระ (Baroliand and Niyogi, 2000; Demmig-Adams *et al.*, 1996) แสงสีน้ำเงินเป็นแสงที่มีระดับพลังงานสูงต่อการมองเห็น และเป็นที่รู้จักกันดี ว่าเป็นรูปแบบแสงที่ชักนำก่อให้เกิดการออกซิเดชัน โดยปฏิกิริยาการแตกตัวของอนุพันธ์ออกซิเจน (ROS) ลูทีนมีค่าการดูดแสงสูงสุดที่ช่วง 446 นาโนเมตร ซึ่งเป็นช่วงแสงที่มองเห็นได้ และยังสามารถในการแยกแสงสีฟ้าออก และช่วยปกป้องพืชในกระบวนการสังเคราะห์แสง (ภาพที่ 2.2) อาจสังเกตได้ไม่ชัดในผักใบเขียวชนิดอื่น เนื่องจากมีคลอโรฟิลล์บดบังอยู่ โดยลักษณะลูทีนบริสุทธิ์จะเป็นผลึกสีส้มเหลือง (ภาพที่ 2.3)

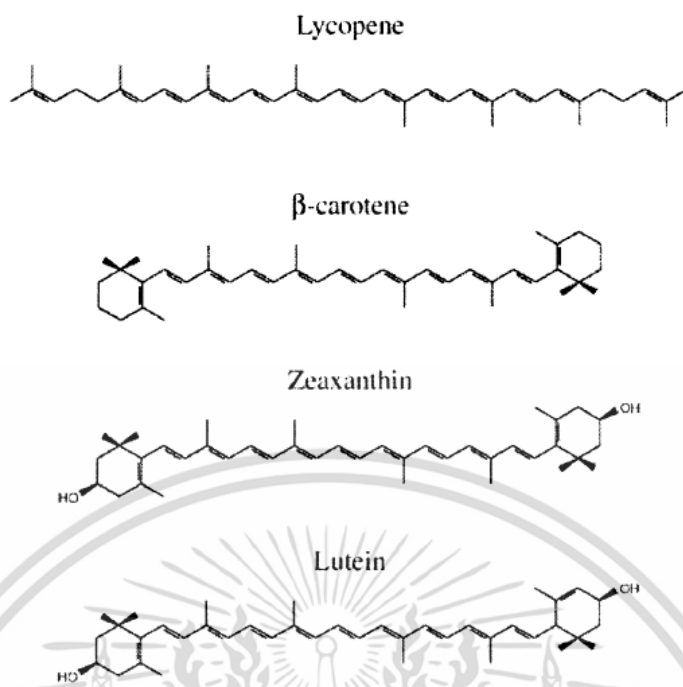
ลูทีนสามารถพบได้มากมายในอาหาร โดยพบมากที่สุดคือใน ผักใบเขียว เช่น ผักโขม ผักคะน้า ซึ่งมีลูทีนสูงถึง 12 มิลลิกรัม ต่อ 100 กรัมของผักโขม และสูงมากถึง 40 มิลลิกรัม ต่อ 100 กรัมของผักคะน้า อาหารที่มีสีเหลือง เช่น ข้าวโพด และไข่แดง ก็เป็นแหล่งอาหารอุดมไปด้วยลูทีนเช่นกัน (Sommerburg *et al.*, 1998) ตาม USDA การบริโภคลูทีนเฉลี่ยต่อวันของชาวอเมริกันอยู่ในขณะนี้ประมาณ 1.7 มิลลิกรัมต่อวัน (National Institute of Medicine, 2001; O'Neill *et al.*, 2001) ข้อมูลล่าสุดของยุโรป แสดงให้เห็นว่าชาวยุโรปรับประทานลูทีนประมาณ 2.2 มิลลิกรัมต่อวัน (O'Neill *et al.*, 2001) โดยค่าเหล่านี้ต่ำกว่าระดับที่รับประทาน เพื่อลดความเสี่ยงจากโรคตา เช่น ต้อกระจก และโรค AMD (Brown *et al.*, 1999; Chasan-Taber *et al.*, 1999; Seddon

et al., 1994) ทำให้ต้องมีการเพิ่มขนาดการรับประทานลูทีน ทั้งในที่เป็นส่วนผสมในผลิตภัณฑ์เสริมอาหาร และเครื่องดื่อก็มีการเติมลูทีนลงไปอีกด้วย

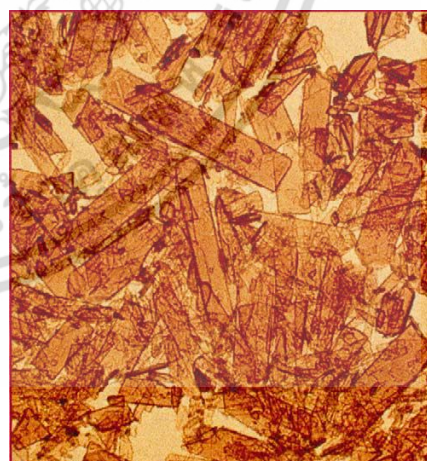
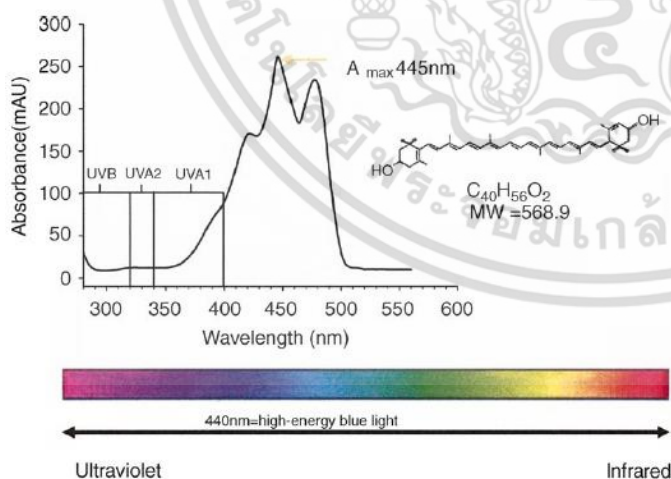
2.1.2 การดูดซึมลูทีนเข้าสู่ร่างกาย

แคโรทีนอยด์ วิตามินอีและวิตามินอื่นๆ ที่ละลายที่ในไขมัน โมเลกุลจะสามารถถูกดูดซึมโดยเยื่อขนาดเล็กลำไส้เล็กส่วนต้น (Chow, 2000; Noy, 2000) ซึ่งไม่ใช่รูปแบบการแพร่แบบ active carriers หรือ transporter ในการดูดซึมแคโรทีนอยด์ในลำไส้เล็ก การดูดซึมแคโรทีนอยด์จะอาศัย hydrophobic cleavage by-products (สารที่ไม่ชอบน้ำ เช่น กรดไขมัน) ในการขนส่งผ่านเมือกของลำไส้เล็กได้ โดยจะมีการรวมตัวของสารเป็น chylomicrons และเข้าไปปล่อยสารในเส้นเลือดทาง inferior cava โดยแคโรทีนอยด์ส่วนมากจะไปรวมอยู่ที่ตับ ในรูปแบบ lipoproteins เพื่อนำมาปล่อยไหลเวียนเข้าสู่กระแสเลือด (Yeum and Russell, 2002)

แม้ว่าจำนวนของข้อมูลการศึกษาในมนุษย์ของลูทีนในอาหารในเรื่องการดูดซึมพบว่าประสิทธิภาพการดูดซึมค่อนข้างยาก โดยมีข้อมูลหนึ่งที่ศึกษาระดับความเข้มข้นของลูทีนในรูปแบบของ chylomicron fraction เป็นระยะเวลา 2 ชั่วโมง และในซีรัม 16 ชั่วโมง พบว่าที่ความเข้มข้นของแคโรทีนอยด์ในอาหารสูง จะลดประสิทธิภาพการดูดซับลูทีน และมีอภินิหารวิจัยของ Jenkins และคณะ (2000) ได้มีการรายงานประสิทธิภาพการดูดซึมของลูทีนอยู่ในช่วงความเข้มข้น 28.7-43.1% ในหนู ทั้งนี้ขึ้นอยู่กับระดับการให้อาหาร นอกจากนี้ปัจจัยยังขึ้นอยู่กับการละลาย ค่าประจุในการเกิด micelles หรือ chylomicrons ในร่างกายมนุษย์หลักสำคัญที่ช่วยในการกระจายตัวของแคโรทีนอยด์ คือ ค่าความหนาแน่นของ lipoproteins ในเลือดที่ต่ำสุด (LDL) ค่าความหนาแน่นของ lipoproteins ในเลือดที่สูงสุด (HDL) ความแตกต่างไฮโดรคาร์บอนของแคโรทีนอยด์ นั่นก็เป็นปัจจัยสำคัญ โดยใน LDL จะมีขั้วมากกว่าทำให้อยู่ในรูป oxycarotenoids โดยลูทีนและซีแซนทีนพบได้ทั้งใน HDL และ LDL (Yeum and Russell, 2002)



ภาพที่ 2.2 กลุ่มแคโรทีนอยด์ที่อยู่ในซีรัมและเนื้อเยื่อมนุษย์ จากบนมาล่าง lycopene, β-carotene (hydrocarbons), zeaxanthin และ lutein (xanthophylls)
ที่มา: Alves-Rodrigues และ Shao (2004)



ภาพที่ 2.3 สเปกตรัมการดูดกลืนแสงของลูทีนสูงสุดที่ 446 นาโนเมตร ซึ่งอยู่ในช่วงแสงสีฟ้าเป็นแสงที่มีค่าพลังงานสูงสุด

ที่มา: Alves-Rodrigues และ Shao (2004)

ภาพที่ 2.4 ลักษณะผลึกลูทีน

ที่มา: Alves-Rodrigues และ Shao (2004)

เอกสารนี้เป็นเอกสารที่สงวนไว้สำหรับกิจกรรมการเรียนเพื่อการศึกษาเท่านั้น ไม่อนุญาตให้นำไปใช้ประโยชน์ด้านการค้า ไม่ว่าจะกรณีใดๆ ทั้งสิ้น อีกทั้งห้ามมิให้ตัดแปลงเนื้อหา และต้องอ้างอิงถึงเจ้าของเอกสารทุกครั้งที่มีการนำไปใช้

ลูทีนโคเอสเทอร์ที่รวมตัวกับกรดไขมันซึ่งติดอยู่ที่ทั้งสองด้านของลูทีน โดยลูทีนได้ถูกนำมาใช้ทดสอบในมนุษย์ พบว่าลูทีนในอาหารเสริมสามารถเพิ่มระดับลูทีนในซีรัมได้ และ (Bone *et al.*, 2003) และได้นำมาปรับปรุงการให้ยาแก่ผู้ป่วยโรคตา (Olmedilla *et al.*, 2003; Richer *et al.*, 2002) โดยมีการศึกษาหนึ่งที่ได้มีการเปรียบเทียบการดูดซึมของลูทีนจากการรับประทานโดยตรง กับการรับประทานจากอาหาร Bowen และคณะ (2002) ได้สรุปไว้ว่าการทดสอบการดูดซึมลูทีนจากแหล่งทั้งสองไม่มีความแตกต่างกัน และไม่ทำให้เสียการดูดซึมของลูทีน

2.1.3 ความปลอดภัยของลูทีน

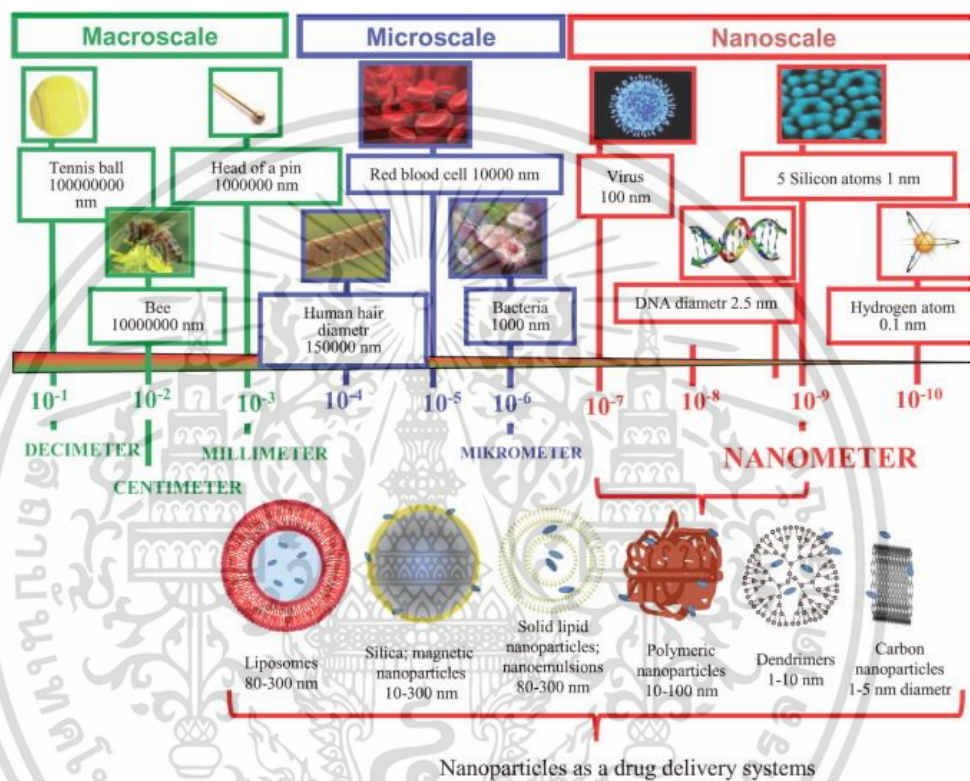
ผลจากการศึกษาการได้รับลูทีนเข้าสู่ร่างกายของกลุ่มประชากรตัวอย่างที่ได้รับลูทีนในปริมาณที่สูงถึง 20 มิลลิกรัมต่อวัน นานถึง 6 เดือน (Aleman *et al.*, 2001; Duncan *et al.*, 2002) แม้ในปริมาณ 30 มิลลิกรัมต่อวัน 5 เดือน (Landrum *et al.*, 1997) หรือ 40 มิลลิกรัมต่อวันกว่า 2 เดือน ก็ไม่พบผลกระทบบนไม่พึงประสงค์หรือผลข้างเคียงร้ายแรงแต่อย่างใด (Dagnelie *et al.*, 2000) ทั้งนี้ผู้ที่บริโภคแคโรทีนอยด์ในระดับสูง เช่น ประชากรในหมู่เกาะพีจีมีการบริโภคผักสีเขียวเกินกว่า 200 กรัมทุกวัน และเป็นปริมาณลูทีนเกือบ 25 กรัมที่บริโภคต่อวัน (LeMarchand *et al.*, 1995) จะพบอัตราการเกิดโรคมะเร็งปอดในอัตราที่น้อยกว่าประชากรอื่นๆ ในหมู่เกาะแปซิฟิกใต้ที่รับประทานอาหารที่ไม่หลากหลายและไม่อุดมด้วยผักและผลไม้ นานาชนิด อย่างไรก็ตามการบริโภคลูทีนในปริมาณที่สูงอาจทำให้เกิดอาการตัวเหลือง (Carotenodermia) (Granado *et al.*, 1998 ; Olmedilla *et al.*, 1997) ซึ่งผลกระทบมาจากการบริโภคสารอาหารในกลุ่มแคโรทีนอยด์ที่มากเกินไป โดยไม่ได้เกิดแต่กับการบริโภคลูทีนในปริมาณที่สูงเพียงอย่างเดียว

2.2 นาโนเทคโนโลยี

นาโนเทคโนโลยี ได้มีการใช้กันอย่างแพร่หลายทั้งในสมัยอดีตมาจนถึงปัจจุบัน (Buzzea, *et al.*, 2007) โดยได้มีการกำหนดคุณสมบัติของอนุภาคนาโนเอาไว้ว่าอย่างน้อยควรมีขนาดที่เล็กกว่า 1000 นาโนเมตร แต่มีขนาดใหญ่กว่าโมเลกุลหรืออะตอมเดี่ยว อย่างไรก็ตามเกณฑ์ของขนาดจะแตกต่างกันไปตามประเภทและวัสดุ นอกจากนี้ อาจจะมีการกำหนดขนาดความต้องการที่มากขึ้นคือต้องไม่เกิน 100-200 นาโนเมตร (Reverchon and Adami, 2006; Weiss *et al.*, 2006) อนุภาคนาโนนั้น มีคุณสมบัติที่โดดเด่นอยู่สองประการ คือ มีขนาดเล็ก และ มีอัตราส่วนระหว่างผิวต่อ

ปริมาตรที่สูง อนุภาคนาโนเล็กและมีอัตราส่วนระหว่างผิวต่อปริมาตร จะมีคุณสมบัติทางเคมี เอกสารนี้เป็นเอกสารที่สงวนไว้สำหรับการใช้งานเพื่อการศึกษาเท่านั้น เมื่อผู้ดูแลเนื้อหาเบี่ยงประเด็นด้านการค้าไม่ว่ากรณีใดๆ ทั้งสิ้น อีกทั้งห้ามมิให้ตัดแปลงเนื้อหา และต้องอ้างอิงถึงเจ้าของเอกสารทุกครั้งที่มีการนำไปใช้

กายภาพและทางสรีรวิทยาที่แตกต่างจากอนุภาคขนาดใหญ่ เช่น การกระเจิงแสงที่ลดลง เสถียรภาพที่ดีขึ้น เนื่องจากอนุภาคขนาดใหญ่จะถูกกักตุนด้วยแรงโน้มถ่วง อัตราการแพร่กระจายได้เร็วขึ้น ความสามารถในการละลายสูงขึ้น และอัตราการแทรกซึมทางชีวภาพสูงขึ้น ซึ่งเหล่านี้ล้วนแต่เป็นคุณสมบัติที่สำคัญของอนุภาคนาโน (Buzea *et al.*, 2007) ซึ่งแสดงไว้ดังตารางที่ 2.4



ภาพที่ 2.5 ช่วงขนาดของอนุภาคนาโน

ที่มา : Wilczewska และคณะ (2012)

นอกจากนี้อนุภาคนาโนยังมีอิทธิพลต่อระหว่างปฏิกิริยา เช่น การเกิดออกซิเดชัน หรือ การย่อยอาหาร คุณสมบัติเฉพาะของอนุภาคนาโนได้นำไปสู่ การใช้งานในหลากหลายอุตสาหกรรม (Reverchon *et al.*, 2007) ในส่วนของอุตสาหกรรมอาหาร อนุภาคนาโนมีความน่าสนใจเป็นอย่างมาก เนื่องจากมีความสามารถในการปรับลักษณะการปลดปล่อยสาร, เพิ่มชีวปริมาณการออกฤทธิ์ (bioavailability: การดูดซึมสารเข้าสู่ร่างกาย) และ เพิ่มความคงตัวของสารออกฤทธิ์ในอาหารและภายในร่างกายมนุษย์ (Weiss *et al.*, 2006)

เอกสารนี้เป็นเอกสารที่สงวนไว้สำหรับการใช้งานเพื่อการศึกษาเท่านั้น ไม่อนุญาตให้นำไปใช้ประโยชน์ด้านการค้า ไม่ว่าจะกรณีใดๆ ทั้งสิ้น อีกทั้งห้ามมิให้ดัดแปลงเนื้อหา และต้องอ้างอิงถึงเจ้าของเอกสารทุกครั้งที่มีการนำไปใช้

โดยทั่วไปแล้วเทคนิคที่ใช้ในการผลิตอนุภาคนาโน สามารถแบ่งได้เป็น 2 แบบ 1.) วิธีการ top-down methods (อย่างเช่น การโฮโมจีไนซ์ และการบด) 2.) วิธีการ bottom-up methods (เช่น การทำอิมัลชัน และการเติมตัวทำละลายให้เกิดการตกตะกอน) สำหรับการเลือกการใช้งาน ควรเลือกให้เหมาะสมกับ การผลิตระดับเชิงพาณิชย์ ความปลอดภัยในการเป็นส่วนผสมทางอาหาร และการปรับใช้กระบวนการทางอุตสาหกรรมที่สะดวก โดยเทคนิคในการทดลองนี้เราใช้วิธีการ bottom-up methods การเติมตัวทำละลายให้เกิดการตกตะกอนซึ่งจะอธิบายในส่วนการผลิตอนุภาคนาโน (Shimomura and Sawadaishi, 2001)



เอกสารนี้เป็นเอกสารที่สงวนไว้สำหรับการใช้งานเพื่อการศึกษาเท่านั้น ไม่อนุญาตให้นำไปใช้ประโยชน์ด้านการค้าไม่ว่ากรณีใดๆ ทั้งสิ้น อีกทั้งห้ามมิให้ดัดแปลงเนื้อหา และต้องอ้างอิงถึงเจ้าของเอกสารทุกครั้งที่มีการนำไปใช้

ตารางที่ 2.3 สมบัติและลักษณะของอนุภาคนาโน

คุณสมบัติ	คุณลักษณะ	อ้างอิง
ความคงตัว (Stability)	แรงโน้มถ่วง (Gravitational) : เกิดการเคลื่อนที่แบบคางทีของ Brownian ทำให้อนุภาคนาโนมีเสถียรภาพ เมื่อเกิดแรงโน้มถ่วง การแยกชั้น (Separation) : การเกิดชั้นครีม (creaming) และการตกตะกอน (sedimentation) และน้ำที่ไหลออกจากภายในอนุภาค(drainage) สังกัดได้จากอนุภาคนาโนขนาดใหญ่เกิดการรวมตัวกัน การเกาะกลุ่มของอนุภาคที่ยังแขวนลอยได้ (Flocculation) : การเกิด flocculation จะสามารถป้องกันและ ช่วยให้อนุภาคยังคงกระจายตัว โดยไม่เกิดการแยกชั้น การรวมตัวกันของอนุภาค (Coalescence) : 1. ความหนาของฟิล์มสารลดแรงตึงผิวส่งผลต่อขนาดของอนุภาคที่เกิดขึ้น จะช่วยป้องกันการเปลี่ยนแปลงของฟิล์มระหว่างอนุภาค 2. อนุภาคนาโนขนาดเล็ก สามารถลดช่วงแรงดึงดูดระหว่างอนุภาคได้	Graves <i>et al.</i> (2005), Lee and McClements (2010), Peng <i>et al.</i> (2010)
พื้นที่ผิว (Large surface area)	1. ช่วยเพิ่มความสามารถในการละลาย การดูดซึม และความสามารถในการเข้าถึงของสารออกฤทธิ์ได้หลายชนิดเช่น carotenoids, phytosterols และกรดไขมันไม่อิ่มตัว (PUFA) 2. ช่วยเพิ่มความสามารถในการดูดซึมของ โปรตีนที่นำมาใช้เป็นนาโนแคปซูล เนื่องจากพื้นที่ผิวที่เพิ่มขึ้นปฏิสัมพันธ์ของการขนส่งสารในรูปแบบอนุภาคนาโน (nanocarriers) สามารถทำการดูดซับผ่านผิวเยื่อบุผิวลำไส้เล็ก (epithelium) ได้โดยตรง และลดการเชื่อมต่อกันของสายพินระเปปไทด์ได้ 3. ช่วยเพิ่มประสิทธิภาพในการห่อหุ้มของสารที่มีลักษณะเป็นชอบไขมัน (lipophilic) และสามารถ การปล่อยควบคุมในบริเวณเฉพาะเจาะจงได้	Yuan <i>et al.</i> (2008), Qian <i>et al.</i> (2012)
โปร่งใส / ความขุ่นต่ำ (Optical transparency/ low turbidity)	ขนาดของหยดน้ำมันอาจเล็กกว่าความยาวคลื่นของแสง ทำให้มีขนาดเล็กลง โปร่งใส เหมาะสำหรับการผสมสารออกฤทธิ์ลงในอาหาร โดยไม่เกิดความขุ่น	Lee and McClements (2010), Qian <i>et al.</i> (2012)
การไหล (Fluidity)	1. อาจเพิ่มการแพร่กระจายและปฏิสัมพันธ์กับเซลล์จากการบริโภคทางปาก 2. ที่ความเข้มข้นของน้ำมันที่เท่ากัน สามารถลดความหนืดของของเหลวได้	Sonneville-Aubrun <i>et al.</i> (2004)

2.2.1 การห่อหุ้มสารทางด้านอาหาร

การเพิ่มอายุการเก็บรักษา (shelf-life) ของสารอาหารที่มีความไวต่อสภาพแวดล้อม และการกำหนดแหล่งที่ปลดปล่อยสารอาหาร สามารถใช้วิธีการเอนแคปซูลเลชันมาพัฒนาในผลิตภัณฑ์อาหารได้ โดยมีการนำนาโนเทคโนโลยีมาใช้ในโภชนเภสัชภัณฑ์ และอาหารเสริม ได้แก่ การนำมาใช้เป็นตัวห่อหุ้มหรือเก็บกักสารอาหารหรือสารในอาหารชนิดต่างๆ ไว้ในอนุภาคนาโน (nanoencapsulation) เพื่อใช้เป็นวัตถุดิบ หรือส่วนประกอบในผลิตภัณฑ์ โดยประโยชน์ที่ได้ อาจเป็นการเพิ่มคุณลักษณะที่ดีของผลิตภัณฑ์ หรือเป็นการเสริมหรือเพิ่มคุณค่าทางโภชนาการของอาหาร (food fortification) รักษาความคงสภาพของสารที่ห่อหุ้มไว้ สามารถเก็บกักกลิ่น และสีของอาหาร ซึ่งอาจสูญเสียไประหว่างกระบวนการผลิตอาหารที่ผ่านการใช้พลังงาน หรือความร้อนสูง นอกจากนี้ยังใช้ในการควบคุมการปลดปล่อยสารที่เก็บกักในอนุภาคได้ด้วย (Qian *et al.*, 2012)

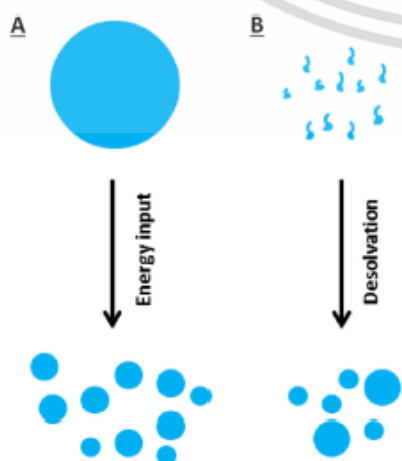
สารสำคัญที่นิยมเก็บกักไว้ในอนุภาคนาโนมักเป็นสารที่ละลายน้ำได้น้อย หรือไม่ละลาย ตัวอย่าง เช่น วิตามินชนิดละลายในไขมัน และสารพฤกษเคมีต่างๆ การเก็บกักสารดังกล่าวไว้ในอนุภาคนาโนจะช่วยเพิ่มความคงตัว และการดูดซึมของสารนั้นเข้าสู่ร่างกาย ส่งผลให้ชีวปริมาณออกฤทธิ์ (bioavailability) ของสารนั้นในร่างกายเพิ่มขึ้นด้วย ทั้งนี้หลังการเข้าสู่ร่างกายโดยการรับประทานแล้ว อนุภาคนาโนจะแพร่ผ่านเซลล์เยื่อบุผิวลำไส้เล็ก (enterocytes) โดยวิธีที่เรียกว่า transcellular หรือ transcytosis และอาจอาศัยตัวรับ (receptor) บนผิวเซลล์ในการผ่านเข้าสู่เซลล์ร่างกาย กระบวนการเพิ่มความ สามารถในการผ่านเข้าสู่เซลล์ของอนุภาคนาโน มีตัวอย่างการศึกษาที่นำอนุภาคนาโนมาประยุกต์ใช้ในโภชนเภสัชภัณฑ์ ได้แก่ อนุภาคนาโนของเคอร์คิวมิน (curcumin) เคอร์คิวมินเป็นสารจำพวก โพลีฟีนอลที่สกัดจากเหง้าของขมิ้นชัน (*Curcuma longa*) และมีการละลายน้ำได้น้อย เคอร์คิวมินเป็นสารที่มีฤทธิ์ทางเภสัชวิทยามากมาย ได้แก่ เป็นสารต้านออกซิเดชัน (antioxidant) ต้านอักเสบ (antiinflammation) ต้านการเกิดมะเร็ง (anticarcinogenesis) อย่างไรก็ตาม เคอร์คิวมินมีการละลายในน้ำได้น้อยไม่คงตัวในสถานะที่เป็นค่า ทำให้ดูดซึมในร่างกาย และมีชีวปริมาณออกฤทธิ์ที่ต่ำ นาโนเทคโนโลยีจึงถูกนำมาใช้เพื่อโภชนเภสัชภัณฑ์ของเคอร์คิวมิน อนุภาคนาโนที่มีการศึกษาและใช้เพิ่มการละลายของเคอร์คิวมิน ได้แก่ นาโนอิมัลชัน ซึ่งประกอบด้วยสารลดแรงตึงผิวชนิดไม่มีประจุ (Tween 20) น้ำมันไตรกลีเซอไรด์ชนิดห่วงโซ่ปานกลาง (MCT, medium chain triglycerides) และน้ำ โดยการเตรียมจะใช้วิธี

ปั่นผสมสารทั้งหมดภายใต้แรงดันสูง (high pressure homogenization) ได้อนุภาคนาโนในขนาดเอกละเอียดเป็นเอกละเอียดที่สงวนไว้สำหรับการใช้งานเพื่อการศึกษาเท่านั้น เมื่อนำอนุภาคนาโนไปใช้ประโยชน์ด้านการค้า ไม่ว่าจะกรณีใดๆ ทั้งสิ้น อีกทั้งห้ามมิให้ดัดแปลงเนื้อหา และต้องอ้างอิงถึงเจ้าของเอกสารทุกครั้งที่มีการนำไปใช้

เส้นผ่านศูนย์กลาง 79.5 นาโนเมตร และเมื่อนำนาโนอิมัลชันไปทดสอบฤทธิ์ต้านอักเสบในสัตว์ทดลองพบว่า มีฤทธิ์ที่ดีกว่าอิมัลชันที่มีขนาดอนุภาคใหญ่ นอกจากนี้ยังมีการเก็บกักเคอร์คิวมินไว้ในอนุภาคนาโนชนิดอื่นๆ ซึ่งช่วยทำให้เคอร์คิวมินมีความคงตัวมากขึ้น และป้องกันการถูกทำลายโดยการไฮโดรไลซิส (hydrolysis) ภายในร่างกายได้ ทำให้สารอยู่ในกระแสเลือดได้นานขึ้น และเพิ่มชีวปริมาณออกฤทธิ์ของสารตลอดจน ทำให้สารมีฤทธิ์ทางชีวภาพเพิ่มขึ้นด้วย เช่น ฤทธิ์ต้านมะเร็ง นอกจากนี้เคอร์คิวมินแล้วยังมีการใช้อนุภาคนาโนในการกักเก็บสารอื่น ได้แก่ เบต้าแคโรทีน (beta-carotene) โดยอนุภาคนาโนเตรียมได้จากโซเดียมเคซีนเนท (sodium caseinate) และสารลดแรงตึงผิวชนิดไม่มีประจุ ซึ่งพบว่าอนุภาคนาโนช่วยป้องกันการความไม่คงตัว จากการออกซิเดชันของเบต้าแคโรทีนที่ห่อหุ้มไว้ได้ นอกจากนี้ยังมีการเตรียมอนุภาคนาโนในรูปแบบไมเซลล์ของวิตามินดี (vitamin D2) โดยใช้สารลดแรงตึงผิวคือโซเดียมเคซีนเนท และเตรียมโดยใช้วิธีปั่นผสมภายใต้แรงดันสูง พบว่าสามารถเก็บกักวิตามินดีได้ในขนาดสูงและนำไปใช้เสริมในผลิตภัณฑ์อาหารได้ (Kontopidis *et al.*, 2014; Pihlanto-Leppala, 2000)

2.2.2 การผลิตอนุภาคนาโน

การสร้างอนุภาคนาโนปกติแล้วโดยพื้นฐานใช้สองหลักการ คือ กระบวนการ top-down และ กระบวนการ bottom-up (Shimomura and Sawadaishi 2001; Whitesides and Grzybowski, 2002) ในขั้นตอน top-down เป็นสร้างอนุภาคขนาดใหญ่ขึ้นมา ก่อนนั้นทำการลดขนาดให้มีอนุภาคขนาดเล็กในระดับนาโน การลดขนาดสามารถทำได้วิธีทางกลโดยการให้พลังงานเข้าไป ส่วนอีกกระบวนการคือ bottom-up จะสร้างอนุภาคนาโนจากการรวมตัวของโมเลกุลขนาดเล็ก โดยขึ้นกับค่าสัมพรรคภาพ (affinity) ภายในโมเลกุล (ภาพที่ 2.5)



ภาพที่ 2.6 หลักการสร้างอนุภาคนาโน

(A) หลักการ top-down

(B) หลักการ bottom-up

ที่มา: (Li *et al.*, 2015)

เอกสารนี้เป็นเอกสารที่สงวนไว้สำหรับการใช้งานเพื่อการศึกษาเท่านั้น ไม่อนุญาตให้นำไปใช้ประโยชน์ด้านการค้าไม่ว่ากรณีใดๆ ทั้งสิ้น อีกทั้งห้ามมิให้ตัดแปลงเนื้อหา และต้องอ้างอิงถึงเจ้าของเอกสารทุกครั้งที่มีการนำไปใช้

ตัวอย่างของการผลิตอนุภาคนาโนด้วยหลักการ top-down ได้แก่ นาโนอิมัลชัน วิธีการนี้จะใช้กระบวนการทางกลโดยให้พลังงานสูงเข้าไป เพื่อให้เกิดความรุนแรงระหว่างเฟสน้ำและน้ำมันจนทำให้เฟสน้ำมันเกิดการกระจายตัวเป็นหยดน้ำมันในเฟสน้ำ จึงเกิดเป็นอนุภาคนาโนไขมันเกิดขึ้น (Tadros *et al.*, 2004) ยกตัวอย่างเช่น Leong และคณะ (2012) ได้ศึกษาเตรียมอนุภาคนาโนอิมัลชันจากน้ำมันดอกทานตะวัน ได้อนุภาคเฉลี่ยขนาด 40 นาโนเมตร ซึ่งได้ใช้คลื่นอัลตราซาวด์ร่วมกับไฮโมจิไนซ์ ทำให้เกิดแรงเฉือนสูงจนเกิดการแพร่เป็นอนุภาคนาโนอิมัลชัน

ในทางตรงกันข้าม วิธีการ bottom-up จะขึ้นอยู่กับความสัมพันธ์ของโมเลกุล โดยหลักการคืออนุภาคขนาดเล็กจะรวมตัวเป็นอนุภาคขนาดใหญ่ (Chen *et al.*, 2006) ซึ่งหลักการของ bottom-up จะมีสามปัจจัยที่มีความสำคัญต่อกระบวนการ คือ สภาพของวิธีการ การรวมตัวของพอลิเมอร์ และการกระจายตัวของอนุภาคภายในสารละลาย ยกตัวอย่างวิธีการที่ใช้หลักการ bottom-up คือวิธีการดีซอลเวชัน (Desolvation) จะลดการละลายของโพลีเมอร์ที่นำมาเป็นวัสดุห่อหุ้ม โดยจะค่อยๆเติมตัวทำละลายจนเกิดการรวมตัวของอนุภาค (Coester *et al.*, 2000) ตัวอย่างงานวิจัยมีการใช้โปรตีนเซอีน (zein) ในการเอนแคปซูลเลตด้วยสารละลายเอทานอล (Zhong and Jin, 2009) วิธีการใช้สารเคมีที่ส่งผลต่อความสามารถในการรวมตัวกันเองของอนุภาคนาโน เป็นวิธีการที่ใช้อย่างกว้างขวาง ซึ่งเป็นวิธีการที่ใช้ประโยชน์จากแรงระหว่างโมเลกุลในการสร้างอนุภาคนาโน โดยมีผลมาจากอัตราส่วนมวลภายในโมเลกุล สภาพะพีเอช อุณหภูมิ และสถานะอื่น (Chen *et al.*, 2006; Grzelczak *et al.*, 2010)

ตารางที่ 2.4 ข้อดีและข้อจำกัดของวิธีการต่างๆที่ใช้ในการผลิตอนุภาคนาโน

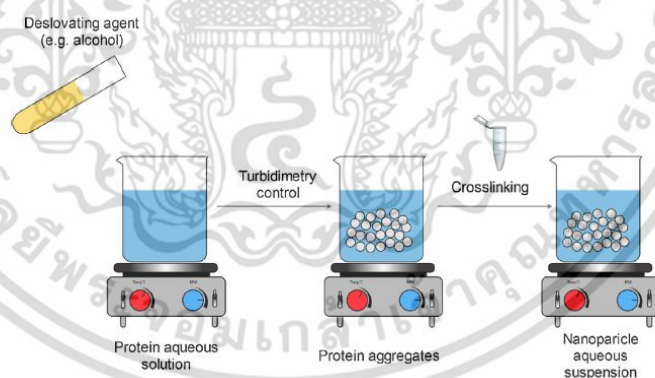
ลักษณะที่สำคัญ	วิธีการเอนแคปซูเลชันด้วยโปรตีน				
	ปรับพีเอชสารละลาย	ใช้ความร้อน	สเปรยดราย	อิมัลชันร่วมกับการระเหย	การแทนที่ด้วยตัวทำละลาย
	pH cycling	Heat Treatment	Sparay technique	Emulsion evaporation	Solvent displacement
ระยะเวลาที่ใช้ในกระบวนการ	ปานกลาง	ปานกลาง-สูง	ปานกลาง-สูง	สั้น	ต่ำ-ปานกลาง
ตัวทำละลาย	ใช้บัฟเฟอร์มาก	ใช้บัฟเฟอร์มาก	ใช้บัฟเฟอร์/แอลกอฮอล์	ความเป็นพิษต่ำ	ความเป็นพิษต่ำ
พลังงานที่ใช้ในกระบวนการ	ต่ำ	ปานกลาง	ปานกลาง	ต่ำ	ปานกลาง
ความเข้มข้นพอลิเมอร์ที่นำมาห่อหุ้ม	ปานกลาง-สูง	ปานกลาง	ปานกลาง	ปริมาณที่ขนาดอนุภาคเข้าใกล้ นาโน	ปานกลางสูง
การห่อหุ้มสารประกอบไฮโดรโฟบิก	ต่ำ-ปานกลาง	ต่ำ-ปานกลาง	ปานกลาง	สูง	สูงมาก
การห่อหุ้มสารประกอบไฮโดรฟิลิก	สูง	ปานกลาง-สูง	ปานกลาง	ปานกลาง	ปานกลาง
สารลดแรงตึงผิว	ไม่จำเป็น	ไม่จำเป็น	ไม่จำเป็น	จำเป็น	จำเป็น
ระยะเวลาที่ทำให้บริสุทธิ์	สั้น	สั้น	ปานกลาง	ปานกลาง	ปานกลาง
ข้อสังเกต:(สารที่นำมาห่อหุ้ม/ตัวห่อหุ้ม)	มักใช้กับโปรตีน	ไม่เหมาะกับสาร ไบโอดีแอค ทีฟที่ไม่ทนความร้อน	มักใช้กับโปรตีน และ คาร์โบไฮเดรต	เหมาะกับสารไบโอดีแอคทีฟที่เป็น ไฮโดรฟิลิกและไฮโดรโฟบิก	ข้อจำกัดในการเติมตัวทำ ละลาย

ที่มา: Sabliov และคณะ (2015)

2.2.3 การห่อหุ้มสารโดยใช้วิธีการดีซอลเวชัน

เทคนิคดีซอลเวชันอาศัยความสามารถในการรวมตัวกันระหว่างพอลิเมอร์ (เช่น โปรตีน หรือ พอลิแซ็กคาไรด์) การเชื่อมต่อระหว่างอนุภาคที่เกิดขึ้นมีผลมาจากสภาวะการกระตุ้นจากตัวทำละลาย โดยมีขั้นตอนเริ่มจากการละลายพอลิเมอร์ในตัวทำละลายที่เหมาะสม ซึ่งพอลิเมอร์จะเกิดการคลายสาย จากนั้นใส่ซอลเวตติ้งเอเจนต์ เช่น ไอโซโพรพานอล หรือ เอทานอล ลงไป (ในกรณีที่ตัวทำละลายพอลิเมอร์คือน้ำ) จากนั้นพอลิเมอร์ที่กระจายตัวอยู่จะเกิดการรวมตัวเชื่อมต่อ (cross linked) ระหว่างอนุภาค เนื่องจากตัวทำละลายที่เติมลงไปนั้นเกิดการสร้างพันธะกับน้ำแทนที่พอลิเมอร์ ซึ่งจะเป็นการเหนี่ยวนำพอลิเมอร์เกิดการรวมตัวกันเอง เมื่อถึงจุดเหมาะสมของสารจะเกิดลักษณะขุ่น และเกิดเป็นผลิตภัณฑ์สุดท้ายในรูปแบบอนุภาคนาโน (Grzelczak *et al.*, 2010; Yi *et al.*, 2006)

รูปแบบอนุภาคและขนาดของอนุภาคนาโนจะแตกต่างกันขึ้นอยู่กับสภาวะการเตรียม เช่น ปริมาณพอลิเมอร์ ค่าพีเอช ความแข็งแรงไอออนิก ความเข้มข้นของสารที่ทำให้เกิดการเชื่อมต่อระหว่างโมเลกุล (cross-linking) ความเร็วรอบการกวนขณะทำการดีซอลเวชัน ปริมาณดีซอลเวตติ้งเอเจนต์ (desolvating agent) (Coester *et al.*, 2000)



ภาพที่ 2.7 การห่อหุ้มสาร โดยใช้วิธีการดีซอลเวชัน (Desolvation process)

ที่มา: Thrhini และคณะ (2017)

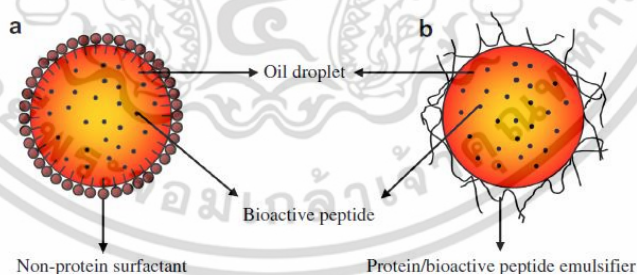
2.2.4 สารที่ใช้ในการห่อหุ้มอนุภาคนาโน

การนำสารที่นำมาใช้เป็นวัสดุหุ้มในการทำแอนคัปซูเลชัน วัสดุห่อหุ้มที่เลือกใช้จะมีอิทธิพลต่อการแพร่กระจายของสารภายใน และความเสถียรของผลิตภัณฑ์อาหารระหว่างการเก็บรักษา ดังนั้นสารที่จะนำมาห่อหุ้มต้องคำนึงถึงปัจจัยต่างๆ อาทิเช่น สภาวะที่ใช้ในขั้นตอนการเอกซสสารนี้เป็นเอกซสสารที่สงวนไว้สำหรับการใช้งานเพื่อการศึกษาเท่านั้น ไม่อนุญาตให้นำไปใช้ประโยชน์ด้านการค้าไม่ว่ากรณีใดๆ ทั้งสิ้น อีกทั้งห้ามมิให้ดัดแปลงเนื้อหา และต้องอ้างอิงถึงเจ้าของเอกสารทุกครั้งที่มีการนำไปใช้

เอนแคปซูลเลต ตัวสารเคลือบที่ใช้ในการเอนแคปซูลเลตจะต้องไม่ทำปฏิกิริยากับสารภายใน โครงสร้างทางเคมี (chemical structure) ความมีขั้ว (polarity) ความสามารถในการระเหย (volatility) ปกป้องสารจากสภาวะแวดล้อม มีคุณสมบัติในการทำให้เกิดความเสถียร และสามารถควบคุมการปลดปล่อย ภายใต้สภาวะและช่วงเวลาที่ต้องการ (Shahidi and Han, 1993)

สารที่เลือกใช้เป็นวัสดุห่อหุ้มในกระบวนการเอนแคปซูลเลชัน จะมีอิทธิพลต่อการแพร่กระจายในสารละลาย และความเสถียรของผลิตภัณฑ์อาหารระหว่างการเก็บรักษา ดังนั้นสารที่จะนำมาห่อหุ้มต้องคำนึงถึงปัจจัยต่างๆ อาทิเช่น สภาวะที่ใช้ในขั้นตอนการเอนแคปซูลเลต ตัวสารเคลือบที่ใช้ในการเอนแคปซูลเลตจะต้องไม่ทำปฏิกิริยากับสารสำคัญ สามารถปกป้องสารจากสภาวะแวดล้อม มีคุณสมบัติในการทำให้เกิดความเสถียร และสามารถควบคุมการปลดปล่อย ภายใต้สภาวะและช่วงเวลาที่ต้องการ (Shahidi and Han, 1993)

วัสดุหุ้มในการทำเอนแคปซูลเลชันมักเป็นไบโอพอลิเมอร์ ซึ่งเป็นพอลิเมอร์ที่ถูกสร้างขึ้นและคัดแยกมาจากเนื้อเยื่อสิ่งมีชีวิต ซึ่งเป็นวัสดุที่มีความปลอดภัยต่อการใช้งานในการนำมาเป็นวัสดุในการขนส่งสารทางเภสัชกรรม และการแพทย์ การใช้ไบโอพอลิเมอร์จะแบ่งเป็น 2 ชนิด (1) พอลิแซ็กคาไรด์ (เช่น โคลโคซาน ไฮยาลูโรนิก เดรีกเทรน เซลลูโลส พลูแลน คอนดรอยตินซัลเฟต อัลจินต) และ (2) โปรตีน (เช่น คอลลาเจน เจลาติน ไกโกลติน อัลบูมิน เวย์โปรตีน) ทั้ง 2 กลุ่มมีลักษณะเป็นไฮโดรฟิลลิก เป็นสารชีวภาพที่เข้ากันได้ และเสื่อมสลายทางชีวภาพได้



ภาพที่ 2.8 วัสดุห่อหุ้มสารออกฤทธิ์ทางชีวภาพ

(a) วัสดุห่อหุ้มที่ไม่ใช่โปรตีน (b) วัสดุห่อหุ้มที่เป็นโปรตีน

ที่มา: Adjonu และคณะ (2014)

2.3. การผลิตอนุภาคนาโนจากเวย์โปรตีนไอโซเลตด้วยวิธีการดีซอลเวชัน

2.3.1. โครงสร้างเวย์โปรตีน

เวย์โปรตีน เป็นผลพลอยได้จากการทำเนยแข็ง หลังจากแยกโปรตีนเคซีน และไขมัน นำมาผ่านกระบวนการทำให้แห้ง เพื่อให้ได้เป็นโปรตีนบริสุทธิ์ที่อยู่ในรูปผง โครงสร้างเวย์โปรตีนประกอบด้วย 4 โปรตีนหลัก คือ เบต้า-แลคโตโกลบูลิน (β -lactoglobulin), แอลฟา-แลคตาบูมิน (α -lactalbumin), เซรัมอะบูมิน (serum albumin) และ อิมมูโนโกลบูลิน (immunoglobulins) ซึ่งมีสัดส่วนเป็น 50, 20, 10, และ 10 เปอร์เซ็นต์ของเวย์โปรตีนตามลำดับ ประกอบด้วยกรดอะมิโน 162 ชนิด มีหมู่ไฮดรอกซิลอิสระหนึ่งหมู่ และมีสองพันธะไดซัลไฟด์ (Jovanovic *et al.*, 2007; Santos *et al.*, 2012) โดยโปรตีนเหล่านี้จะมีลักษณะเป็นโปรตีนก้อนกลม (globular protein) (ไวต่อการเสียดสภาพจากความร้อน) ในโครงสร้างระดับทุติยภูมิและตติยภูมิประกอบด้วยกรดอะมิโนทั้งกรดอะมิโนที่แสดงสมบัติกรดและเบส (มีประจุ) และกรดอะมิโนที่แสดงลักษณะไฮโดรฟิลิกและไฮโดรโฟบิก (มีขั้วและไม่มีขั้ว) ซึ่งการกระจายตัวของกรดอะมิโนเหล่านี้จะทำให้เกิดความสมดุลภายในโครงสร้างโปรตีน (Smilowitz *et al.*, 2005) การพัฒนารูปแบบของการเกิดปฏิสัมพันธ์ของระหว่างโครงสร้างของโปรตีนกับโปรตีน (Protein-protein interactions) (ที่เกิดจากสารเคมีและทางกายภาพ) จะขึ้นอยู่กับรูปแบบการรวมตัว (aggregation mechanisms) และชนิดของโปรตีนที่เกิดการรวมตัว (types of protein aggregates) โดยการรวมตัวของโปรตีนกับโปรตีนจะส่งผลต่อระดับโครงสร้างทั้งลักษณะสัณฐานวิทยา (morphology) ความสามารถในการรวมตัวกัน (binding capability) และการเกิดฟังก์ชันการทำงาน (functionality) ซึ่งจะส่งผลต่อขนาด และความคงตัวของอนุภาคนาโนที่เกิดขึ้น

ตารางที่ 2.5 องค์ประกอบและลักษณะของเวย์โปรตีนไอโซเลต

เวย์โปรตีนไอโซเลต	มวลโมเลกุล (kDa)	ค่า pI	อุณหภูมิเสียดสภาพ (เซลเซียส)	จำนวนกรดอะมิโน
ทั้งหมด	-	-	-	-
b-lactoglobulin	18.3	5.2	71.9	162
a-Lactalbumin	14.2	4.8	64.3	123
Immunoglobulins	150-900	5.5-6.8	-	-
Bovine serum Albumin	66.4	4.7-4.9	72.0-74.0	583
Proteose peptones	<12	3.3-3.7	-	-
Lactoferrin	80.0	8.0-8.5	70.0	700

เอกสารนี้เป็นเอกสารที่สงวนไว้สำหรับการใช้งานเพื่อการศึกษาเท่านั้น ไม่อนุญาตให้นำไปใช้ประโยชน์ด้านการค้า

ไม่ว่ากรณีใดๆก็ตาม: Ramos และคณะ (2015) ปลงเนื้อหา และต้องอ้างอิงถึงเจ้าของเอกสารทุกครั้งที่มีการนำไปใช้

2.3.2 แรงพันธะในโครงสร้างเวย์โปรตีน

การควบคุมเสถียรภาพของโปรตีนเป็นสิ่งสำคัญในการออกแบบและควบคุม ปฏิสัมพันธ์ของโมเลกุลทางชีววิทยาที่ซับซ้อน โดยเวย์โปรตีนสามารถมีปฏิสัมพันธ์กับโมเลกุล ชนิดต่างๆ โดยจะสร้างแรงพันธะระหว่างโปรตีน ซึ่งจะอธิบายถึงแรงพันธะที่หลากหลาย ดังต่อไปนี้ (Bryant and McClements, 1998; Nicolai *et al.*, 2011; Edwards and Jameson, 2014) ได้แก่ แรงประจุทางไฟฟ้าสถิต (Electrostatic interactions) พันธะไฮโดรเจน (hydrogen bond) และ พันธะไดซัลไฟด์ (disulphide) การเกิดไฮเดรชัน (hydration) และแรงจากไฮโดรโฟบิก (hydrophobic effects) โดยแรงเหล่านี้เป็นแรงที่กำหนดความเสถียรของโครงสร้างโปรตีนใน ระดับชั้นตติยภูมิ ทั้งในโครงสร้างโปรตีนปกติหรือการเกิดปฏิสัมพันธ์กับโครงสร้างอื่นๆ (de la Fuente *et al.*, 2002; Nicolai *et al.*, 2011)

โดยปกติแล้วการรวมตัวโมเลกุลขนาดใหญ่อย่างเวย์โปรตีน ภายในโครงสร้างจะ เกิดการรวมตัวจาก sulphydryl กับ disulphide ปฏิริยาแลกเปลี่ยนพันธะนำไปสู่การก่อตัวของ โมเลกุลเป็นพันธะไดซัลไฟด์ (ซึ่งเป็นพันธะโควาเลนต์) (Sawyer, 1968; Shimada and Cheftel, 1989; Hoffmann and van Mil, 1997) อย่างไรก็ตามปฏิริยาที่ไม่ใช่พันธะโควาเลนต์ของเวย์ โปรตีนภายในโครงสร้างก็มีเช่นกัน ทั้งพันธะไอออนิก (ionic), แรงอิเล็กโตรสแตติก (electrostatic), แรงแวนเดอร์วาลส์ (van der Waals) และ แรงไฮโดรโฟบิก (hydrophobic) ก็มีส่วนร่วมต่อบทบาท ที่สำคัญการรวมของเวย์โปรตีน (de la Fuente *et al.*, 2002; Nicolai *et al.*, 2011)

2.3.2.1 แรงจากพันธะที่ไม่ใช่โควาเลนต์ (Noncovalent bonds)

แรงจากพันธะที่ไม่ใช่โควาเลนต์ มักจะมีปฏิสัมพันธ์ที่ย้อนกลับได้และ ก่อนข้างอ่อนแอ แต่เมื่ออยู่ในระดับการรวมตัวที่เยอะขึ้น จะทำให้มีอิทธิพลต่อการเกิดพันธะ ระหว่างโมเลกุลโปรตีนได้ปัจจัยทางเคมีที่ส่งผลต่อแรงพันธะเหล่านี้ ได้แก่ ค่าพีเอชใกล้จุด isoelectric (pI) หรือความเข้มข้นของเกลือที่สูงขึ้น (Hoffmann and van Mil, 1997; Karshikoff, 2006)

แรงอิเล็กโตรสแตติก (Electrostatic interactions) มีผลมาจากค่าพีเอช และความแข็งแรงของไอออนิกของสารละลายที่ล้อมรอบอนุภาคโปรตีน จะส่งผลต่อการรักษาความคง ตัวของโปรตีนก้อนกลม (globular proteins) (Kinsella and Whitehead, 1989) การปรับค่า pH ให้

เป็น pI และ / หรือเพิ่มไอออน ขนาดและช่วงของการเกิดปฏิสัมพันธ์จะลดลงเกิดจากการไปลด เอกสารนี้เป็นเอกสารที่สงวนไว้สำหรับการใช้งานเพื่อการศึกษาเท่านั้น ไม่อนุญาตให้นำไปใช้ประโยชน์ด้านการค้า ไม่ว่ากรณีใดๆ ทั้งสิ้น อีกทั้งห้ามมิให้ตัดแปลงเนื้อหา และต้องอ้างอิงถึงเจ้าของเอกสารทุกครั้งที่มีการนำไปใช้

ค่าอิเล็กโตรไลต์จากแรงอิเล็กโตรสแตติก ซึ่งสามารถตรวจสอบได้จากโมเลกุลอิเล็กโตรอนที่ล้อมรอบอะตอมกลาง (Counter ions) (Kitabatake *et al.*, 2001)

พันธะไฮโดรเจน (Hydrogen bonds) ถึงจะมีผลต่อการรวมของเวย์โปรตีนที่เกิดขึ้น แต่ก็ไม่ได้เป็นแรงที่สำคัญในการกำหนดรูปแบบการรวมตัวกันของโปรตีนก้อนกลม (globular proteins) (Croguennec *et al.*, 2004) โดยพบว่าการใช้ความร้อนหรือความดัน อาจทำให้เกิดการเปลี่ยนแปลงโครงสร้างโปรตีนห่วงโซ่เปปไทด์กางออก เกิดการแสดงส่วนไฮโดรโฟบิกออกมา หรือ เกิดการแสดงส่วนพันธะไฮโดรเจนที่นำไปสู่การรวมตัวของโมเลกุลโปรตีนได้

ปฏิสัมพันธ์ภายใน โครงสร้างระหว่างโมเลกุลไฮโดรโฟบิก (Intermolecular hydrophobic interactions) ปฏิสัมพันธ์ภายใน โครงสร้างระหว่างโมเลกุลไฮโดรโฟบิก มีผลต่อความคงตัวของโครงสร้างเบต้าแลคโตกลอบูลิน ถึงแม้ว่าโครงสร้างเบต้า-แลคโตกลอบูลิน โดยปกติพื้นผิวโมเลกุลจะมีลักษณะเป็นไฮโดรฟิลิก(ชอบน้ำ) แต่ภายในโครงสร้างยังมีหมู่อะมิโนที่ไม่มีขั้วอยู่มาก จะเกิดการเข้าจับกันเองได้ของโครงสร้างโปรตีน (Nicolai *et al.*, 2011) เมื่อมีการเติมตัวทำละลาย หรือมีการให้ความร้อน ซึ่งเป็นปัจจัยหลักที่สำคัญในการรวมตัวกันของโมเลกุลโปรตีน

ปฏิกิริยาไฮเดรชัน (Hydration interactions) ช่วยป้องกันโมเลกุลโปรตีนเกิดการรวมตัวกันเอง ทำให้เกิดแรงผลักกันระหว่างโมเลกุล ช่วงระยะทางการเกิดแรงผลักภายในโมเลกุลโปรตีนที่มากขึ้นจะเกิดจากระดับไฮเดรชันที่สูงขึ้น (Edwards and Jameson, 2014)

ปฏิสัมพันธ์ภายใน โครงสร้างระหว่างโมเลกุลสเตอริก (Steric interactions) จะเกิดการรวมตัวของสารละลายโปรตีน 2 รูปแบบด้วยกัน คือจะเกิดการผลักกันมากระหว่างโมเลกุลของอะตอม หรือ โมเลกุลเกิดการแยกตัวกันเล็กน้อยจากการซ้อนทับของโมเลกุลอิเล็กโตรอน ซึ่งการซ้อนทับนี้ สามารถใช้คูแวนน์ขนาดและรูปร่างการรวมตัวกันของโมเลกุลโปรตีนได้ (Edwards and Jameson, 2014)

ปฏิสัมพันธ์ภายใน โครงสร้างระหว่างโมเลกุลด้วยแรงแวนเดอวาลส์ (Van der Waals interactions) แรงแวนเดอวาลส์จะมีผลต่อการดึงดูดโมเลกุลโปรตีนให้เกิดการรวมตัวกัน (การคลายสายหรือไม่คลายสายของโครงสร้างโปรตีน) แต่ก็มิมีบทบาทเพียงเล็กน้อยต่อการรวมตัวของอนุภาคโปรตีน อย่างไรก็ตามหากโมเลกุลโปรตีนมีขนาดใหญ่เพียงพอในการเป็นอนุภาคคอลลอยด์ได้ และการผสมไบโอพอลิเมอร์อื่นกับโมเลกุลโปรตีนแล้วทำให้เกิดความคงตัว

ของที่เพิ่มขึ้น นั้นจะเกิดจากแรงแวนเดอวาลส์ (Bryant and McClements,1998 ; Nicolai *et al.*, 2011)

2.3.2.2 แรงจากพันธะโควาเลนต์ (Covalent bonds)

เป็นที่รู้จักกันคืออยู่แล้วว่าความคงตัวของโครงสร้างโปรตีนเกิดจากพันธะไดซัลไฟด์ (disulphide bonds) โดยการไปลดค่าเอนโทรปีจะทำให้เกิดการเสถียรภาพโปรตีน การทำพันธะระหว่าง หมู่ซัลไฟด์ และหมู่ซัลไฟต์ จะเกิดการเชื่อมต่อกันจากพันธะไดซัลไฟด์ (จะอยู่ในบริเวณ b-Lg และ a-La) มีผลต่อการรวมตัว (aggregation processes) ของโมเลกุลโปรตีน (Shimada and Cheftel,1989)

2.3.3 การห่อหุ้มอนุภาคนาโนด้วยเบต้าแลคโตโกลบูลิน

เบต้าแลคโตโกลบูลิน (Beta-lactoglobulin) เป็นองค์ประกอบหลักของเวย์โปรตีน และสามารถใช้ในการขนส่งสารอาหารต่างๆ โดยเบต้าแลคโตโกลบูลินสามารถต้านทานการย่อยจากสภาวะในกระเพาะอาหาร โดยวิธีการจะนำเบต้าแลคโตโกลบูลินมาปรับเปลี่ยนโครงสร้างให้สามารถห่อหุ้มสารออกฤทธิ์ทางชีวภาพได้ การห่อหุ้มและคุณสมบัติของเบต้าแลคโตโกลบูลิน จะมีความสัมพันธ์มาจากลักษณะ โครงสร้างของโปรตีน นอกจากนี้ยังมีการใช้เบต้าแลคโตโกลบูลินอย่างเดี่ยวหรือรวมเบต้าแลคโตโกลบูลินกับพอลิเมอร์อื่นๆ เพื่อเพิ่มประสิทธิภาพการขนส่งสารออกฤทธิ์ทางชีวภาพ

โดยทั่วไปแล้วประสิทธิภาพของสารออกฤทธิ์ทางชีวภาพ มีความสามารถในการดูดซึมต่ำ ซึ่งเกิดจากปัจจัยต่างๆ เช่น ความรุนแรงในช่วงการแปรรูปอาหาร (ความร้อน ออกซิเจน แสง ฯลฯ) ความไม่แน่นอนในระบบทางเดินอาหารทางเดินอาหาร (GI) (ค่า pH, เอนไซม์, สารอาหารอื่นๆ) เพื่อเพิ่มประสิทธิภาพการดูดซึมของสารออกฤทธิ์ทางชีวภาพ จะใช้วิธีการเอนแคปซูลชันด้วยวิธีการต่าง เพื่อปกป้องและขนส่งสารออกฤทธิ์ทางชีวภาพให้ถึงเป้าหมาย วัตถุประสงค์หลักของการเอนแคปซูลชันของสารออกฤทธิ์ทางชีวภาพเพื่อ (1) ป้องกันสารสำคัญที่มีความไม่เสถียรหรือสามารถสูญเสียได้ง่ายจากสภาวะที่ไม่เหมาะสม เช่น การเปลี่ยนแปลงสภาวะทางเคมี (ออกซิเจน, กรด, ฯลฯ) และแสง (2) การควบคุม bioaccessibility และการดูดซึมของสารออกฤทธิ์ทางชีวภาพที่ห่อหุ้ม (3) ขนส่งสารออกฤทธิ์ทางชีวภาพไปยัง

เป้าหมาย โดยเฉพาะภายในสิ่งมีชีวิต โดยรูปแบบและระบบการห่อหุ้มสารออกฤทธิ์ทางชีวภาพ เอกสารนี้เป็นเอกสารที่สงวนไว้สำหรับการใช้งานเพื่อการศึกษาเท่านั้น ไม่อนุญาตให้นำไปใช้ประโยชน์ด้านการค้า ไม่ว่าจะกรณีใดๆ ทั้งสิ้น อีกทั้งห้ามมิให้ตัดแปลงเนื้อหา และต้องอ้างอิงถึงเจ้าของเอกสารทุกครั้งที่มีการนำไปใช้

ได้รับการพัฒนาขึ้นเพื่อปกป้อง สารโพลีฟีนอล, สารสกัดจากสมุนไพรสารอาหารวิตามิน(วิตามิน, กลีโคแลร์, น้ำมันปลา, เปปไทด์, ฯลฯ) และ โพรไบโอติก /จุลินทรีย์ (แลคโต, bifidobacteria) ในระบบอาหาร

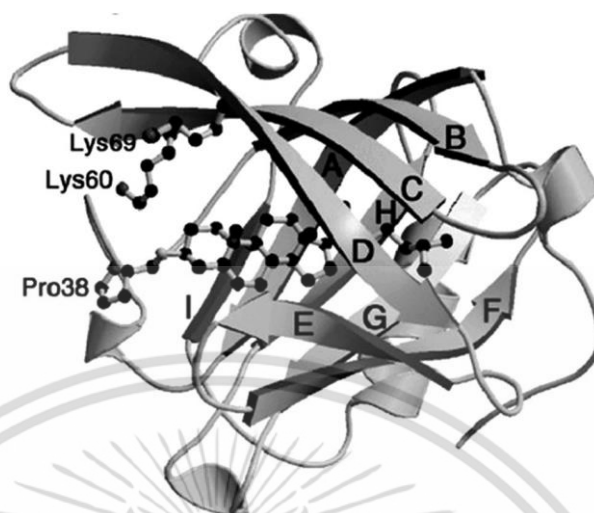
ในบรรดาวัสดุที่นำมาศึกษาใช้เป็นวัสดุในการเอนแคปซูลเลชัน โปรตีนมีความน่าสนใจอย่างกว้างขวาง โดยโปรตีนเป็นพอลิเมอร์ชีวภาพที่มีลักษณะเป็น amphiphilic ซึ่งมีความสามารถในการทำปฏิสัมพันธ์ทั้งสารออกฤทธิ์ทางชีวภาพและตัวทำละลาย นอกจากนี้ความเป็นธรรมชาติของโปรตีนแสดงให้เห็นถึงความเป็นพิษต่ำและสามารถย่อยสลายทางชีวภาพที่ดีกว่าเมื่อเทียบกับพอลิเมอร์สังเคราะห์ โดยเฉพาะคุณสมบัติการทำงานของโปรตีนทั้งเป็นอิมัลซิไฟเออร์ มีคุณสมบัติการก่อเจล มีความยืดหยุ่น มีคุณลักษณะที่หลากหลาย ซึ่งเหมาะสมสำหรับการใช้งานในรูปแบบที่แตกต่างกัน เบต้าแลคโตกลูบูลินเป็นเวย์โปรตีนที่สำคัญในนมวัว ซึ่งมีข้อดีหลายอย่าง เช่น มีบริเวณเกาะกับสารอาหารธรรมชาติ เพิ่มความสามารถละลายน้ำได้ และความต้านทานต่อการย่อยในระบบกระเพาะอาหาร ซึ่งทั้งหมดนี้ทำให้สารออกฤทธิ์ทางชีวภาพสามารถเพิ่มการดูดซึมสารอาหารได้

มีการศึกษาอย่างกว้างขวางในโครงสร้างและทางเคมีกายภาพของเบต้าแลคโตกลูบูลิน โดยเบต้าแลคโตกลูบูลินจัดอยู่ในกลุ่มของ lipocalin ซึ่งเป็นโปรตีนที่ใช้ในการขนส่งสารอาหารเข้าสู่ร่างกาย และมีลักษณะเป็นไฮโดรโฟบิก มีการรายงานว่าสารออกฤทธิ์ทางชีวภาพสามารถเกาะกับเบต้าแลคโตกลูบูลินได้ ซึ่งเคยมีการศึกษาทั้งในเรตินอล วิตามินดี กรดไขมัน สารประกอบฟีนอลิก และคอเลสเตอรอล โดยจะเกาะอยู่สองบริเวณ ดังในภาพที่ 2.8 ด้วยแรงทางพันธะ ทั้งพันธะไฮโดรเจน แรงไฮโดรโฟบิก และแรงแวนเดอร์วาลส์

ประโยชน์ของโปรตีนเป็นที่นำมาเป็นวัสดุห่อหุ้มมีประสิทธิภาพมากกว่าพอลิแซ็กการ์ไรด์ และ โพลิเมอร์สังเคราะห์ โดยหน้าที่การทำงานของโครงสร้างโปรตีนมีดังนี้ โครงสร้างมีความยืดหยุ่น (ซึ่งหมายถึงความสามารถในการเอนแคปซูลเลชันสารในรูปแบบต่างๆ) สามารถทำงานครอบคลุมหมู่ฟังก์ชันได้หลายกลุ่ม (ซึ่งแสดงให้เห็นการทำปฏิสัมพันธ์ทางเคมีที่เข้ากันง่ายกับสารชนิดต่างๆ) มีลักษณะเป็น amphiphilic จากธรรมชาติ (ซึ่งบ่งบอกถึงการมีปฏิสัมพันธ์ในการเก็บกักสาร) และการย่อยสลายทางชีวภาพ มีการเทียบความเป็นไฮโดรโฟบิกกับโปรตีนชนิดอื่นๆ เช่น เซอีน (zein) และ กลูเตน พบว่าเบต้าแลคโตกลูบูลินมีความสามารถในการละลายของในช่วง พีเอช และ ionic strengths ที่กว้างกว่า และถ้าหากกรดอะมิโนไฮโดรโฟบิกต่ำ

เอกสารนี้เป็นเอกสารที่สงวนไว้สำหรับการใช้งานเพื่อการศึกษาเท่านั้น ไม่อนุญาตให้นำไปใช้ประโยชน์ด้านการค้าไม่ว่ากรณีใดๆ ทั้งสิ้น อีกทั้งห้ามมิให้ตัดแปลงเนื้อหา และต้องอ้างอิงถึงเจ้าของเอกสารทุกครั้งที่มีการนำไปใช้

(53.4% อัตราส่วน โมล) ก็ไม่อาจห่อหุ้มออกฤทธิ์ทางชีวภาพที่เป็นไฮโดรโฟบิกให้มีประสิทธิภาพสูงได้



ภาพที่ 2.9 โครงสร้างเบต้าแฉก โตกlobulin ที่ถูกเกาะด้วยคอเลสเตอรอล

ที่มา: Teng และคณะ (2015)

นอกจากนี้เบต้าแฉก โตกlobulin มีสองคุณสมบัติที่สำคัญ หนึ่งคือสามารถต้านทานกับน้ำย่อยในกระเพาะอาหารจากเอนไซม์เปปซิน (pepsin) ซึ่งเป็นเอนไซม์หลักที่สามารถย่อยโปรตีนได้ โดยเอนไซม์เปปซินมีลักษณะการทำงานที่สำคัญ 3 ส่วน คือ 1) เปปซินจะย่อยโปรตีนส่วนพันธะเปปไทด์บริเวณ โปรตีนไฮโดรโฟบิก อย่างไรก็ตามสภาวะการย่อยบริเวณพันธะเปปไทด์ก็มีข้อจำกัดในเรื่องของสภาพขี้ และประจุของกรดอะมิโน 2) พบว่าหากเบต้าแฉก โตกlobulin มีโปรตีนสายเบต้า (B-sheet) มากกว่า 55 เปอร์เซ็นต์ จะลดความสามารถในการย่อยกับเอนไซม์เปปซินได้ โคนจะลดการเข้าจับกันสับเสตรด 3) มีบริเวณพันธะไดซัลไฟด์สองตำแหน่ง (Cys82–Cys176 และ Cys122–Cys135/137) ที่ถูกเอนไซม์ย่อยให้เกิดการคลายสายส่งผลต่อความคงตัวของสายโครงสร้างเบต้าแฉก โตกlobulin และคุณสมบัติที่สองเบต้าแฉก โตกlobulin จะถูกย่อยอย่างช้าๆด้วยเอนไซม์ทริปซิน (trypsin) ในลำไส้เล็ก จากทั้งสองคุณสมบัติในระบบการย่อยอาหาร ทำให้เบต้าแฉก โตกlobulin เป็นที่น่าสนใจในการนำมาเป็นวัสดุในการเอนแคปซูลชันสำหรับควบคุมการปลดปล่อยของสารอาหาร (nutraceuticals labile) หรือยาในระบบทางเดินอาหาร

2.3.4 ปัจจัยสำหรับการออกแบบการห่อหุ้มสารด้วยเบต้าแลคโตกลอบูลิน

มีหลากหลายปัจจัยที่มีผลต่อความคงตัวและประสิทธิภาพในการห่อหุ้มสารออกฤทธิ์ทางชีวภาพ โดยปัจจัยเหล่านี้มีความสัมพันธ์ที่เกี่ยวข้องร่วมกันในการสร้างเมทริกซ์ในการห่อหุ้มสาร ซึ่งปัจจัยนั้น ได้แก่ ลักษณะของสารสำคัญที่นำมาห่อหุ้ม (พื้นผิวของสารสำคัญ) และสถานะการผลิตอนุภาคนาโน (คุณสมบัติทางเคมีกายภาพ) จะมีผลต่อการทำปฏิสัมพันธ์ซึ่งสรุปดังตารางที่ 2.6

ความสามารถในการห่อหุ้มสาร (Loading capacity) มีผลมาจากอัตราส่วนน้ำหนัก (โมลาร์) ระหว่างสารที่ถูกเก็บกักและวัสดุห่อหุ้มส่งผลต่อการเกิดปฏิสัมพันธ์ระหว่างเมทริกซ์ของสารประกอบกับวัสดุห่อหุ้ม โดยวัสดุห่อหุ้มมีแนวโน้มที่จะดึงดูดประจุตรงข้ามด้วยแรงอิเล็กโตรสแตติก แรงไฮโดรโฟบิก รวมตัวเป็นเมทริกซ์ในการห่อหุ้มสาร นอกจากนี้ยังมีค่าพารามิเตอร์จากสถานะแวดล้อม เช่นค่า pH, ความแข็งแรงของออสโมน และอุณหภูมิ ก็มีผลกระทบต่อชนิดและขนาดของแรงในการเกิดปฏิสัมพันธ์กันของโครงสร้างเมทริกซ์ ดังนั้นเพื่อให้เกิดความสามารถในการห่อหุ้มสาร ที่เหมาะสมสำหรับออกฤทธิ์ทางชีวภาพ ต้องคำนึงถึงการเลือกวัสดุห่อหุ้มให้เหมาะสมและเพียงพอต่อการเกิดเมทริกซ์ร่วมกับสถานะแวดล้อมที่เหมาะสม

ความคงตัวในการกระจายตัวเป็นสิ่งสำคัญสำหรับการเพิ่มประสิทธิภาพการดูดซึมของสารอาหาร โดยมีผลมาจากแรงดึงดูด และแรงผลักรวมกันของปฏิสัมพันธ์ในการขนส่งสารอาหาร โดยแรงพันธะที่เกี่ยวข้องที่เกิดแรงดึงดูดกันระหว่างอนุภาค ได้แก่ พันธะไฮโดรเจน แรงแวนเดอร์วาลส์ แรงไฮโดรโฟบิก และแรงดึงดูดอิเล็กโตรสแตติก และพันธะที่เกิดแรงผลักรวมกันระหว่างอนุภาค แรงผลักรวมกันอิเล็กโตรสแตติก และหมู่สเตอริก นอกจากนี้ยังมีบริเวณที่แสดงลักษณะความเป็นไฮโดรโฟบิก (เช่น หมู่อะโรมาติกของกรดอะมิโน) บริเวณที่แสดงลักษณะความเป็นไฮโดรฟิลิก (เช่น หมู่-OH และ -NH₂) เป็นส่วนสำคัญในการควบคุมความเป็นไฮโดรโฟบิกหรือการทำพันธะไฮโดรเจนของโครงสร้างโปรตีน ประจุที่พื้นผิวอนุภาคโปรตีนมีบทบาทที่สำคัญแรงผลักรวมกันและแรงดึงดูดบนพื้นผิวอนุภาค โดยค่าพารามิเตอร์ที่ใช้วัดความคงตัวของอนุภาคคือ ค่าศักย์ซีต้า (zeta potentials) ควรมีค่ามากกว่า 30 มิลลิโวลต์ และน้อยกว่า 30 มิลลิโวลต์ แสดงถึงความคงตัวของอนุภาคที่กระจายตัว ซึ่งเกิดจากแรงผลักรวมกันอิเล็กโตรสแตติกระหว่างอนุภาค

ตารางที่ 2.6 ข้อคำนึงในการเลือกใช้วัสดุห่อหุ้มสารออกฤทธิ์ทางชีวภาพ

คุณสมบัติ	ลักษณะรายละเอียด	ปัจจัยที่มีผล
ความสามารถในการห่อหุ้มสาร (Loading capacity)	น้ำหนัก (โมลาร์) อัตราส่วนระหว่างสารที่ถูกเก็บกักและ วัสดุห่อหุ้ม แสดงให้เห็นถึงประสิทธิภาพของการห่อหุ้ม	แรงพันธะของปฏิสัมพันธ์ระหว่างการเกิดเมทริกซ์ของสารประกอบกับวัสดุห่อหุ้ม (แรงอิเล็กโทสแตติก แรงไฮโดรโฟบิก พันธะไฮโดรเจน แรงแวนเดอร์วาลส์ , ฯลฯ)
ความคงตัวและการกระจายตัว (Dispersion stability)	ความคงตัวกับการตกตะกอน ก่อให้เกิดความสามารถในการละลายและดูดซึมในการเก็บกักสาร	แรงประจุไฟฟ้า แรงไฮโดรฟิลิก และหมู่สเตอริก (steric) บนพื้นผิวอนุภาค
การควบคุมการปลดปล่อยสาร (Controlled release)	เวลาในการปลดปล่อยสาร การสัมผัสกับสิ่งเร้าบางอย่าง ช่วยเพิ่มประสิทธิภาพของการขนส่งสาร	พอลิเมอร์หรือหมู่ฟังก์ชันที่เหมาะสมมีผลต่อการเปลี่ยนแปลงของสภาพแวดล้อมบางอย่าง (เช่น pH หรือ เอนไซม์)
พอลิเมอร์ที่สามารถยึดเกาะเซลล์ mucus (Mucoadhesion)	การยึดติดกับเยื่อในทางเดินอาหารทางเดิน ก่อให้เกิดการดูดซึมของสารที่ถูกกักเก็บไว้ได้	ประจุบวกบนพื้นผิวอนุภาค; ปฏิกิริยาพันธะไฮโดรเจนที่มากจะรวมกลุ่มกัน (เช่น หมู่ไฮดรอกซิล)
ระยะเวลาที่อยู่ในระบบทางเดินอาหาร (Prolonged circulation)	การยืดระยะเวลาที่อยู่ในระบบทางเดินอาหาร ลดการสูญเสียของการออกฤทธิ์ทางชีวภาพ	หมู่ Steric หรือ พอลิเมอร์ที่คล้ายคลึงธรรมชาติ (biomimetic polymers) เกาะอยู่บนพื้นผิวอนุภาค
การดูดซึมเข้าสู่เซลล์ (Cellular uptake)	การขนส่งสารในระดับเซลล์ ขั้นตอนที่ดีที่สุดสำหรับการขนส่งสาร	ลดขนาดของระบบการจัดตั้งนั้น จากประจุบวกบนพื้นผิวอนุภาค การมีค่าไฮโดรโฟบิกบนพื้นผิวสูง

ที่มา: Teng และคณะ (2015)

ต่อมาเป็นคุณสมบัติควบคุมการปลดปล่อยสาร ในตำแหน่งหรือระยะเวลาที่ต้องการ โดยปกติแล้วเมทริกซ์ของสารอาหารมีผลต่อระดับการควบคุมการปลดปล่อยสาร เช่น วัสดุที่นำมาห่อหุ้มอาจจะถูกย่อยได้โดยง่ายจากกรดและเอนไซม์ในกระเพาะอาหาร เป็นผลให้สารอาหารที่ถูกกักเก็บอาจสูญสลายไปจากการเจสภาวะกรดรุนแรงจากกระเพาะอาหาร ดังนั้นวัสดุห่อหุ้มที่เหมาะสมสำหรับห่อหุ้มสารอาหาร ควรรักษาสามารถป้องกันและกักเก็บสารออกฤทธิ์ทางชีวภาพจากการรั่วไหลในสภาวะกระเพาะอาหาร จนกว่าจะถึงลำไส้เล็ก และอวัยวะที่สำคัญสำหรับการดูดซึมสารอาหาร โดยสารอาหารที่ห่อหุ้มควรจะปล่อยออกมาในช่วงนี้การบริโภคสารออกฤทธิ์ทางชีวภาพจะถูกดูดซึมเข้าสู่การไหลเวียนของระบบในลำไส้เล็ก mucin เป็นประจุลบไกลโคโปรตีนที่ล้อมรอบเซลล์ลำไส้เล็กเป็นชั้นเหมือนเจลและทำหน้าที่เป็นตัวยึดเกาะในการดูดซึมสารอาหารระหว่างวัสดุห่อหุ้มและเมือก mucoadhesion จึงเป็นสิ่งจำเป็นสำหรับการดูดซึม

ระบบที่มีเบต้าแลคโตกลูโคสอินทรีย์ห่อหุ้ม การเลือกวัสดุห่อหุ้มที่เหมาะสมและเทคนิคการห่อหุ้มเป็นสิ่งสำคัญสำหรับการรวมตัวและการขนส่งสารไปยังเป้าหมาย ข้อดีของเบต้าแลคโตกลูโคสอินทรีย์นำมาใช้ สรุปเกี่ยวกับวิธีการผลิตอนุภาคจากเบต้าแลคโตกลูโคสอินทรีย์ในตารางที่ 2.6 การผลิตอนุภาคนาโน การเกิดโมเลกุลเชิงซ้อน ซึ่งเกิดจากการรวมกันของบริเวณลิแกนด์ของโปรตีนอนุภาคนาโนเกิดการจากการเปลี่ยนแปลงโครงสร้างโปรตีนส่งผลให้เกิดการรวมตัวกันของโปรตีนและการรวมตัวกันของโมเลกุลออกฤทธิ์ทางชีวภาพ เมื่อเทียบกับโมเลกุลเชิงซ้อนอนุภาคนาโนจะแสดงขนาดเส้นผ่านศูนย์กลางอยู่ในช่วง (100-200 นาโนเมตร) และ ความสามารถในการห่อหุ้มสารจะสูงมาก โดยงานวิจัย Moux และ คณะ 2016 ได้เอนแคปซูลชันกรดไขมัน linoleate เกิดการแสดงบริเวณไฮโดรโฟบิกจากโครงสร้างเปปไทด์ในเบต้าแลคโตกลูโคสอินทรีย์ในการฟอร์มอนุภาค ซึ่งการคลายสายส่งผลต่อประสิทธิภาพการรวมตัวของอนุภาคนาโนเบต้าแลคโตกลูโคสอินทรีย์ในการขนส่งสารออกฤทธิ์ทางชีวภาพที่เป็นไฮโดรโฟบิก โดยโครงสร้างอนุภาคนาโนที่เกิดจากโปรตีน จะสามารถป้องกันการย่อยสลายได้ดีกว่า เมื่อเทียบกับระบบอื่นๆ เมื่อเทียบกับ polysaccharides ซึ่งมีอนุภาคนาโนใหญ่ เปรียบเทียบเบต้าแลคโตกลูโคสอินทรีย์ที่มีขนาดที่เล็ก และมีความหืดหยุ่นมากกว่า สามารถรวมมาก เกิดการรวมตัวเป็นอนุภาคทรงกลมอย่างรวดเร็ว ทำให้อนุภาคมีขนาดเล็กลงและมีประสิทธิภาพการกักเก็บมากขึ้น

ตารางที่ 2.7 วิธีการผลิตอนุภาคนาโนในรูปแบบต่างๆที่ใช้เบต้าแลคโตกลอบูลินเป็นวัสดุห่อหุ้มสารสำคัญ

ระบบการขนส่ง	วิธีการเตรียมอนุภาค	ขนาดอนุภาค	สารที่ถูกนำมาห่อหุ้ม	ข้อดี	ข้อเสีย
Molecular complex	การผสมและการบ่ม	อนุภาคนาโนหลายขนาด	ฟีนอล กรดโพลีลิก และ กรดไขมัน	ขั้นตอนง่าย ๆ ที่ไม่มีสารเคมีที่เป็นพิษ ด้านทานน้ำย่อยจากBLG ขนาดเล็กมีความโปร่งใส	ประสิทธิภาพการกักเก็บต่ำ เกิดการเปลี่ยนแปลงได้ง่ายจากสภาวะแวดล้อม
Nanoparticles	ดีซอลเวชัน, ความร้อนและแรงดันสูง โสมจีไนซ์	50–200 nm	เคอคูมิน ฟีนอล กรดไขมัน อัลฟา-โทโคเฟอรอล	โครงสร้างขนาดเล็ก สามารถขนส่งสารได้ทั้ง lipo- และ hydro-philic	มีอินทรีย์ตัวทำละลาย (desolvation); ประจุบนพื้นผิวต่ำ การสลายตัวในระบบทางเดินอาหาร
Nanoemulsion	โสมจีไนซ์	50–200 nm	เบต้าแลคโทรทีน เคอคูมิน	ผลิตภัณฑ์โปร่งใส ขนส่งสาร lipophilic ได้	ลักษณะเทอร์โมไดนามิกที่ไม่เสถียร ไม่สามารถใช้กับสารประกอบที่มีขี้ผึ้งได้ เกิดความไม่คงตัว การเจือจาง, การอบแห้ง, และสารลดแรงตึงผิวในระบบทางเดินอาหาร
Gel	ตัวทำละลายอินทรีย์หรือชักนำด้วยแรงไอออนิก	โครงร่างโปรตีน	อัลฟา-โทโคเฟอรอล ไอออนเหล็ก	มีประสิทธิภาพการกักเก็บสูง	เกิดเป็นช่องขนาดใหญ่ การป้องกันที่ไม่ดี เกิดลักษณะที่บวมน้ำ

2.3.5 สถานะทางกายภาพและทางเคมีที่มีผลต่อรวมตัวเป็นอนุภาคนาโน

มีการศึกษาถึงกลไกการสร้างเวย์โปรตีนในการรวมตัวเป็นอนุภาคนาโน โดยใช้การรวมตัวในรูปแบบ bottom up จนเกิดเป็นอนุภาคได้ในขนาด 40 นาโนเมตร อนุภาคนาโนจากเวย์โปรตีนที่เกิดขึ้นนี้ส่งผลมาจากค่าพารามิเตอร์ของกระบวนการสร้างอนุภาคนาโน (Leclerc *et al.*, 2005) ผลของอนุภาคจะเกิดการรวมตัวจากปริมาณแคลเซียมไอออนต่ำกับอุณหภูมิของสารละลายเวย์โปรตีนที่ 55 องศาเซลเซียส ซึ่งเป็นอุณหภูมิที่ไม่ทำให้เบต้ากาแลคโตบูลินเสียสภาพ ผลการทดลองได้วัดขนาดค่าศักย์ซีต้าอยู่ที่ -25 มิลลิโวลต์ ซึ่งการมีประจุที่พื้นผิวสูงมีความสัมพันธ์ต่อการกระจายตัว และความคงตัวในการเก็บรักษา โดยพบว่าการรวมตัวของอนุภาคนาโนเวย์โปรตีน เกิดจากแรงพันธะต่างๆ ทั้งพันธะโควาเลนต์ พันธะไฮโดรเจน แรงไฮโดรโฟบิก จากภายในโครงสร้าง และแรงแวนเดอร์วาลส์ การทดลองได้มีการตรวจติดตามผลของการสร้างพันธะในโครงสร้างโปรตีน โดยการเติม CaCl_2 (เพื่อศึกษาแรงจากอิเล็กโตรสแตติก) เติมนูเรีย (เพื่อศึกษาความไม่คงตัวของโครงสร้างโปรตีนจากแรงของพันธะไฮโดรเจน) เติม SDS (เพื่อบล็อกการเกิดพันธะกับหมู่ไฮโดรโฟบิก) และเติม 2-mecaptoethanol (เพื่อป้องกันการเกิดพันธะไดซัลไฟด์) จากตรวจติดตามการฟอร์มตัวของอนุภาคจากค่าความขุ่นที่ 480 นาโนเมตร จากผลการศึกษา กลไกการรวมตัวกันของเบต้ากาแลคโตบูลินมาจากการเติมแคลเซียม หรือการเกิดพันธะไดซัลไฟด์ จากการสังเกตการณ์ดังกล่าวกลไกส่วนใหญ่ที่นำไปสู่การก่อตัวของ nanoaggregates เกิดจากแรงอิเล็กโตรสแตติกระหว่างโปรตีนและแคลเซียม ส่วนแรงไฮโดรโฟบิกมีผลต่อการรวมตัวระหว่างสายโครงสร้างโปรตีน ส่วนพันธะไดซัลไฟด์มีผลต่อการรวมตัวของโปรตีนภายในโครงสร้างโปรตีนเอง นอกจากนี้ปัจจัยทางเคมีและทางกายภาพของการทดลองนี้แล้ว ยังมีปัจจัยอื่นที่ส่งผลต่อการรวมตัวของอนุภาคเวย์โปรตีนอีก (Chen *et al.*, 2006)

ผลของพีเอช การกระจายตัวของประจุบนพื้นผิวโครงสร้างโปรตีนมักขึ้นอยู่กับพีเอช ซึ่งพีเอชเป็นค่าพารามิเตอร์ที่ส่งผลต่อทั้งระดับการคลายสายภายใน โมเลกุลโปรตีน และส่งผลต่อการรวมตัวกันของโปรตีน-โปรตีนภายในโมเลกุล ดังนั้นค่าพีเอชกับแรงไฮโดรโฟบิกเป็นตัวแปรสำคัญ ต่ออัตราการรวมโปรตีนและความคงตัวของอนุภาคนาโน (Bryant and McClements, 1998; Ramos *et al.*, 2012) โดยการรวมตัวของอนุภาคโปรตีนต้องมีการรักษาสมดุลระหว่างค่าพีเอชและความแรงของไอออนในสารละลายเวย์โปรตีน โดยการรวมตัวภายในโครงสร้างจะเกิดจากแรงอิเล็กโตรสแตติก ที่สถานะไอออนิกต่ำ ค่าพีเอชควรมีค่าห่างจาก pI เพราะ pH อยู่ในช่วงของค่า pI จะเร่งอัตราการตกตะกอนเพิ่มมากขึ้น จนสามารถเกิดเป็นลักษณะขุ่นหรือเป็นพลาก์เจลขนาดใหญ่แทน

ผลของปริมาณเอทานอล ปริมาณเอทานอลจะเกิดการเปลี่ยนแปลงสภาพขุ่นของโครงสร้างโปรตีน (dielectric constant) ซึ่งจะมีผลต่อ แรงไฮโดรโฟบิกภายในโครงสร้างโปรตีน พันธะไฮโดรเจน โดยการเติมแอลกอฮอล์ลงไปจะลดความเป็นขุ่นของตำแหน่งโครงสร้างโปรตีน

เอกสารนี้เป็นเอกสารที่สงวนไว้สำหรับการใช้งานเพื่อการศึกษาเท่านั้น เมื่อผู้ดูแลเห็นไปใช้ประโยชน์ด้านการค้าไม่ว่ากรณีใดๆ ทั้งสิ้น อีกทั้งห้ามมิให้ตัดแปลงเนื้อหา และต้องอ้างอิงถึงเจ้าของเอกสารทุกครั้งที่มีการนำไปใช้

บริเวณพันธะไฮโดรเจน และโครงสร้างอัลฟา-ฮีลิก ทำให้เกิดการแสดงลักษณะไฮโดรโฟบิกที่สูงขึ้น ส่งผลให้เกิดการรวมตัวกันภายในโครงสร้างโปรตีน

ผลของความเข้มข้นเวย์โปรตีน เวย์โปรตีนที่เพิ่มขึ้น ความเข้มข้นของโปรตีนมักจะก่อให้เกิด (1) การรวมตัวที่เพิ่มขึ้น เนื่องจากมีโอกาสมากขึ้นของการปฏิสัมพันธ์ระหว่างโปรตีนและโปรตีน และ (2) การตกตะกอนเนื่องจากความสามารถในการละลาย ผลกระทบที่สำคัญในการรวมโปรตีน โดยเฉพาะอย่างยิ่ง เมื่อเสียดสภาพโปรตีนจากความร้อนเปรียบเทียบกับความเข้มข้นสูงของโปรตีน แนวโน้มของโปรตีนที่ความเข้มข้นสูงจะเกิดการรวมจะสูงกว่า (Webbi *et al.*, 2005)

2.4. การขนส่งสารสำคัญด้วยอนุภาคนาโนในสถานะทางเดินอาหารจำลอง

ระบบนำส่งอนุภาคนาโนเป็นระบบที่ใช้ nanocarriers ในการห่อหุ้มสารออกฤทธิ์ทางชีวภาพ และขนส่งสารประกอบเหล่านี้ เพื่อเพิ่มการดูดซึมในทางเดินอาหารระบบที่ใช้ในระบบชีวภาพของร่างกาย (active endocytosis) (Schneider *et al.*, 2006) ปัจจุบันสารพฤษเคมีจะแนะนำในแง่ของสุขภาพประโยชน์ แต่มีอุปสรรคในการดูดซึมต่ำ จึงได้นำการขนส่งสารในรูปแบบอนุภาคนาโนมาเป็นระบบการขนส่งสารพฤษเคมี โดยจะเน้นในส่วน คุณสมบัติที่เป็นเอกลักษณ์ เพื่อเพิ่มการดูดซึมสารพฤษเคมีในทางเดินอาหาร

2.4.1 อัตราการดูดซึมของสารพฤษเคมีกลุ่มฟีนอลิก

แม้ว่าสารในกลุ่มสารพฤษเคมีมีผลดีสุขภาพของมนุษย์ ซึ่งได้รับการยืนยันจากหลายงานการศึกษาแต่อัตราการดูดซึมที่ต่ำ และข้อจำกัดของการดูดซึมสารของสารพฤษเคมีก็ยังได้รับการรายงานจำนวนมากเช่นกัน ซึ่งส่วนใหญ่สารธรรมชาติมีความสามารถในการละลายน้ำต่ำ เสถียรภาพทางเดินอาหารไม่ดี, การแพร่กระจายของสารพฤษเคมีในระบบทางเดินอาหารที่ต่ำ มีผลต่อการดูดซึมสารเข้าสู่ร่างกายได้น้อย

2.4.2 ความสามารถในการละลายและความคงตัวของสารพฤษเคมีกลุ่มฟีนอลิก

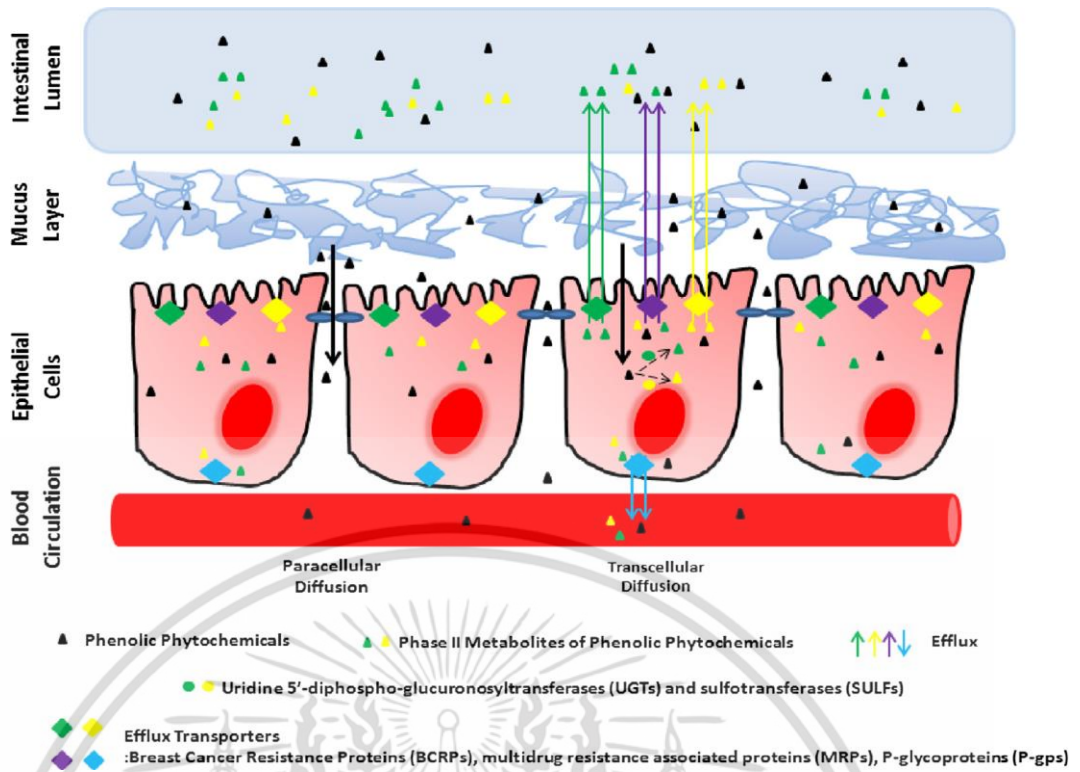
สามารถในการละลายและความคงตัวของไฟโตเคมีคัลส่งผลต่อการดูดซึมในระบบทางเดินอาหารที่ต่ำตามไปด้วย การละลายของไฟโตเคมีคัลที่เป็นสารประกอบฟีนอลิก เกิดจากค่า affinity ของสารที่ทำกับ โมเลกุลของน้ำ ร่วมกับน้ำหนักมวล โมเลกุลที่มีบทบาทสำคัญต่ออัตราการละลาย โดยถ้าหากสารมีน้ำหนักโมเลกุลที่สูงขึ้นอัตราการละลายจะต่ำในน้ำ (Gao and

เอกสารนี้เป็นเอกสารที่สงวนไว้สำหรับการใช้งานเพื่อการศึกษาเท่านั้น ไม่อนุญาตให้นำไปใช้ประโยชน์ด้านการค้าไม่ว่ากรณีใดๆ ทั้งสิ้น อีกทั้งห้ามมิให้ตัดแปลงเนื้อหา และต้องอ้างอิงถึงเจ้าของเอกสารทุกครั้งที่มีการนำไปใช้

Hu, 2010) ยกตัวอย่างเช่น โพรแอนโทไซยานิดิน (proanthocyanidins) มีการสังเคราะห์จาก (+) - catechin และ (-) - epicatechin ขนาดของโพลิเมอร์มีน้ำหนักโมเลกุลขนาดใหญ่ มากเมื่อเทียบกับ oligomers และ โมโนเมอร์นี้ การที่มีน้ำหนักโมเลกุลสูง ทำให้เกิดการละลายของโพลิเมอร์ proanthocyanidin ที่ต่ำมาก และนำไปสู่การดูดซึมที่ต่ำ (Ou *et al.* 2012; Zhang, *et al.* 2004). ยิ่งไปกว่านั้นสภาพความเป็นกรดต่างที่แตกต่างกันในทางเดินอาหาร ยังอาจทำให้เกิดย่อยสลายของ สารพฤกษเคมีได้ ยกตัวอย่างเช่น epigallocatechin gallate (EGCG) ไม่คงตัวต่อความเป็นกรด (<1.5) ในกระเพาะอาหาร และสภาพแวดล้อมที่มีค่า pH เป็นกลางในลำไส้เล็กและ ซึ่งทำให้การย่อยเกิดกระบวนการสลายเป็นลำดับแรกๆ (first-order reaction) (Onoue *et al.* 2011; Zhu *et al.* 1997) ส่วน แอนโทไซยานินมีการรายงานว่า จะถูกย่อยสลายในอย่างรวดเร็วในลำไส้เล็กที่มีค่า pH เป็นกลาง (McGhie and Walton, 2007)

2.4.3 การดูดซึมสารพฤกษเคมีกลุ่มฟีนอลิกในระบบเซลล์ของลำไส้เล็ก

บนเซลล์พื้นผิวของเยื่อบุผิวขนาดเล็กลำไส้ไม่มีเซลล์รับสารที่เฉพาะเจาะจง (epithelial cells receptors) ในการขนส่ง phenolic สารพฤกษเคมีเข้าสู่เซลล์ ดังนั้นกลไกสำหรับ phenolic สารพฤกษเคมีในการขนส่งข้ามเยื่อบุผิวเป็นไปตามหลักในการดูดซึม ในรูปแบบการแพร่แบบต่างๆ ทั้ง passive diffusion, paracellular และ transcellular diffusions หลังจากการดูดซึม phenolic สารพฤกษเคมีผ่านกระบวนการ active efflux สาร phenolic สารพฤกษเคมีจะถูกดูดซึมเข้าสู่ลูเมน (lumen) ก่อนเข้าสู่กระแสเลือด (ภาพที่ 2.8) ยกตัวอย่างงานวิจัยของ Murota *et al.* (2002) ได้ทดลองการดูดซึมของ genistein, daidzein และ glucoside conjugates การศึกษาการซึมผ่านพบว่า aglycones (โมเลกุลที่ถูกไฮโดรไลซิสจาก glucoside) จะถูกดูดซึมได้ง่ายขึ้น เมื่อเทียบกับการดูดซึมของ conjugates Pro-anthocyanidins ศึกษาการดูดซึมเปิดเผยว่า Pro-anthocyanidin dimers และ Trimers สามารถถูกดูดซึมได้ทั่วเซลล์ monolayer อย่างไรก็ตาม โพลิเมอร์ที่มีระดับขนาดใหญ่ จะสามารถขนส่งผ่าน Caco-2 monolayer ได้ยากเพราะน้ำหนักโมเลกุลขนาดใหญ่ (Ou *et al.* 2012; Stephanie *et al.*, 2001)



ภาพที่ 2.10 รูปแบบการดูดซึมสารพฤกษเคมีกลุ่มฟีนอลิกเข้าสู่เซลล์รูปแบบต่างๆ

ที่มา: Li และคณะ (2015)

2.4.4 ระบบอนุภาคนาโนในการขนส่งสารพฤกษเคมีกลุ่มฟีนอลิก

อนุภาคนาโนสามารถห่อหุ้มสารพฤกษเคมีกลุ่มฟีนอลิกโดยใช้พันธะไฮโดรเจนและแรงไฮโดรโฟบิก ซึ่งสามารถเพิ่มความสามารถในการละลายของสารพฤกษเคมีกลุ่มฟีนอลิก อนุภาคนาโนสามารถป้องกันการสลายตัวของสารพฤกษเคมีระบบทางเดินอาหาร ที่สำคัญอนุภาคนาโน สามารถนำมาถูกดูดซึมโดยตรงขึ้นผ่านเซลล์เยื่อบุผิวในลำไส้เล็กได้ เป็นการเพิ่มประสิทธิภาพการดูดซึมสารพฤกษเคมีได้

2.4.4.1 อนุภาคนาโนช่วยเพิ่มความสามารถในการละลายน้ำของ สารพฤกษเคมีกลุ่มฟีนอลิก

การสร้างอนุภาคนาโน โครงสร้างภายในอนุภาคจะเป็นสารในกลุ่มไฮโดร โฟบิก และบนผิวของอนุภาคจะกระจายตัวด้วยกลุ่มสารที่มีขั้ว (Li and Gu, 2014) ดังนั้นอนุภาคนาโน สามารถคงความเสถียรในระบบการกระจายตัวได้ จากการผลัดกันระหว่างอนุภาคและการเกิดไฮเดรชันของอนุภาคนาโน สารพฤกษเคมีสามารถสามารถเกิดปฏิสัมพันธ์บริเวณ

เอกสารนี้เป็นเอกสารที่สงวนลิขสิทธิ์ไว้เพื่อการศึกษาเท่านั้น เมื่อผู้ใดได้เห็นไปใช้ประโยชน์ทางอื่นโดยไม่ผ่านการอนุมัติจากเจ้าของลิขสิทธิ์ หรือมีการนำข้อมูลไปใช้โดยไม่ได้รับอนุญาตจากเจ้าของลิขสิทธิ์ ถือว่าผิดกฎหมาย

เกิดคุณสมบัติ hydration ที่เหมาะสมทำให้สารพฤษเคมีที่ห่อหุ้มอยู่ในอนุภาคนาโน เกิดสถานะที่เสถียร สามารถช่วยเพิ่มความสามารถในการละลายน้ำของสารพฤษเคมีได้ ยกตัวอย่างเช่น procyanidin ถูกห่อหุ้มด้วย zein อนุภาคนาโนที่ใช้วิธีดีซอลเวชัน และ procyanidinezein ที่เกิดขึ้น อนุภาคนาโน สามารถเพิ่มประสิทธิภาพการละลายน้ำของ procyanidin ได้ อนุภาคนาโน Poly (lactico-glycolic acid) (PLGA), อนุภาคนาโนโคโคซานและอนุภาคนาโนโพรตีนทั้งหมดถูกรายงานว่าการห่อหุ้มเคอคูมินไปเพิ่มความสามารถในการละลายน้ำได้ (Anand *et al.*, 2010)

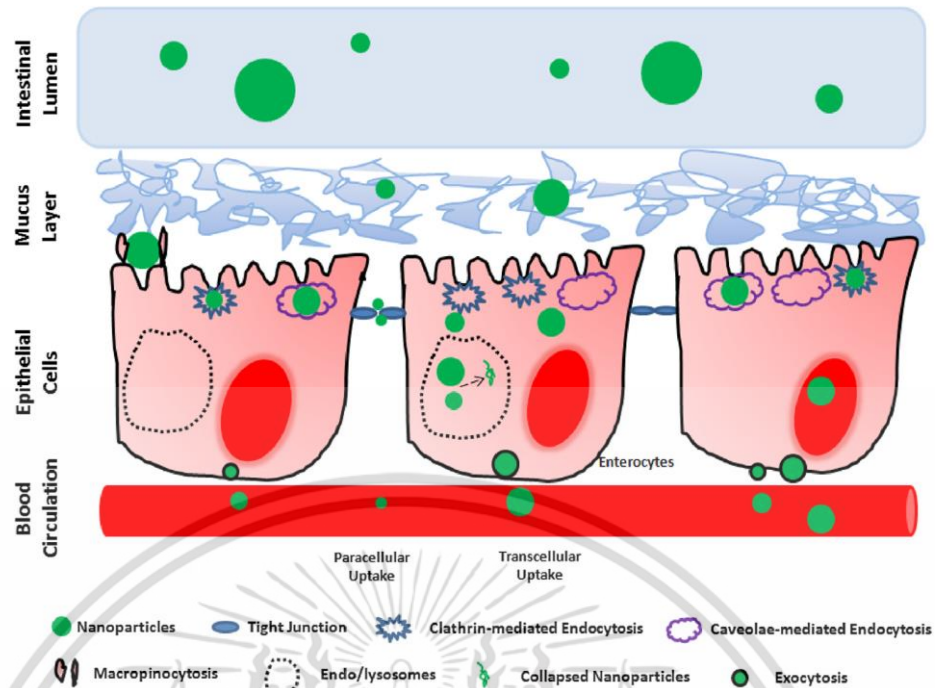
2.4.4.2 อนุภาคนาโนป้องกัน phenolic สารพฤษเคมีกับการย่อยสลายในระบบทางเดินอาหาร

สารพฤษเคมีกลุ่มฟีนอลิกย่อยสลายอย่างรวดเร็วในทั้งสภาพเป็นกรดและเป็นกลางต่ำ (Zhu *et al.*, 1997) แต่หลังจากที่ห่อหุ้มเป็นอนุภาคระดับนาโนความคงตัวของ EGCG ในสภาวะกระเพาะอาหารจำลอง (pH 1.2) สูงเป็น 2 เท่า ของ EGCG อิสระ (Onoue *et al.*, 2011) แสดงให้เห็นว่า EGCG มีความคงตัวสูงมากจากการห่อหุ้มด้วยเซรัมอัลบูมินโพรตีนด้วยพันธะไฮโดรเจนและปฏิสัมพันธ์กับหมู่ไฮโดรโฟบิก โดยกลุ่ม sulfhydryl ในเซรัมอัลบูมินโพรตีน ทำหน้าที่เป็นสารต้านอนุมูลอิสระป้องกันการย่อยสลายสาร EGCG

2.4.4.3 อนุภาคนาโนช่วยเพิ่มการดูดซึมสารพฤษเคมีกลุ่มฟีนอลิกในเซลล์เยื่อ endocytotic ผ่านการดูดซึมของเซลล์

มีงานวิจัยพบว่าอนุภาคนาโน สามารถดูดซึมผ่านเข้าเยื่อผิวของลำไส้เล็กขนส่งด้วยวิธีการ paracellular หรือ transcellular pathway การขนส่งเพิ่มการดูดซึม ห่อหุ้ม phenolic สารพฤษเคมีในทางเดินอาหาร (ภาพที่ 2.9)

Clathrin-mediated endocytosis เป็นการ ห่อหุ้ม โพรตีน ฮอร์โมน สารเมตาบอไลต์ต่างๆ เข้าสู่เซลล์ผ่านรีเซพเตอร์ด้วยการห่อหุ้มด้วยโพรตีน โดยเรียกโพรตีนชนิดนี้ว่า แคลทรีน (Clathrin) ซึ่งขนาดอนุภาคที่สามารถดูดซึมได้คือประมาณ 120 นาโนเมตร (Ogunkoya *et al.*, 2009) นอกจากนี้มีงานวิจัยอื่นพบว่าหากมีขนาดอนุภาคนาโนเฉลี่ยเล็กกว่า 200 นาโนเมตร จะสามารถรักษาความคงตัวของโพรตีนแคลทรีน (Clathrin) ในการดูดซึมสารเข้าสู่เซลล์ได้ (Ehrlich *et al.*, 2004).



ภาพที่ 2.11 การดูดซึมอนุภาคนาโนเข้าสู่เซลล์ลำไส้เล็ก

ที่มา: Li และคณะ (2015)

2.4.4.4 ผลกระทบของพีเอช ไอออน และเอนไซม์ในระบบทางเดินอาหาร ต่อเสถียรภาพอนุภาคนาโน

อนุภาคนาโนหลังจากที่เข้าระบบทางเดินอาหารจะเจอกับสภาวะค่า pH ที่แตกต่างกัน จำนวนไอออนที่เพิ่มมากขึ้น และชนิดเอนไซม์ในระบบย่อยอาหารที่แตกต่างกัน อาจส่งผลกระทบต่อประสิทธิภาพของอนุภาคนาโนได้ สำหรับขนส่ง สารออกฤทธิ์ทางชีวภาพ พีเอชที่มีบทบาทสำคัญที่จะส่งผลกระทบต่อความคงตัวของอนุภาคนาโนในระบบทางเดินอาหาร

ปริมาณของไอออนที่มีอยู่ในระบบทางเดินอาหารส่งผลกระทบต่อสมดุลของพีเอช (เช่น กรดไฮโดรคลอริก โซเดียมไบคาร์บอเนต ฯลฯ), การส่งสัญญาณ (เช่น โซเดียมและโพแทสเซียม) การขนส่งสารอาหาร และ การกระตุ้นการทำงานของเอนไซม์ เพื่อดำเนินกระบวนการย่อยอาหาร ซึ่งเหตุการณ์เหล่านี้จะส่งผลกระทบต่อปฏิสัมพันธ์ระหว่างอนุภาคนาโนและไอออน ทำให้เกิดแรงจากไอออนิกที่เพิ่มขึ้น ส่งผลต่อการเพิ่มขนาดอนุภาคนาโน จากความสามารถในการละลายน้ำลดลง (Bootz *et al.*, 2004)

เอกสารนี้เป็นเอกสารที่สงวนไว้สำหรับการใช้งานเพื่อการศึกษาเท่านั้น ไม่อนุญาตให้นำไปใช้ประโยชน์ด้านการค้าไม่ว่ากรณีใดๆ ทั้งสิ้น อีกทั้งห้ามมิให้ดัดแปลงเนื้อหา และต้องอ้างอิงถึงเจ้าของเอกสารทุกครั้งที่มีการนำไปใช้

อนุภาคนาโนสามารถถูกย่อยจากเอนไซม์ในระบบทางเดินอาหาร Luo et al ได้รายงานว่าการกักเก็บโทโคฟีรอล (tocopherol) ในอนุภาคนาโนโปรตีนเซอีน (zein) โทโคฟีรอล ออกมาอย่างต่อเนื่อง จากสภาวะจำลองของเหลวในกระเพาะอาหารด้วยเอนไซม์เปปซิน และเอนไซม์ในลำไส้เล็กแพนครีเอติน (Luo et al., 2011) Li และคณะ (2011) ได้ศึกษาความคงตัวของวิตามินดี3 จากการห่อหุ้มด้วยอัลจินตในสภาวะจำลองระบบทางเดินอาหารที่ประกอบด้วยเอนไซม์ การสแกนอิเล็กตรอนกล้องจุลทรรศน์ พบว่าขนาดอนุภาคนาโนเพิ่มขึ้นจาก 200 เป็น 500 นาโนเมตร ในจำลองของเหลวในกระเพาะอาหารหลังผ่านไป 0.5 ชั่วโมง และเกิดการรวมตัวของอนุภาคนาโนในลำไส้หลังจากผ่านไป 6 ชั่วโมง (Li et al., 2011)

2.5 งานวิจัยที่เกี่ยวข้อง

วิธีการเตรียมอนุภาคนาโนจากเวย์โปรตีนไอโซเลตด้วยวิธีการดีซอลเวชัน มีงานวิจัยของ Gunasekaran et al., (2006) ทำการศึกษาผลของระดับพีเอชของสารละลายเวย์โปรตีนไอโซเลต ที่มีผลต่อค่า zeta-potential และศึกษาแนวโน้มของขนาดอนุภาคนาโน ในการทดลองได้สังเกตแนวโน้มค่า zeta-potential ของ β -lactoglobulin จากการผลิตอนุภาคนาโนจากเวย์โปรตีนคอนเซนเตรตด้วยวิธีการดีซอลเวชัน โดยใช้อะซิโตนเป็นดีซอลเวตติ้งเอเจนต์ ในการทดลองได้ศึกษาระดับพีเอชของสารละลายเวย์โปรตีนไอโซเลตก่อนการดีซอลเวชัน จาก 3.5 - 9.0 พบว่าค่า zeta-potential มีแนวโน้มลดลงจาก +20 ถึง -40 โดยค่า zeta-potential ของอนุภาคที่จะสามารถแขวนลอยคั่งตัวอยู่ในสารละลายจะอยู่ในช่วง +30 ถึง -30 การที่พีเอชเพิ่มขึ้นและทำให้แนวโน้มค่า zeta-potential ลดลง มีผลมาจากการแลกเปลี่ยนประจุที่พื้นผิว และค่า surface hydrophobicity การทดสอบศึกษาแนวโน้มของ zeta-potential พบว่าที่ pH 9 มีค่า zeta-potential ต่ำสุดที่ -40 โดยคาดการณ์ว่าที่ pH 9 โมเลกุลจะมีการเปลี่ยนแปลงประจุบที่พื้นผิวอนุภาคของ β -lactoglobulin มากที่สุด ในการทดสอบถัดมาจึงได้ทดสอบสารละลายเวย์โปรตีนไอโซเลตที่ pH 9 ร่วมกับนำมาให้ความร้อนอุณหภูมิ 60 องศาเซลเซียส ก่อนเข้าสู่กระบวนการดีซอลเวชัน พบว่าขนาดของอนุภาคนาโนเวย์โปรตีนไอโซเลต 50 ± 4 นาโนเมตร (ปริมาณ 80 %)

ในส่วนถัดมาส่วนสำคัญคือการใช้เทคนิคดีซอลเวชันในการสร้างอนุภาคนาโน ที่ใช้ตัวทำละลายอินทรีย์ ซึ่งเรียกว่า ดีซอลเวตติ้งเอเจน (Desolvating agent) ในการให้เกิดการแตกตัวของประจุของพอลิเมอร์ ทำให้เกิดการเข้าจับโครงสร้างของโครงสร้างไฮโดรโฟบิกที่มีประจุแตกต่าง

เอกสารนี้เป็นเอกสารที่สงวนไว้สำหรับการใช้งานเพื่อการศึกษาเท่านั้น ไม่อนุญาตให้นำไปใช้ประโยชน์ด้านการค้าไม่ว่ากรณีใดๆ ทั้งสิ้น อีกทั้งห้ามมิให้ตัดแปลงเนื้อหา และต้องอ้างอิงถึงเจ้าของเอกสารทุกครั้งที่มีการนำไปใช้

กันด้วยแรงทางไฟฟ้า (electrostatic interaction) ภายใน โมเลกุลพอลิเมอร์เกิดเป็น coacervative wall ซึ่งปริมาณดีซอลเวตติ้งเอเจนต์ที่เติมลงไปจะส่งผลต่อการรวมตัวและขนาดของอนุภาคนาโน

โดยมีงานวิจัยที่ศึกษาปริมาณการเติมดีซอลเวตติ้งเอเจนต์ด้วยวิธีการดีซอลเวชัน หลายงาน อาทิเช่น งานของ Arroyo-Maya *et al.*, 2014 ได้ศึกษาการเตรียมอนุภาคนาโนจาก α -Lactalbumin (เป็นโปรตีนที่ประกอบอยู่ในเวย์โปรตีนประมาณ 20 - 22 เปอร์เซ็นต์) ซึ่งเตรียมด้วยวิธีการดีซอลเวชัน ทำการศึกษาโครงสร้างและความคงตัวในการรวมตัวของอนุภาคโปรตีน โดยใช้สารละลาย α -Lactalbumin ความเข้มข้น 2 เปอร์เซ็นต์ ที่ pH 9 โดยใช้อะซิโตนปริมาณ 4 เท่าต่อสารละลายเวย์โปรตีนเป็นดีซอลเวตติ้งเอเจนต์ ร่วมกับการเติมสารละลายกลูตารัลดีไฮด์ (Glutaraldehyde) ความเข้มข้น 8 เปอร์เซ็นต์ จากผลการทดลองพบว่า วิธีการสามารถสร้างอนุภาคนาโนทรงกลมได้ ซึ่งมีขนาด 100 – 160 นาโนเมตร เกิดจากการเชื่อมต่อกันของ α -Lactalbumin กับ glutaraldehyde จากการเติมอะซิโตน (80% v/v) ลงไป ซึ่งพบว่าอะซิโตนมีส่วนทำให้โครงสร้างโปรตีนเสียหายระดับทุติยภูมิ จนทำให้โครงสร้างพอลิเปปไทด์ของ α -Lactalbumin เกิดการรวมตัวแบบ B-stand และรวมตัวเป็นพอลิเมอร์ของ glutaraldehyde ทำให้สามารถอธิบายถึงการพบ โครงสร้างโปรตีนสายสั้นในอนุภาคนาโน ซึ่งมีความคงตัวมาจากพันธะโควาเลนต์ของโปรตอนจากหมู่คาร์บอกซิล

งานวิจัยของ Gulseren *et al.*, 2012 ได้ทำการศึกษาผลของระดับปริมาณเอทานอล ที่มีผลต่อสภาวะความคงตัวของอนุภาคนาโน จากการผลิตอนุภาคนาโนเวย์โปรตีนไอโซเลตด้วยวิธีการดีซอลเวชันโดยใช้เอทานอล เป็นดีซอลเวตติ้งเอเจนต์ โดยพบว่าการใช้ปริมาณเอทานอล 3-4 เท่าของสารละลายเวย์โปรตีน 5 เปอร์เซ็นต์ ที่ pH 9 แล้วปรับพีเอชการเก็บรักษามาที่ pH 3 เมื่อผ่านการเก็บรักษาเป็นระยะเวลา 96 ชั่วโมง อนุภาคยังมีความคงตัวอยู่ โดยสังเกตจากความเปลี่ยนแปลงจากการเพิ่มขนาดอนุภาคที่น้อยกว่าการใช้ปริมาณเอทานอล 1-2 เท่า ซึ่งเกิดจากโครงสร้างของเบต้ากาแลคโตบูลิน (b-lactoglobulin) เมื่อเพิ่มปริมาณเอทานอลมากขึ้นจะถูกเปลี่ยนแปลงโครงสร้าง โดยไปลดค่าไดอิเล็กทริก (dielectric constant) จนเกิดการแสดงส่วนของ α -helix เพิ่มขึ้นทำให้อนุภาคคงตัวได้มากขึ้น ขนาดอนุภาคโดยเฉลี่ยเมื่อใช้เอทานอล 3-4 เท่ามีขนาด 30 นาโนเมตร

เมื่อมีการพัฒนาในส่วนของการเลือกห่อหุ้มของอนุภาคนาโนเวย์โปรตีนไอโซเลตแล้วได้มีการนำมาประยุกต์ในการกักเก็บสารสำคัญชนิดต่างๆ จึงได้มีการศึกษาอัตราส่วนปริมาณสารสำคัญต่อเวย์โปรตีนไอโซเลต โดยงานวิจัยของ Gulseren และคณะ (2012) มีการศึกษาปริมาณของเอทานอล (1-3 เท่า)ร่วมกับปริมาณไอออนเหล็กที่ใช้ (ความเข้มข้น 5 และ 10 มิลลิโมล)ใน

กระบวนการดีซอลเวชัน จากการผลิตอนุภาคนาโนของไอออนเหล็กในเวย์โปรตีนไอโซเลตด้วย เอกสารนี้เป็นเอกสารที่สงวนไว้สำหรับการใช้งานเพื่อการศึกษาเท่านั้น ไม่อนุญาตให้นำไปใช้ประโยชน์ด้านการค้า ไม่ว่าจะกรณีใดๆ ทั้งสิ้น อีกทั้งห้ามมิให้ตัดแปลงเนื้อหา และต้องอ้างอิงถึงเจ้าของเอกสารทุกครั้งที่มีการนำไปใช้

วิธีการดีซอลเวชัน โดยใช้สภาวะที่ pH 9 และใช้เอทานอลเป็นดีซอลเวตติ้งเอเจนต์ พบว่าปริมาณเอทานอลมีผลต่อเปอร์เซ็นต์ในการเอนแคปซูลเลชันไอออนเหล็ก (เข้มข้น 5 มิลลิโมล) หากมีการเพิ่มปริมาณเอทานอลอยู่ในช่วง 2-3 เท่าของสารละลายเวย์โปรตีน จะมีเปอร์เซ็นต์ในการเอนแคปซูลเลชันถึง 100 เปอร์เซ็นต์ แต่หากใช้ปริมาณเอทานอลจำนวน 1 เท่า เปอร์เซ็นต์ในการเอนแคปซูลเลชันจะอยู่ที่ 80 เปอร์เซ็นต์ โดยมีสาเหตุมาจากการจำนวนไอออนเหล็กจะสูงมากในช่วงที่ยังไม่ได้ทำการดีซอลเวชัน และเมื่อละลายเวย์โปรตีนไว้ร่วมกับอนุภาคไอออนเหล็กก็ไม่เกิดการรวมตัวกัน แต่หากมีการเพิ่มปริมาณเอทานอลขึ้นจะทำให้ไอออนเหล็กลดลง ร่วมกับการลดค่าไดอิเล็กทริกของโปรตีนลง จึงมีประสิทธิภาพในการเอนแคปซูลเลชันมากขึ้น

นอกจากนี้ยังมีในงานวิจัยของ Bagheri และคณะ (2013) ทำการการผลิตอนุภาคนาโนของสารสกัดอินทผลัมในเวย์โปรตีนไอโซเลต ได้ศึกษาปริมาณสารสกัดอินทผลัมที่ใส่ลงไปในกระบวนการดีซอลเวชัน โดยกำหนดปริมาณเอทานอลคงที่ 3 เท่า pH 9 และ อัตราส่วนสารสกัดอินทผลัม:เวย์โปรตีน (core:matrix-from) 1:15 และ 1:20 การที่อัตราส่วน 1:15 มีแนวโน้มให้จำนวนอนุภาคที่ได้ (Particle Yield) และประสิทธิภาพการเอนแคปซูลเลชันที่ต่ำกว่า เนื่องจากหากมีปริมาณสารสกัดอินทผลัมที่มากเกินไป จะส่งผลให้การเชื่อมต่อระหว่างอนุภาคโปรตีนด้วยกัน หรือ ระหว่างอนุภาคโปรตีนกันสารฟีนอลลิกมีแรงที่อ่อนลง การเพิ่มสารสกัดที่มากเกินไป อาจเป็นการเพิ่มปริมาณตะกอนที่เกิดขึ้นแทน

บทที่ 3

อุปกรณ์และวิธีการทดลอง

3.1 วัสดุดิบ

3.1.1 สารสกัดลูทีนจากดอกดาวเรืองในน้ำมันดอกคำฝอย ความเข้มข้นลูทีนร้อยละ 20 (Lutein in safflower oil, 20 %) บริษัท FloraGLO

3.1.2 เวย์โปรตีนไอโซเลต มีโปรตีนร้อยละ 92.79 (Whey protein isolate (WPI) with 92% protein) (Mullins9030) consisting of 92.79% protein, 1.5% fat, 4.7% moisture and 2.8% ash จากบริษัท Mullins Whey (Wisconsin, USA)

3.1.3 เลซิทิน (L- α -Phosphatidylcholine from dried egg yolk, 40%) บริษัท Sigma aldrich

3.1.4 Tween 80 (Food grade) บริษัท Merck

3.2 เครื่องมือและอุปกรณ์

3.2.1 กล้องจุลทรรศน์อิเล็กตรอนแบบสแกน EVO HD Carl Zeiss, France

3.2.2 เครื่องกวนแม่เหล็กไฟฟ้า IKA รุ่น RW 20 digital, Germany

3.2.3 เครื่องเซนตริฟิวส์ Eppendorf รุ่น 5804R, Germany

3.2.4 เครื่องเขย่าควบคุมอุณหภูมิ N-Biotek รุ่น NB-205 VL, Korea

3.2.5 เครื่องชั่ง 4 ตำแหน่ง Sartorius รุ่น CPA3245, Germany

3.2.6 เครื่องวัดความเป็นกรด-ด่าง Inolab PH level1, Germany

3.2.7 เครื่องพีเอชแบบต่อเนื่อง Metrohm รุ่น Riverview, USA

3.2.8 เครื่องวัดการดูดกลืนแสง Shimadzu รุ่น UV-1601 , Japan

3.2.9 เครื่องวัดการกระจายตัวของขนาดอนุภาค NanoPlusTM 3 Particulate , UK).

3.2.10 ตู้อบสุญญากาศ (Vacuum Oven) Heraeus, Germany.

3.2.11 ไมโครปิเปต (Micropipette) Sartorius รุ่น Proline, Germany

3.2.12 อ่างอัลตราโซนิก (Ultrasonic bath) Bosstech รุ่น HBV120S, Germany

3.2.13 เครื่องแก้ว

3.3 สารเคมี

3.3.1 Ammonium nitrate	Merk, Germany
3.3.2 Ethanol 95%	Merk, Germany
3.3.3 Ethanol 99.9%	Merk, Germany
3.3.4 Lactic acid sodium salt	Merk, Germany
3.3.5 Chloroform	RCI Labscan, Ireland
3.3.6 Phosphoric acid	RCI Labscan, Ireland
3.3.7 Potassium dihydrogen phosphate	Carlo Erba Reagent, Italy
3.3.8 Potassium phosphate	Merk, Germany
3.3.9 Potassium chloride	Merk, Germany
3.3.10 Potassium citrate	Carlo Erba Reagent, Italy
3.3.11 Sodium chloride	Carlo Erba Reagent, Italy
3.3.12 Sodium citrate	Merk, Germany
3.3.13 Sodium hydroxide	Carlo Erba Reagent, Italy
3.3.14 Hydrochloric acid 37%	RCI Labscan, Ireland
3.3.15 Urea	Merk, Germany
3.3.16 Porcine gastric Mucin	Sigma-aldrich, Singapore
3.3.17 Uric acid sodium salt	Carlo Erba Reagent, Italy
3.3.18 Pancreatin from porcine pancreas	Sigma-aldrich, Singapore
3.3.19 Pepsin Enzyme	Sigma-aldrich, Singapore
3.3.20 Deionized water	

เอกสารนี้เป็นเอกสารที่สงวนไว้สำหรับการใช้งานเพื่อการศึกษาเท่านั้น ไม่อนุญาตให้นำไปใช้ประโยชน์ด้านการค้า ไม่ว่าจะกรณีใดๆ ทั้งสิ้น อีกทั้งห้ามมิให้ดัดแปลงเนื้อหา และต้องอ้างอิงถึงเจ้าของเอกสารทุกครั้งที่มีการนำไปใช้

3.4 วิธีดำเนินงานวิจัย

3.4.1 วิธีการสร้างอนุภาคนาโนลูทีนในเวย์โปรตีนไอโซเลตแบบแห้ง

3.4.1.1 การเตรียมตัวอย่าง

การทดลองจะทำการศึกษาสภาวะการผลิต 3 ปัจจัย ได้แก่ ระดับพีเอชของสารละลายเวย์โปรตีนไอโซเลต 3 ระดับ (3, 7 และ 9) ปริมาณเอทานอล 3 ระดับ (0.25, 0.50 และ 0.75 เท่าของปริมาตรสารละลายเวย์โปรตีนไอโซเลต) และปริมาณสารสกัดลูทีนต่อปริมาณเวย์โปรตีนไอโซเลต 4 ระดับ (1.25, 2.50, 3.75 และ 5.00 มิลลิกรัมของสารลูทีนต่อ 100 กรัมของเวย์โปรตีนไอโซเลต) ที่มีต่อประสิทธิภาพการห่อหุ้มลูทีนในเวย์โปรตีนไอโซเลต ขนาดอนุภาค ลักษณะทางสัณฐานวิทยา การปลดปล่อยสารลูทีน โดยจำลองระบบการย่อยอาหารในหลอดทดลอง และความคงตัวในสภาวะการเก็บรักษาที่อุณหภูมิต่างๆ วางแผนการทดลองหาประสิทธิภาพการห่อหุ้มสารลูทีนในเวย์โปรตีนไอโซเลตแบบแฟลททอเรียล จากนั้นเลือกตัวอย่างที่มีค่าประสิทธิภาพการห่อหุ้มที่สูงมาศึกษาขนาดอนุภาค ลักษณะทางสัณฐานวิทยา การปลดปล่อยสารลูทีนโดยจำลองระบบการย่อยอาหารในหลอดทดลอง และความคงตัวในสภาวะการเก็บรักษาที่อุณหภูมิต่างๆ โดยทำการทดลอง 3 ซ้ำ แล้วนำผลข้อมูลไปเปรียบเทียบค่าความแตกต่างทางสถิติต่อไป

การเตรียมสารละลายเวย์โปรตีนไอโซเลต

เตรียมสารละลายเวย์โปรตีนไอโซเลตความเข้มข้นร้อยละ 1 (w/w) โดยใช้เวย์โปรตีนไอโซเลตในปริมาณ 5 กรัม ละลายในน้ำปราศจากไอออน 495 มิลลิลิตร ผสมตัวอย่างบนเครื่องกวนแม่เหล็กไฟฟ้าความเร็วรอบ 500 รอบต่อนาที เป็นระยะเวลา 1 ชั่วโมง นำตัวอย่างเก็บเข้าสู่เย็นไว้ 1 คืน เพื่อให้เกิดการไฮเดรตน้ำที่สมบูรณ์ จากนั้นนำสารละลายเวย์โปรตีนไอโซเลตที่เตรียมไว้ มาปรับค่าพีเอช (pH) เป็น 3 ด้วยกรดไฮโดรคลอริก (HCl) ความเข้มข้น 1 นอร์มอล หรือเป็น 7 หรือ 9 ด้วยสารละลายโซเดียมไฮดรอกไซด์ (NaOH) ความเข้มข้น 1 นอร์มอล

การเตรียมสารละลายลูทีน

เตรียมสารละลายลูทีน โดยนำสารสกัดลูทีนไปละลายในเอทานอล 4 ระดับ คือ 2.5, 5.0, 7.5 และ 10.0 มิลลิกรัม ลงในเอทานอลแอนไฮดรัสที่มีปริมาตร 5, 10, 15 มิลลิลิตร แล้วนำส่วนผสมของสารละลายลูทีนในเอทานอลแอนไฮดรัสที่มีความเข้มข้นต่างๆ ไปโซนิเคท (Sonicate) สารละลายด้วยเครื่องโซนิเคท (Sonicator) ที่ 37 kHz 15 นาที เพื่อให้ลูทีนละลายในเอทานอลเป็นเนื้อเดียวกัน

การเตรียมอนุภาคนาโนด้วยวิธีการดีซอลเวชัน

นำสารละลายเวย์โปรตีนไอโซเลตที่เตรียมไว้ในปริมาตร 20 มิลลิลิตร ไปกวนบนเครื่องกวนแม่เหล็กไฟฟ้า ความเร็วรอบ 500 รอบต่อนาที แล้วจึงทำการหยดสารละลายลูทีนในเอทานอลที่เตรียมไว้มาหยดลงในสารละลายเวย์โปรตีนไอโซเลตอย่างช้าๆ โดยใช้อัตราการหยด 1 มิลลิลิตรต่อนาที เพื่อให้มีความเข้มข้นของสารลูทีนต่อเวย์โปรตีนไอโซเลต และปริมาตรเอทานอลในสารละลายเวย์โปรตีนไอโซเลตตามสัดส่วนจำนวนที่ต้องการ จากนั้นทำการคูดตัวอย่าง 5 มิลลิลิตร ลงบนถาดฟอยล์ แล้วนำตัวอย่างไปอบไล่ความชื้นด้วยเครื่องอบแห้งแบบสูญญากาศที่อุณหภูมิ 40 องศาเซลเซียส เป็นระยะเวลา 4 ชั่วโมง จนตัวอย่างแห้ง จากนั้นเก็บตัวอย่างที่ได้ลงในถุงฟอยล์ปิดสนิทในตู้ดูดความชื้นเพื่อรอทำการตรวจสอบต่อไป

3.4.1.2 การวิเคราะห์ตัวอย่าง

การวิเคราะห์ตัวอย่างในการทดลองการสร้างอนุภาคนาโนลูทีนในเวย์โปรตีนไอโซเลตแบบแห้ง แบ่งเป็น 5 ส่วน ดังนี้

- 1.) ศึกษาประสิทธิภาพการห่อหุ้มลูทีน
- 2.) ตรวจสอบลักษณะพื้นฐานวิทยาด้วยกล้องจุลทรรศน์อิเล็กตรอนแบบสแกน
- 3.) ตรวจสอบขนาดอนุภาคด้วยเทคนิคการกระเจิงแสง
- 4.) ตรวจสอบความสามารถปลดปล่อยสารลูทีนโดยจำลองระบบการย่อยอาหาร
- 5.) ตรวจสอบความคงตัวของสารลูทีนในการเก็บรักษาภายใต้สภาวะอุณหภูมิต่างๆ

3.4.2 วิธีการสร้างอนุภาคนาโนลูทีนแบบอิมัลชัน

3.4.2.1 การเตรียมตัวอย่าง

การทดลองจะทำการศึกษาผลของการ สารถดแรงดึงผิวที่มีน้ำหนักโมเลกุลต่ำ (ทวิน 80 และ เลซิทีน) ร่วมกับเวย์โปรตีน ซึ่งเป็น สารถดแรงดึงผิวที่มีน้ำหนักโมเลกุล ต่อประสิทธิภาพการห่อหุ้มลูทีน ขนาดอนุภาคที่เกิดขึ้น การปลดปล่อยสารลูทีนโดยจำลองระบบการย่อยอาหารในหลอดทดลอง และความคงตัวในสภาวะการเก็บรักษาที่อุณหภูมิต่างๆ โดยทำการทดลอง 3 ซ้ำ แล้วนำผลข้อมูลไปเปรียบเทียบค่าความแตกต่างทางสถิติต่อไป

การเตรียมสารละลายเวย์โปรตีนไอโซเลต

เตรียมสารละลายเวย์โปรตีนไอโซเลตความเข้มข้นร้อยละ 0.1 % (w/w) ในน้ำปราศจากไอออน จากนั้นปรับค่าพีเอช (pH) ของสารละลายเป็น 7 ด้วยสารละลายโซเดียมไฮดรอกไซด์ (NaOH) ความเข้มข้น 1 นอร์มอล และกวนที่ 500 รอบต่อนาที ที่อุณหภูมิห้อง เป็นเวลา 30

นาที่ และเก็บไว้ตัวอย่างไว้ที่ 4 องศาเซลเซียส เป็นระยะเวลา 12 ชั่วโมง แล้วกรองสารละลายเวย์โปรตีนไอโซเลตผ่านแผ่นกรอง Whatman No.1 (Whatman, Germany)

การเตรียมสารละลายทวิน 80 และสารละลายเลซิทิน

เตรียมสารละลายทวิน 80 (Tween-80) หรือ เลซิทิน (lecithin) ความเข้มข้นร้อยละ 0.1 (w/w) ในน้ำปราศจากไอออน และทำการกวนสารละลายที่ 500 รอบต่อนาที ที่อุณหภูมิห้องเป็นเวลา 30 นาที

การเตรียมสารละลายลูทีน

เตรียมสารละลายลูทีนความเข้มข้น 0.025 เปอร์เซ็นต์ (w/w) ในเอทานอล จากนั้นทำการโซนิเคต (Sonicate) สารละลายด้วยเครื่องโซนิเคต (Sonicator) ที่ 37 kHz เป็นเวลา 15 นาที

การเตรียมนานอิมัลชันด้วยวิธีชอลเวชัน

นำสารละลายเวย์โปรตีนไอโซเลตที่เตรียมไว้ในปริมาตร 20 มิลลิลิตร ไปกวนบนเครื่องกวนแม่เหล็กไฟฟ้า ความเร็วรอบ 500 รอบต่อนาที แล้วจึงการหยดสารละลายทวิน 80 หรือ เลซิทิน ในปริมาตร 20 มิลลิลิตร ทำการหยดสารละลายลูทีนในเอทานอลที่เตรียมไว้มาหยดลงในสารละลายเวย์โปรตีนไอโซเลต (20 มิลลิลิตร) ด้วยอัตราการหยด 1.0 มิลลิลิตรต่อนาที ซึ่งได้ตัวอย่างลูทีนที่มีการห่อหุ้มด้วยเวย์โปรตีนไอโซเลต, เวย์โปรตีนไอโซเลตร่วมกับทวิน 80 และ เวย์โปรตีนไอโซเลตร่วมกับเลซิทิน ตามลำดับ โดยอัตราส่วนของทวิน 80 และเลซิทินที่ใช้ต่อสารละลายเวย์โปรตีนไอโซเลตจะเท่ากับ 1:1 จากนั้นทำการระเหยเอทานอลออกจากส่วนผสมโดยใช้เครื่องการระเหยแบบสูญญากาศ ที่ระดับอุณหภูมิ 40 องศาเซลเซียส ภายใต้ความดัน 580 psi

3.4.2.2 การวิเคราะห์ตัวอย่าง

การวิเคราะห์ตัวอย่างในการทดลองการสร้างอนุภาคนานอิมัลชันในเวย์โปรตีนไอโซเลตแบบแห้ง แบ่งเป็น 4 ส่วน ดังนี้

- 1.) ศึกษาประสิทธิภาพการห่อหุ้มลูทีน
- 2.) ตรวจสอบขนาดอนุภาคด้วยเทคนิคการกระเจิงแสงแบบพลวัต
- 3.) ตรวจสอบความการปลดปล่อยสารลูทีน โดยจำลองระบบการย่อยอาหาร
- 4.) ตรวจสอบความคงตัวของสารลูทีนในการเก็บรักษาภายใต้สภาวะอุณหภูมิต่างๆ

3.4.3 วิธีการวิเคราะห์ตัวอย่าง

3.2.3.1 การศึกษาประสิทธิภาพการห่อหุ้มลูทีน

สำหรับตัวอย่างแห้ง จะทำการวิเคราะห์ปริมาณสกัดลูทีนอิสระ ทำโดยนำตัวอย่างแห้งมา 0.5 กรัม มากระจายตัวในสารละลายเอทานอลที่มีความเข้มข้นร้อยละ 95 ที่มี

ปริมาตร 5 มิลลิลิตร ทำการกวนตัวอย่างด้วยเครื่องกวนแม่เหล็กไฟฟ้า 30 นาที จากนั้นนำส่วนใส
เอกสารนี้เป็นเอกสารที่สงวนไว้สำหรับการใช้งานเพื่อการศึกษาเท่านั้น เมื่อนุญแต่เห็นาเปไซบระเเยชนดานการควา
ไม่ว่ากรณีใดๆ ทั้งสิ้น อีกทั้งห้ามมิให้ตัดแปลงเนื้อหา และต้องอ้างอิงถึงเจ้าของเอกสารทุกครั้งที่มีการนำไปใช้

ของตัวอย่างที่ได้ไปวัดค่าการดูดกลืนแสงที่ความยาวคลื่น 446 นาโนเมตร (ปรับปรุงวิธีการจาก: Ravanan and Rao, 2010) แล้วเทียบหาปริมาณลูทีนอิสระของตัวอย่างจากกราฟมาตรฐานที่ใช้สารมาตรฐานลูทีนเป็นตัวเปรียบเทียบ โดยในการทำการกราฟมาตรฐานจะให้ความเข้มข้นของสารละลายมาตรฐานลูทีนเป็น 20, 40, 60, 80, 100 และ 120 มิลลิกรัมต่อมิลลิลิตร ในสารละลายเอทานอลที่มีความเข้มข้นร้อยละ 95 แล้วนำตัวอย่างไปวัดค่าการดูดกลืนแสงที่ 446 นาโนเมตร

ทำการคำนวณหาปริมาณสารสกัดลูทีนอิสระที่ปลดปล่อยออก แล้วนำค่าที่ได้มาใช้ในการคำนวณประสิทธิภาพการห่อหุ้มลูทีน ด้วยสมการ

$$\text{ประสิทธิภาพการห่อหุ้ม (ร้อยละ)} = \frac{(\text{ลูทีนทั้งหมดของตัวอย่าง} - \text{ลูทีนอิสระ}) \times 100}{\text{ลูทีนทั้งหมดของตัวอย่าง}}$$

สำหรับตัวอย่างอิมัลชัน จะทำการวิเคราะห์ปริมาณสารสกัดลูทีนอิสระ ทำโดยนำตัวอย่างอิมัลชันมา 20 มิลลิลิตร จากนั้นทำการปั่นเหวี่ยงที่ความเร็วรอบ 10,000 rpm เป็นเวลา 1 ชั่วโมง จากนั้นนำส่วนใสที่ได้มามาสกัดเอาลูทีนออกด้วยตัวทำละลายคลอโรฟอร์ม แล้วจึงนำไปอ่านค่าการดูดกลืนแสงที่ความยาวคลื่น 452 นาโนเมตร จากนั้นทำการเทียบหาปริมาณลูทีนอิสระของตัวอย่างจากกราฟมาตรฐานที่ใช้สารมาตรฐานลูทีนที่ละลายในคลอโรฟอร์มเป็นตัวเปรียบเทียบ แล้วจึงทำการคำนวณหาประสิทธิภาพการห่อหุ้มลูทีนจากสูตรคำนวณข้างต้น

3.4.3.2 การตรวจสอบลักษณะทางสัณฐานวิทยาของอนุภาคลูทีนในเวย์โปรตีนไอโซเลต

นำตัวอย่างแห้งไปทำการเคลือบด้วยทอง จากนั้นนำไปตรวจสอบลักษณะสัณฐานวิทยาของอนุภาคลูทีนในเวย์โปรตีนไอโซเลตด้วยกล้องจุลทรรศน์อิเล็กตรอนทำการส่องกราด

3.4.3.3 การวัดขนาดอนุภาค

นำตัวอย่างไปทำการวัดขนาดโดยเทคนิคการกระเจิงแสงแบบพลวัต ด้วยเครื่อง Particle size analyzer ที่อุณหภูมิการวัด 25 องศาเซลเซียส ลำแสงเลเซอร์ 657 นาโนเมตร มุมตกกระทบ 90 องศา วัดสามครั้ง คำนวณเป็นค่าเฉลี่ยขนาดต่อปริมาตร

(ปรับปรุงวิธีการจาก: Li *et al.*, 2013; Bagheri *et al.*, 2013; Gulseren *et al.*, 2012)

3.4.3.4 การปลดปล่อยสารลูทีนโดยจำลองระบบการย่อยอาหารในหลอดทดลอง

การศึกษาการปลดปล่อยสารลูทีนออกจากตัวห่อหุ้มด้วยการจำลองระบบการย่อยอาหารในหลอดทดลอง จะทำโดยมีการจำลองให้ตัวอย่างถูกส่งผ่านสภาวะจำลองทางเดินอาหารซึ่งประกอบด้วยปาก กระเพาะอาหาร และลำไส้เล็ก (Lopez-Pena *et al.*, 2016) วิธีนี้ใช้กันอย่างแพร่หลายในห้องปฏิบัติการ

การทดลองทำโดยเตรียมตัวอย่างสารละลาย 20 มิลลิลิตร หรือ ตัวอย่างผงแห้ง 3.0 ± 0.5 มิลลิกรัม ในสารละลายน้ำปราศจากไอออน 20 มิลลิลิตร (ตัวอย่างทั้งหมดมีความเข้มข้น 0.15 mg/ml) ทำการกวนตัวอย่างด้วยอัตราเร็ว 100 รอบ/นาที เป็นเวลา 10 นาที

สภาวะการย่อยด้วยน้ำลาย Simulated saliva fluid (SSF) มีส่วนประกอบของ mucin และเกลือต่างๆ (Sarkar *et al.*, 2009) (ดูรายละเอียดสูตรในภาคผนวก ค) นำมาผสมกับสารละลายตัวอย่างในข้างต้นอัตราส่วน 1:1 (v/v) ปรับพีเอชของสารผสมด้วยสารละลายโซเดียมไฮดรอกไซด์ (NaOH) ที่มีความเข้มข้น 0.5 โมลาร์ ให้เป็น pH 6.8 แล้วบ่มที่อุณหภูมิ 37 องศาเซลเซียส เขย่าส่วนผสมอย่างต่อเนื่องที่อัตราเร็ว 100 รอบต่อนาที เป็นระยะเวลา 10 นาที

สภาวะการย่อยด้วยกรดและเอนไซม์ในกระเพาะอาหาร Simulated gastric fluid (SGF) ทำโดยเตรียมเอนไซม์เปปซิน (pepsin) ปริมาณ 3.2 มิลลิกรัมต่อมิลลิลิตร ในสารละลายโซเดียมคลอไรด์ (NaCl) ที่มีความเข้มข้น 0.03 โมลาร์ ปรับพีเอช เป็น 1.2 เพื่อกระตุ้นการทำงานของเอนไซม์โดยใช้กรดไฮโดรคลอริก (HCl) จากนั้นทำการผสมเข้ากับสารละลายตัวอย่างข้างต้นในอัตราส่วน 1:1 ทำการปรับพีเอชของส่วนผสมเป็น 2.5 จากนั้นทำการเขย่าที่อัตราเร็ว 100 รอบต่อนาที ที่อุณหภูมิ 37 องศาเซลเซียส เป็นระยะเวลา 2 ชั่วโมง

สภาวะการย่อยด้วยกรดและเอนไซม์ในลำไส้เล็ก Simulated intestinal fluid (SIF) ทำโดยเตรียมเอนไซม์เพนครีเอติน (pancreatin) ปริมาณ 10 มิลลิกรัมต่อมิลลิลิตร ในสารละลายโมโนโพแทสเซียมฟอสเฟต (KH_2PO_4) (6.7 กรัม/ลิตร) ปรับพีเอช ให้เป็น 7.0 ด้วยสารละลายโซเดียมไฮดรอกไซด์ (NaOH) ที่มีความเข้มข้น 0.2 โมลาร์ จากนั้นสารละลายตัวอย่างมาผสมลงในสภาวะ SGF ในอัตราส่วน 1:1 หลังจากกระบวนการสิ้นสุดระยะเวลา 5 ชั่วโมง ทำการปรับพีเอชของตัวอย่างเป็น 2.5 เพื่อหยุดปฏิกิริยา โดยระหว่างการทำปฏิกิริยาต้องมีการเขย่าส่วนผสมในอัตราเร็ว 100 รอบต่อนาที ที่อุณหภูมิ 37 องศาเซลเซียส โดยจะทำการตรวจติดตามการเปลี่ยนแปลงค่าการปลดปล่อยสารออกฤทธิ์ทางชีวภาพ (Bioaccessibility) และ ค่าการปลดปล่อยกรดไขมันอิสระ (Free fatty acid)

ในการเก็บตัวเพื่อใหเอนไซม์หยุดปฏิกิริยาทำการเก็บตัวอย่างในกล่องน้ำแข็งก่อนการตรวจ Bioaccessibility และ Free Fatty Acid

1.) ค่าการปลดปล่อยสารออกฤทธิ์ทางชีวภาพ (Bioaccessibility)

การตรวจติดตามการเปลี่ยนแปลงค่า Bioaccessibility โดยการเก็บตัวอย่าง ทุกๆ 0, 0.1, 0.5, 1.0, 2.0, 3.0, 4.0 และ 5.0 ชั่วโมง ในปริมาตร 10 มิลลิลิตร มาทำการปั่นเหวี่ยง 18,000 rpm เป็นเวลา 40 นาที จากนั้นทำการดูดตัวอย่างส่วนใสมาในปริมาตร 5 มิลลิลิตร มาผสม ให้เข้ากับคลอโรฟอร์มที่มีปริมาตร 5 มิลลิลิตร แล้วจึงทำการปั่นเหวี่ยงที่ 1400 rpm เป็นเวลา 10 นาที จากนั้นทำการดูดตัวอย่างในส่วนชั้นคลอโรฟอร์ม ไปตรวจความเข้มข้นของสารลูทีนที่ความยาวคลื่น 452 นาโนเมตร จากจากนั้นทำการเทียบหาปริมาณลูทีนอิสระของตัวอย่างจากกราฟมาตรฐานที่ใช้สารมาตรฐานลูทีนที่ละลายในคลอโรฟอร์มเป็นตัวเปรียบเทียบ แล้วจึงคำนวณหาค่า การปลดปล่อยสารออกฤทธิ์ทางชีวภาพ (Bioaccessibility) ด้วยสมการ

$$\text{Bioaccessibility (\%)} = \frac{\text{ความเข้มข้นของลูทีนที่ปลดปล่อยออกมา}}{\text{ความเข้มข้นของลูทีนเริ่มต้น}} \times 100$$

โดย ความเข้มข้นของลูทีนที่ปลดปล่อยออกมา และ ความเข้มข้นของลูทีน เริ่มต้น เป็นค่าความเข้มข้นของลูทีนในชั้น ไมเซลล์ที่ได้จากการวัดค่าและค่าความเข้มข้นของลูทีน ในระบบน้ำย่อยที่ได้จากทางทฤษฎี ตามลำดับ

2.) ค่าการปลดปล่อยกรดไขมันอิสระ (Free fatty acid)

หลังจากเข้าสู่สภาวะจำลองการย่อยด้วยกรดและเอนไซม์ในลำไส้เล็กของ ระบบทางเดินอาหารในหลอดทดลอง จะมีการนำตัวอย่างมาทำการปรับพีเอชให้เป็น 7 โดยการเติมสารละลายโซเดียมไฮดรอกไซด์ (NaOH) ที่มีความเข้มข้น 0.25 โมลาร์ ด้วยเครื่อง pH-stat (Metrohm USA Inc., Riverview, FL) ปริมาตรโซเดียมไฮดรอกไซด์ที่ใช้ไปจะแปรผันตรงกับที่ ปริมาณของกรดไขมันอิสระ (FFA) ที่เพิ่มขึ้นซึ่งจะถูกบันทึกไว้ทุกๆ 30 นาที โดยเปอร์เซ็นต์ของ FFAs ที่ปลดปล่อยออกมาจะถูกคำนวณจากปริมาตรของสารละลายต่างที่นำมาทำให้ตัวอย่างมีค่าพี เอชที่เป็นกลาง

ทำการคำนวณปริมาณกรดไขมันอิสระโดยใช้สมการต่อไปนี้

$$\% \text{FFA} = \frac{100 \times V_{\text{NaOH}} \times m_{\text{NaOH}} \times M_{\text{lipid}}}{W_{\text{lipid}}}$$

โดยที่ V_{NaOH} คือ ปริมาตรโซเดียมไฮดรอกไซด์ที่ใช้ หน่วยเป็นลิตร

m_{NaOH} คือ ความเข้มข้นหน่วย molarity (M) ของสารละลายโซเดียมไฮดรอกไซด์

M_{lipid} คือ น้ำหนักโมเลกุลของน้ำมันดอกคำฝอย (470.691 g/mol)

W_{lipid} คือ น้ำหนักของน้ำมันในระบบการย่อยอาหารเป็นหน่วยกรัม

(ปรับปรุงวิธีการจาก: Liang, *et al.*, 2012; Mun *et al.*, 2016; Yi *et al.* 2012)

เอกสารนี้เป็นเอกสารที่สงวนไว้สำหรับการใช้งานเพื่อการศึกษาเท่านั้น ไม่อนุญาตให้นำไปใช้ประโยชน์ด้านการค้า ไม่ว่ากรณีใดๆ ทั้งสิ้น อีกทั้งห้ามมิให้ตัดแปลงเนื้อหา และต้องอ้างอิงถึงเจ้าของเอกสารทุกครั้งที่มีการนำไปใช้

3.4.3.5 การตรวจสอบความคงตัวของสารลูทีนในการเก็บรักษาภายใต้สภาวะอุณหภูมิ ต่างๆ

การศึกษาสภาวะการเก็บรักษาต่ออัตราการกักเก็บลูทีนในอนุภาคนาโนเก็บรักษา ตัวอย่างในที่มีดที่แตกต่างกัน 3 อุณหภูมิ คือ 4, 25 และ 40 องศาเซลเซียส เป็นระยะเวลา 15 วัน โดยหลังทำการเก็บรักษา ตัวอย่างจะถูกนำมาตรวจสอบปริมาณลูทีนที่หลงเหลือในตัวอย่าง ด้วยการปลดปล่อยลูทีนออกจากตัวห่อหุ้ม โดยนำตัวอย่างอิมัลชันมาปริมาณ 10 มิลลิลิตร หรือเตรียม ตัวอย่างแห้งซึ่งมา 1.5 ± 0.5 มิลลิกรัม ที่กระจายตัวในน้ำปราศจากไอออน 10 มิลลิลิตร มาผสมลงในสารละลาย Phosphate-buffered saline ที่มีความเข้มข้น 0.5 โมลาร์ (ดูรายละเอียดสูตรในภาคผนวก ค) ที่มีปริมาตร 20 มิลลิลิตร จากนั้นเติมส่วนผสมลงในหลอดปั่นเหวี่ยงที่มีขนาด 50 มิลลิลิตร จากนั้นนำไปเขย่าด้วยเครื่องเขย่าด้วยความเร็วรอบที่ 100 รอบต่อนาที ที่อุณหภูมิ 37 องศาเซลเซียส ก่อนนำมาปั่นเหวี่ยงที่ความเร็วรอบ 10,000 รอบต่อนาที เป็นระยะเวลา 1 ชั่วโมง แล้วจึงนำส่วนใสที่ได้มาสกัดด้วยคลอโรฟอร์ม (อัตราส่วน 1:1) นำตัวอย่างที่ได้มาวัดค่าการดูดกลืนแสงที่ความยาวคลื่น 452 นาโนเมตร จากนั้นทำการคำนวณประสิทธิภาพการปลดปล่อย (Releasing efficiency) ลูทีนตามสมการ

$$\text{ประสิทธิภาพการปลดปล่อย (\%RE)} = \frac{\text{ปริมาณลูทีนที่ถูปลดปล่อย} \times 100}{\text{ปริมาณลูทีนเริ่มต้น}}$$

การคำนวณหาประสิทธิภาพการปลดปล่อยของอนุภาค คำนวณจากความเข้มข้นของสารสกัดลูทีนที่เป็นส่วนใสจากสารละลายที่ปลดปล่อยออกมาจากอัตราการกักเก็บลูทีนในอนุภาคนาโนต่อความเข้มข้นของสารสกัดลูทีนทั้งหมดที่เติมในกระบวนการดิซอลเวชัน มาทำการวัดค่าความเข้มข้นของลูทีน

(ปรับปรุงวิธีการจาก: Mun *et al.*, 2016; Sotomayor-Gerding *et al.*, 2016; Yi *et al.*, 2012)

บทที่ 4

ผลการทดลองและวิจารณ์ผล

4.1 การผลิตอนุภาคลูทีนในเวทย์โปรตีนไอโซเลตด้วยวิธีดีซอลเวชันแบบผงแห้ง

4.1.1 ประสิทธิภาพการห่อหุ้มลูทีนในเวทย์โปรตีนไอโซเลต

การวิเคราะห์หาค่าประสิทธิภาพการห่อหุ้มลูทีนในเวทย์โปรตีนไอโซเลต ที่ได้จากการปรับสภาวะการผลิต 3 ปัจจัย ได้แก่ 1.) ระดับพีเอชของสารละลายเวทย์โปรตีนไอโซเลต (3, 7 และ 9) 2) สัดส่วนปริมาณของสารลูทีนต่อเวทย์โปรตีนไอโซเลต (1.25:100, 2.50:100, 3.75:100 และ 5.00:100 (มิลลิกรัม:มิลลิกรัม) และ 3) ปริมาตรของเอทานอลที่ใช้เป็น 0.25, 0.50 และ 0.75 เท่าของปริมาตรสารละลายเวทย์โปรตีนไอโซเลต) พบว่าค่าประสิทธิภาพการห่อหุ้มลูทีนในเวทย์โปรตีนไอโซเลต มีค่าอยู่ในช่วงร้อยละ 47.61 - 91.78 (ตารางที่ 4.1) เมื่อนำค่าประสิทธิภาพการห่อหุ้มลูทีนไปวิเคราะห์ผลทางสถิติด้วย Three Way ANOVA พบว่าทุกปัจจัยการผลิต ได้แก่ ระดับพีเอชของสารละลายเวทย์โปรตีนไอโซเลต สัดส่วนปริมาณของสารลูทีนต่อเวทย์โปรตีนไอโซเลต และ ปริมาตรของเอทานอลที่ใช้ต่อปริมาตรสารละลายเวทย์โปรตีนไอโซเลต มีผลทำให้ค่าประสิทธิภาพการห่อหุ้มลูทีนในอนุภาคเวทย์โปรตีนไอโซเลตแตกต่างกันอย่างมีนัยสำคัญทางสถิติ ($p < 0.05$) และทั้ง 3 ปัจจัยต่างมีอิทธิพลร่วมระหว่างกัน (Interaction) โดยเมื่อนำค่าประสิทธิภาพการห่อหุ้มลูทีนในอนุภาคเวทย์โปรตีนไอโซเลต มาวิเคราะห์แนวโน้มอิทธิพลของแต่ละปัจจัย โดยใช้การวิเคราะห์ Main Effect ทำให้สามารถสรุปอิทธิพลของแต่ละปัจจัยได้ชัดเจนขึ้น

ตารางที่ 4.1 ค่าประสิทธิภาพการห่อหุ้มลูทีนในเวย์โปรตีนไอโซเลต

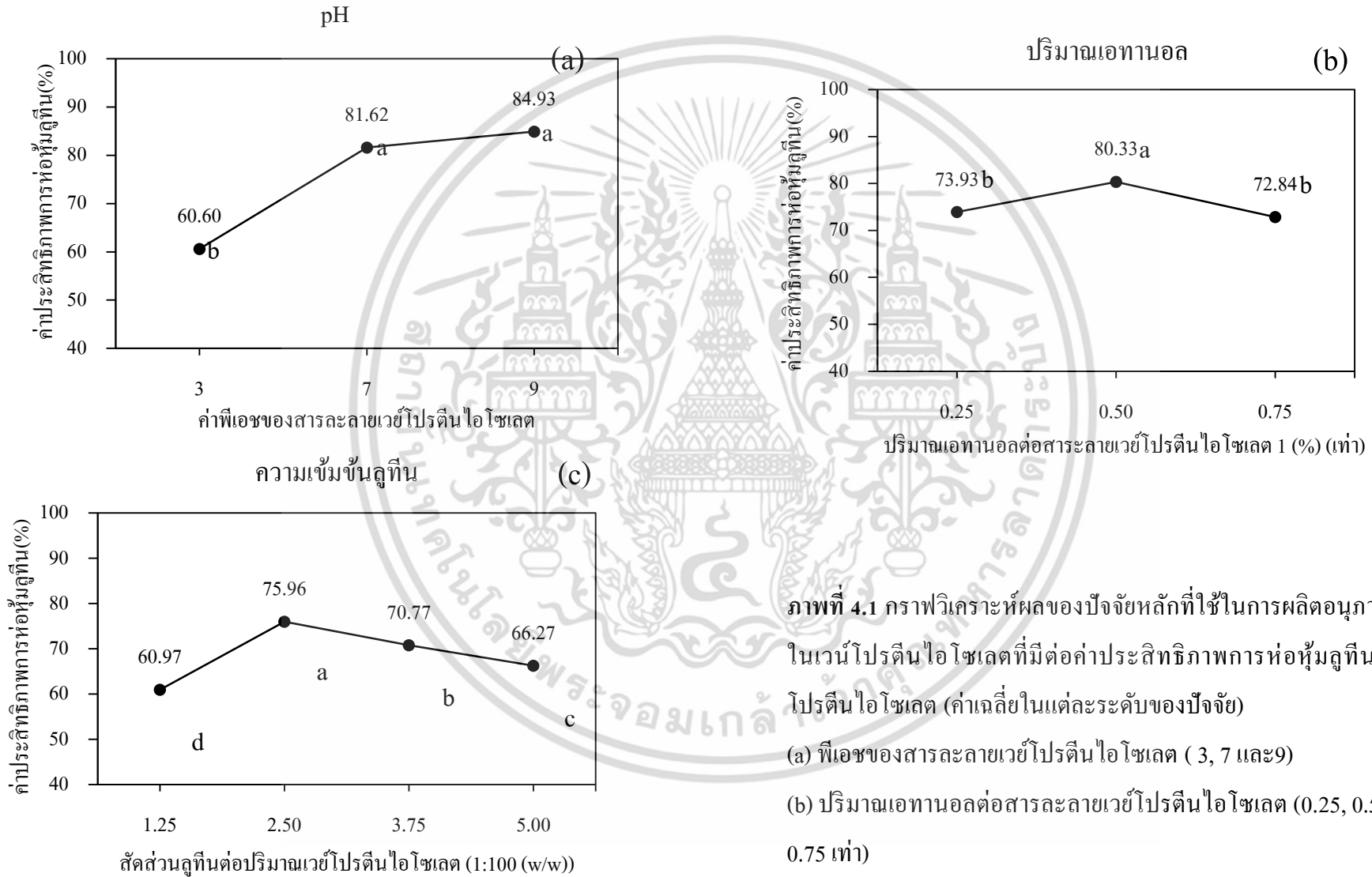
ระดับ pH ของ สารละลายเวย์ โปรตีนไอโซเลต	ปริมาตรของเอทานอล (เท่าของปริมาตร สารละลายเวย์โปรตีน ไอโซเลต)	ประสิทธิภาพการห่อหุ้มลูทีนในเวย์โปรตีนไอโซเลต (ร้อยละ)			
		สัดส่วนปริมาณของสารลูทีนต่อเวย์โปรตีนไอโซเลต			
		1.250:100	2.50:100	3.75:100	5.00:100
3	0.25	51.71±1.08	65.65±2.56	63.82±1.44	62.03±0.44
	0.50	67.82±1.79	72.25±0.46	68.11±0.79	67.09±1.23
	0.75	54.52±0.89	56.68±0.31	49.83±1.62	47.63±1.34
7	0.25	80.10±0.31	79.26±1.25	77.59±0.34	76.33±0.25
	0.50	86.62±0.68	88.51±0.76	83.14±1.35	81.59±0.78
	0.75	81.71±1.98	84.73±1.16	80.76±1.46	79.08±1.06
9	0.25	83.25±0.70	85.31±0.44	82.24±0.81	79.87±0.34
	0.50	87.10±1.45	91.78±2.36	85.33±0.58	84.70±0.16
	0.75	84.72±1.52	85.44±1.18	84.73±1.62	84.33±0.22

ตารางที่ 4.2 ผลการวิเคราะห์ค่าประสิทธิภาพการห่อหุ้มลูทีนในอนุภาคเวย์โปรตีนไอโซเลตใน
รูปแบบตาราง ANOVA

Source	Type III Sum of Squares	df	Mean Square	F	Sig.
Corrected Model	14897.075 ^a	35	425.631	302.428	.000
Intercept	627877.576	1	627877.576	4.461E5	.000
pH	11883.020	2	5941.510	4.222E3	.000
Ethanol	1388.907	2	694.453	493.438	.000
Lutein	371.116	3	123.705	87.898	.000
pH * Ethanol	1070.346	4	267.586	190.131	.000
pH * Lutein	30.907	6	5.151	3.660	.003
Ethanol * Lutein	54.293	6	9.049	6.430	.000
pH * Ethanol * Lutein	98.487	12	8.207	5.832	.000
Error	101.331	72	1.407		
Total	642875.982	108			
Corrected Total	14998.406	107			

a. R Squared = .993

เอกสารนี้เป็นเอกสารที่สงวนไว้สำหรับการใช้งานเพื่อการศึกษาเท่านั้น ไม่อนุญาตให้นำไปใช้ประโยชน์ด้านการค้า
ไม่ว่ากรณีใดๆ ทั้งสิ้น อีกทั้งห้ามมิให้ตัดแปลงเนื้อหา และต้องอ้างอิงถึงเจ้าของเอกสารทุกครั้งที่มีการนำไปใช้



ภาพที่ 4.1 กราฟวิเคราะห์ผลของปัจจัยหลักที่ใช้ในการผลิตอนุภาคลูทินในเวย์โปรตีนไอโซเลตที่มีต่อค่าประสิทธิภาพการห่อหุ้มลูทินในเวย์โปรตีนไอโซเลต (ค่าเฉลี่ยในแต่ละระดับของปัจจัย)

(a) พีเอชของสารละลายเวย์โปรตีน ไอโซเลต (3, 7 และ9)

(b) ปริมาณเอทานอลต่อสารละลายเวย์โปรตีนไอโซเลต (0.25, 0.50 และ 0.75 เท่า)

(c) สัดส่วนปริมาณลูทินต่อเวย์โปรตีน ไอโซเลต (1.25:100, 2.50:100, 3.75:100 และ 5.00:100)

4.1.1.1 ผลของระดับพีเอชของสารละลายเวย์โปรตีนไอโซเลตต่อประสิทธิภาพการห่อหุ้มลูทีนในเวย์โปรตีนไอโซเลต

ระดับพีเอช (pH) ส่งผลโดยตรงต่อโครงสร้างของโปรตีน ซึ่งจะไปมีผลต่อการรวมตัวและการห่อหุ้มลูทีน โดยโปรตีน ผลจากการทดลองที่แสดงดังตารางที่ 4.1 พบว่าค่าประสิทธิภาพการห่อหุ้มลูทีนในเวย์โปรตีนไอโซเลตของผลิตภัณฑ์แห่งที่ได้จากการสภาวะการผลิตโดยใช้สารละลายเวย์โปรตีนไอโซเลตที่มีระดับ pH 3, 7 และ 9 มีค่าอยู่ในช่วง 47.63 – 72.25, 76.33 – 88.51 และ 79.87 – 91.78 ตามลำดับ โดยเมื่อพิจารณาผลค่าเฉลี่ยประสิทธิภาพการห่อหุ้มลูทีนในเวย์โปรตีนไอโซเลตของแต่ละระดับปัจจัยจากกราฟ Main Effect (ภาพที่ 4.1 (a)) พบว่าเมื่อระดับพีเอช (pH) ของสารละลายเวย์โปรตีนไอโซเลตมีค่าสูงขึ้น ค่าเฉลี่ยของประสิทธิภาพการห่อหุ้มลูทีนในเวย์โปรตีนไอโซเลตมีแนวโน้มที่สูงขึ้น โดยการเตรียมสารละลายเวย์โปรตีนไอโซเลตที่ระดับ pH 3, 7 และ 9 จะทำให้ได้ค่าเฉลี่ยประสิทธิภาพการห่อหุ้มลูทีนอยู่ที่ร้อยละ 60.60, 81.62 และ 84.93 ตามลำดับ ผลจากการทดลองทำให้สามารถสรุปแนวโน้มผลของ pH ของสารละลายเวย์โปรตีนไอโซเลตต่อค่าประสิทธิภาพการห่อหุ้มลูทีนในเวย์โปรตีนไอโซเลตได้ โดยที่ประสิทธิภาพการห่อหุ้มลูทีนในเวย์โปรตีนไอโซเลตจะมีค่าสูงที่สุด เมื่อทำการเตรียมผลิตภัณฑ์โดยใช้สารละลายเวย์โปรตีนไอโซเลตที่มีค่าที่ pH 9 รองลงมาคือการใช้ pH ที่ระดับ 7 และ 3 ตามลำดับ

จากการศึกษาของ Zhang และคณะ (2013) ที่ได้ศึกษาอิทธิพลของระดับพีเอช (pH 3–pH 10) ที่ส่งผลต่อการรวมตัวระหว่างเบต้าแลคโตกลอบบูลิน (องค์ประกอบหลักในเวย์โปรตีน) กับสารบีซิน (Bixin) ซึ่งเป็นสารแคโรทีนอยด์จากดอกคำเสดที่มีความเป็นไฮโดรโฟบิกสูง พบว่าสารละลายเบต้าแลคโตกลอบบูลิน ที่ได้จากการเตรียมโดยใช้ pH 10 สามารถเข้าจับกับสารบีซินที่มีความเข้มข้นที่สูงที่สุดได้ และได้อธิบายผลของพีเอชที่มีต่อโครงสร้างเบต้าแลคโตกลอบบูลิน ไว้ว่าจากการที่พีเอชของสารละลายเบต้าแลคโตกลอบบูลินสูงขึ้น จะไปส่งผลให้เกิดการคลายตัวของโครงสร้างโปรตีนในระดับที่สูงขึ้น ทำให้โปรตีนเผยส่วนที่เป็นไฮโดรโฟบิกออกมาเพิ่มมากขึ้น (แรงไฮโดรโฟบิกภายในโครงสร้างเวย์โปรตีนมาจากกรดอะมิโนไทโรซีนและทริปโตเฟน ซึ่งมีลักษณะเป็นกรดอะมิโนที่มีลักษณะไฮโดรโฟบิกเพราะมีหมู่อะโรมาติก ซึ่งมีอยู่บริเวณตำแหน่ง alpha-helix และบริเวณพื้นผิวของ beta-barrel ซึ่งเป็นบริเวณพื้นที่ของเบต้าแลคโตกลอบบูลินที่ใช้ในการเข้าจับกับสารชนิดอื่นที่มีลักษณะเป็นไฮโดรโฟบิก) อาจทำให้มีบริเวณพื้นที่เข้าจับกับสารที่

มีลักษณะเป็นไฮโดรโฟบิกได้มากยิ่งขึ้น ส่งผลต่อประสิทธิภาพการห่อหุ้มสารที่มีสมบัติเป็นไฮโดรโฟบิกที่เพิ่มมากขึ้น

การคลายสายของโครงสร้างเบต้าแลคโตกลอบูลิน มีผลมาจากระดับ pH ของระบบที่ห่างจากค่า Isoelectric point (pI) ของโปรตีน จะไปส่งผลทำให้โมเลกุลโปรตีนเกิดแรงผลักทางไฟฟ้า (electrostatic repulsion) ภายในสายโครงสร้างโปรตีน โดย pH จะไปส่งผลต่อการเปลี่ยนแปลงระดับประจุที่ล้อมรอบของกรดอะมิโนของเวย์โปรตีนไอโซเลต โดยพบว่าที่ pH 3 โครงสร้างประจุโดยรวมจะเป็นบวกผลึกกันมาก เหมือนใน pH 9 ที่มีประจุโดยรวมจะเป็นลบผลึกกันมาก (Li and McClements, 2013) ซึ่งอาจส่งผลต่อระดับการคลายสายของเบต้าแลคโตกลอบูลินที่สูง แต่เนื่องจากโครงสร้างเบต้าแลคโตกลอบูลินมีความทนต่อการเสียสภาพของโครงสร้างโปรตีนในสภาวะกรด (pH 3) แต่สามารถเสียสภาพและคลายโครงสร้างโปรตีนได้ง่ายในสภาวะด่าง (pH 9) ที่อุณหภูมิห้อง (McKenzie and Sawyer, 1967) ซึ่งอธิบายความแตกต่างของ pH 3 และ pH 9 ได้จากการทดลองของ Monahan และคณะ (1995) ที่ตรวจสอบหาอุณหภูมิความร้อนที่ทำให้โครงสร้างเบต้าแลคโตบูลินเสียสภาพจาก DSC ที่ pH 3.0, 6.0, 9.0 และ 10.0 พบว่าที่ pH 3 ต้องใช้อุณหภูมิสูงสุด แสดงให้เห็นถึงความต้านทานต่อการเสียสภาพโครงสร้างเบต้าแลคโตกลอบูลินในสภาวะ pH กรดได้สูงสุด ซึ่งส่งผลต่อการเสียสภาพโปรตีนทำให้เกิดระดับการคลายสายโครงสร้างเบต้าแลคโตกลอบูลินใน pH 3 ที่ต่ำกว่า (บริเวณพันธะไดซัลไฟด์ที่มีความคงตัวสูง จึงเกิดการคลายสายโครงสร้างโปรตีนต่ำ แสดงบริเวณไฮโดรโฟบิกได้น้อย) ซึ่งน่าจะเป็นเหตุผลที่ทำให้ประสิทธิภาพการห่อหุ้มลูทีนในเวย์โปรตีนไอโซเลตที่เตรียมในสภาวะ pH ระดับ 3 มีค่าต่ำ

Monahan และคณะ (1995) ได้อธิบายไว้ว่าที่ pH 9 โครงสร้างเบต้าแลคโตกลอบูลินจะเกิดการเสียสภาพที่อุณหภูมิห้อง ซึ่งเกิดจากการถูกดึงโปรตอน (deprotonation) ออกจากบริเวณหมู่ซัลไฮดริลของโครงสร้างโปรตีน ทำให้สามารถเกิดการคลายสายของโครงสร้างโปรตีนในบริเวณพันธะไดซัลไฟด์ของ pH 9 มีระดับที่สูง โดย Dufour, Genot and Haertlé (1994) พบว่าโครงสร้างของเบต้าแลคโตกลอบูลิน ที่ระดับด่าง (pH 8) จะแสดงกรดอะมิโนไทโรซีน (tyrosine) ที่มีลักษณะเป็นไฮโดรโฟบิกเพิ่มขึ้นเช่นเดียวกัน และเป็นช่วงที่สายโครงสร้างโปรตีนเกิดการคลายสายมากกว่า 80 % ขึ้นไป ซึ่งน่าจะเป็นเหตุผลที่ทำให้ประสิทธิภาพการห่อหุ้มลูทีนด้วยเวย์โปรตีนมีค่าสูงในสภาวะที่เป็นด่าง (pH 7 และ pH 9) ซึ่งให้ค่าประสิทธิภาพการห่อหุ้มลูทีนส่วนใหญ่สูงมากกว่าร้อยละ 80

4.1.1.2 ผลของปริมาณเอทานอลที่เติมลงในสารละลายเวย์โปรตีนไอโซเลตต่อประสิทธิภาพการห่อหุ้มลูทีนในเวย์โปรตีนไอโซเลต

เอทานอลที่เติมลงไปในการละลายเวย์โปรตีนไอโซเลต จะส่งผลให้สภาพการละลายของโมเลกุลเวย์โปรตีนไอโซเลตในตัวทำละลายเปลี่ยนไป ซึ่งปริมาณของเอทานอลที่แตกต่างกันน่าจะมีผลไปกระตุ้นการรวมตัวของโปรตีนและสารสำคัญในระดับที่แตกต่างกันไป ซึ่งจะส่งผลกระทบต่อประสิทธิภาพการห่อหุ้มลูทีนในเวย์โปรตีนไอโซเลต ผลการทดลองจากตารางที่ 4.1 พบว่าประสิทธิภาพการห่อหุ้มลูทีนในเวย์โปรตีนไอโซเลตของผลิตภัณฑ์แห่งที่ได้จากการสภาวะการผลิต ที่มีการเติมเอทานอลลงในสารละลายเวย์โปรตีนไอโซเลตในปริมาณ 0.25, 0.5 และ 0.75 เท่า มีค่าอยู่ในช่วง 51.71 – 85.31, 67.09 – 91.78 และ 47.63 – 85.44 ตามลำดับ โดยเมื่อพิจารณาผลค่าเฉลี่ยประสิทธิภาพการห่อหุ้มลูทีนในเวย์โปรตีนไอโซเลตของแต่ละระดับในปัจจัยจากกราฟ Main Effect (ภาพที่ 4.1 (b)) พบว่า การเติมเอทานอลในปริมาณ 0.50 เท่าของสารละลายเวย์โปรตีนไอโซเลตจะทำให้ค่าเฉลี่ยประสิทธิภาพการห่อหุ้มลูทีนในเวย์โปรตีนไอโซเลตมีค่าสูงที่สุดอยู่ที่ร้อยละ 80.33 โดยการเติมเอทานอลในปริมาณที่น้อยลงมาที่ระดับ 0.25 เท่า และการเติมเอทานอลในปริมาณที่เพิ่มมากขึ้นที่ระดับ 0.75 เท่า จะส่งผลให้ค่าเฉลี่ยประสิทธิภาพการห่อหุ้มลูทีนในเวย์โปรตีนไอโซเลตมีค่าต่ำลงมาอยู่ที่ร้อยละ 79.93 และ 72.84 ตามลำดับ ผลการทดลองนี้ มีแนวโน้มไปในทิศทางเดียวกับผลการทดลองของ Gulseren และคณะ (2012) ที่ได้ทำการศึกษาการเอนแคปซูลเลททอนูภาคไอออนเหล็กในเวย์โปรตีนไอโซเลตที่มีความเข้มข้นร้อยละ 5 (w/w) ด้วยวิธีการดีซอลเวชัน ซึ่งในการทดลองได้มีทดสอบผลของการเติมเอทานอลในปริมาณที่แตกต่างกัน (0 – 4 เท่า) ลงในสารละลายเวย์โปรตีนไอโซเลต ต่อค่าประสิทธิภาพการห่อหุ้มไอออนเหล็กในเวย์โปรตีน ซึ่งผลการทดลองพบว่า การเติมเอทานอลในปริมาณ 3 เท่า จะให้ค่าประสิทธิภาพการห่อหุ้มไอออนเหล็กในเวย์โปรตีนมากกว่าการเติมเอทานอลในปริมาณ 4 เท่า ทั้งนี้จุดสมดุลในการใช้ปริมาณเอทานอลจะขึ้นอยู่กับลักษณะโครงสร้างของโปรตีน และแรงของภายในโครงสร้าง

Mousavi *et al.* (2008) ได้ศึกษาผลของปริมาณเอทานอล (ร้อยละ 0 – 50) ที่มีต่อการเปลี่ยนแปลงบริเวณพื้นที่เข้าจับ (Ligand binding) ของเรตินอลกับโปรตีนเบต้าแลคโตกลูบูลิน ซึ่งจากการตรวจสอบด้วย Fluorescence measurements พบว่าปริมาณเอทานอลที่ส่งผลให้เกิดปฏิสัมพันธ์ในการเข้าจับของเรตินอลกับเบต้าแลคโตกลูบูลินที่สูงที่สุด คือปริมาณเอทานอลร้อยละ

20 โดยการเติมตัวทำละลายอินทรีย์ ยกตัวอย่างเช่น เอทานอล ที่มีลักษณะเป็นแอมฟิโพรติก เอกสารนี้เป็นเอกสารที่สงวนไว้สำหรับการใช้งานเพื่อการศึกษาเท่านั้น ไม่อนุญาตให้นำไปเผยแพร่โดยไม่ได้รับอนุญาต
ไม่ว่ากรณีใดๆ ทั้งสิ้น อีกทั้งห้ามมิให้ตัดแปลงเนื้อหา และต้องอ้างอิงถึงเจ้าของเอกสารทุกครั้งที่มีการนำไปใช้

(amphiprotic solvent) ที่สามารถทำพันธะไฮโดรเจนกับน้ำได้จะทำให้เกิดการดึงน้ำจากโครงสร้างโปรตีน ทำให้โครงสร้างโปรตีนต้องมีการรักษาสมดุลด้วยพันธะไฮโดรเจนและแรงไฮโดรโฟบิกภายในโครงสร้าง ส่งผลต่อการเปลี่ยนแปลงแรงอิเล็กโตรสแตติก (electrostatic charges) และสภาพขั้ว (dipolar moments) บนโมเลกุลโปรตีน ทำให้โครงสร้างโปรตีนที่ถูกดึงน้ำออก ทำให้เกิดการเผยส่วนของไฮโดรโฟบิกที่อยู่ภายในโครงสร้างโปรตีนออกมา (Futterman and Heller, 1972) เหนี่ยวนำให้เกิดการรวมตัวของเรตินอลกับเบต้าแคโรทีน (Mousavi *et al.*, 2008) โดยในการทดลองของ Mousavi และคณะ (2008) พบว่าการเติมเอทานอลในปริมาณร้อยละ 40 จะพบการปล่อยเรตินอลออกมาสูงมาก และทริปโตเฟน (ส่วนไฮโดรโฟบิก) ก็ไม่ปรากฏในโครงสร้างของโปรตีน

4.1.1.3 ผลของอัตราส่วนปริมาณลูทีนต่อปริมาณเวย์โปรตีนไอโซเลตที่มีต่อประสิทธิภาพการห่อหุ้มลูทีนในเวย์โปรตีนไอโซเลต

จากตารางที่ 4.1 พบว่าประสิทธิภาพการห่อหุ้มลูทีนในเวย์โปรตีนไอโซเลตของผลิตภัณฑ์แห่งที่ได้จากการสภาวะการผลิตที่ใช้อัตราส่วนปริมาณลูทีนต่อปริมาณเวย์โปรตีนไอโซเลตที่แตกต่างกัน ได้แก่ 1.25:100, 2.50:100, 3.75:100 และ 5.00:100 (มิลลิกรัม:มิลลิกรัม) มีค่าอยู่ในช่วง 51.71 – 87.10, 56.68 – 91.78, 49.83 – 85.33 และ 47.63 – 84.70 ตามลำดับ เมื่อพิจารณาจากกราฟวิเคราะห์ปัจจัยหลัก (ภาพที่ 4.1 (c)) พบว่าผลค่าเฉลี่ยประสิทธิภาพการห่อหุ้มลูทีนในเวย์โปรตีนไอโซเลตของสภาวะการผลิตที่ใช้อัตราส่วนปริมาณลูทีนต่อปริมาณเวย์โปรตีนไอโซเลตที่ 1.25:100, 2.50:100, 3.75:100 และ 5.00:100 (มิลลิกรัม:มิลลิกรัม) มีค่า 60.97, 75.97, 70.77 และ 66.27 ตามลำดับ โดยพบว่าอัตราส่วนความเข้มข้นของลูทีนต่อเวย์โปรตีนไอโซเลตที่ให้ประสิทธิภาพการห่อหุ้มสูงที่สุด อยู่ที่ความเข้มข้นของลูทีนต่อปริมาณเวย์โปรตีนไอโซเลตระดับ 0.25:100 โดยเมื่อลดหรือเพิ่มความเข้มข้นที่มากเกินไป จะส่งผลให้ประสิทธิภาพการเอนแคปซูลชันมีค่าลดลง ซึ่งผลจากงานวิจัยนี้สอดคล้องกับผลงานวิจัยของ Bagheri และคณะ (2013) ที่ได้ทำการศึกษาการเอนแคปซูลเลทสารสกัดอินทผลัมในเวย์โปรตีนไอโซเลตด้วยกระบวนการตีชอลเวชัน และมีการศึกษาอัตราส่วนระหว่างสารสกัดอินทผลัมกับโปรตีนที่ใช้ต่อประสิทธิภาพการห่อหุ้มสารสกัด ซึ่งพบว่าประสิทธิภาพการห่อหุ้มสารสกัดจะมีค่าที่สูง เมื่อสัดส่วนของเวย์โปรตีนไอโซเลตและสารสกัดอินทผลัมมีค่าเท่ากับ 1:20 แต่ประสิทธิภาพการห่อหุ้มจะลดต่ำลงเมื่อสัดส่วนความเข้มข้นของสารสกัดอินทผลัมมีค่าเพิ่มขึ้น และในงานวิจัยของ Guo และคณะ (2017)

ที่ได้ทำการศึกษาการผลิตอนุภาคนาโนของคาเฟอีนในเบต้าแลคโตกลูบูลิน โดยได้ค่าเอกสารนี้เป็นเอกสารที่สงวนไว้สำหรับการใช้งานเพื่อการศึกษาเท่านั้น ไม่นิยมนำไปใช้ประโยชน์ด้านการค้า ไม่ว่าจะกรณีใดๆ ทั้งสิ้น อีกทั้งห้ามมิให้ตัดแปลงเนื้อหา และต้องอ้างอิงถึงเจ้าของเอกสารทุกครั้งที่มีการนำไปใช้

ประสิทธิภาพการห่อหุ้มคาเฟอีนสูงสุดอยู่ที่ร้อยละ 13.54 ด้วยอัตราส่วน โมลของคาเฟอีนต่อเบต้าแลคโตกลูบูลินที่ 50:1 ซึ่งเป็นค่าระดับกลางที่ใช้ในการทดลอง แต่เมื่อเพิ่มความเข้มข้นของคาเฟอีนกลับจะทำให้ค่าประสิทธิภาพการห่อหุ้มคาเฟอีนลดลงเช่นเดียวกัน โดยงานวิจัยของ Zou และคณะ (2012) การโพลดสารสกัดภายในมากเกินไป อาจทำให้ประสิทธิภาพการเอนแคปซูลเลชันลดลง อย่างไรก็ตามหากอัตราส่วนสารสำคัญต่อเวย์โปรตีนมีปริมาณน้อยเกินไป อาจเกิด over loading ของโปรตีน ซึ่งจะส่งเสริมให้เกิดการรวมตัวกันของโปรตีนกันเองมากกว่าที่จะมารวมตัวกันเป็นอนุภาคเอนแคปซูลเลชัน

สรุปผลการทดลอง ผลของสภาวะการผลิตต่างๆ ต่อค่าประสิทธิภาพการห่อหุ้มลูทีนในเวย์โปรตีนไอโซเลต พบว่าค่าประสิทธิภาพการห่อหุ้มลูทีนในเวย์โปรตีนไอโซเลตที่ค่าสูงสุดที่สภาวะการผลิต pH 9 มี ที่สัดส่วนปริมาณของลูทีนต่อเวย์โปรตีนไอโซเลตที่ 2.50:100 และการเติมเอทานอลในปริมาตร 0.50 เท่า ของสารละลายเวย์โปรตีนไอโซเลต ซึ่งเป็นสภาวะที่ดีที่สุดของแต่ละกระบวนการผลิต

4.2.2 ลักษณะทางสัณฐานวิทยาของลูทีนในเวย์โปรตีนไอโซเลต

ขนาดของอนุภาคและลักษณะทางกายภาพจะมีส่งต่อการขนส่งและการกระจายตัวของสารออกฤทธิ์ทางชีวภาพอย่างลูทีน ผลจากการตรวจสอบลักษณะทางกายภาพของผลิตภัณฑ์แห้งของเวย์โปรตีนไอโซเลตในการกักเก็บลูทีน โดยกล้องจุลทรรศน์อิเล็กตรอนแบบส่องกราดแสดงดังภาพที่ 4.2 โดยมีภาพถ่ายสารละลายของอนุภาคนาโนลูทีนในเวย์โปรตีนไอโซเลตจากสภาวะการผลิตต่างๆ แสดงดังภาพที่ 4.3 และขนาดของอนุภาค แสดงในตารางที่ 4.4 ซึ่งผลของแต่ละปัจจัยการผลิตที่มีต่อลักษณะทางสัณฐานวิทยาและขนาดของอนุภาคที่เกิดขึ้น มีดังนี้

4.2.2.1 ผลของพีเอชของสารละลายเวย์โปรตีนไอโซเลตต่อลักษณะทางสัณฐานวิทยาของลูทีนในเวย์โปรตีนไอโซเลต

จากภาพถ่ายของอนุภาคลูทีนในเวย์โปรตีนไอโซเลตจากกล้องจุลทรรศน์อิเล็กตรอนแบบส่องกราด (ภาพที่ 4.2 (a)) พบว่า อนุภาคที่เกิดขึ้นจากการสภาวะการผลิตที่ใช้สารละลายเวย์โปรตีนไอโซเลตที่ pH 9 มีขนาดเล็กมากที่สุด ลักษณะของอนุภาคมีลักษณะเป็นทรงกลมมีขนาดค่อนข้างเล็กสม่ำเสมอ เรียงต่อกัน ซึ่งเป็น pH ที่มีค่าห่างจากค่า pI ของเวย์โปรตีนมากที่สุด และพบอนุภาคที่มีขนาดใหญ่มากขึ้น ที่ pH 7 และ pH 3 โดยอนุภาคที่ได้จากการผลิตด้วย pH 7 มีลักษณะที่ค่อนข้างเล็กกว่าและเป็นทรงกลมมากกว่า เมื่อเทียบกับอนุภาคที่ได้จาก pH 3 และเมื่อเปรียบเทียบขนาดอนุภาคที่ได้จากการวัดด้วยเครื่อง Particle sizer พบว่าอนุภาคลูทีนในเวย์โปรตีนไอโซเลตที่เตรียมได้จากสารละลายเวย์โปรตีนที่ระดับ pH 3, 7 และ 9 มีขนาดอนุภาคเฉลี่ยเป็น 548.7, 432.2 และ 198.2 นาโนเมตร ตามลำดับ

การปรับค่า pH ของสารละลายเวย์โปรตีนไอโซเลต จะส่งผลกระทบต่อขนาดอนุภาคและลักษณะทางกายภาพของโปรตีนได้ เนื่องจากการปรับค่า pH จะสามารถทำให้โมเลกุลของโปรตีนเกิดการเปลี่ยนแปลงประจุ ซึ่งอาจส่งผลให้โมเลกุลโปรตีนเกิดแรงดึงดูดกัน (electrostatic attraction) หรือเกิดการผลักกัน (electrostatic repulsion) ได้ ซึ่งการรวมตัวโมเลกุลของเวย์โปรตีนโดยการปรับพีเอชเป็นตัวแปรสำคัญในการควบคุมขนาดหรือการรวมตัวของโมเลกุลเวย์โปรตีนในขณะคิซอลเวชัน โดยเวย์โปรตีนมีค่า Isoelectric point (pI) อยู่ที่ประมาณ 5.1 ซึ่งถ้าหากมี pH ของระบบมีค่าเข้าใกล้ค่า pI จะทำให้เกิดปฏิสัมพันธ์ระหว่างโปรตีนและโปรตีน ทำให้เพิ่มการรวมตัวของอนุภาค ในทางกลับกัน หากมี pH ของระบบมีค่าห่างจากค่า pI โปรตีนและตัวทำละลายจะเกิดปฏิสัมพันธ์เพิ่มขึ้น และลดการรวมตัวของโปรตีน (Giroux *et al.*, 2010) ซึ่งลักษณะที่เกิดขึ้นสามารถส่งผลกระทบต่อขนาดที่เกิดขึ้นหลังจากเติมตัวทำละลายอินทรีย์อย่างเอทานอลได้

ในการทดลองของ Uversky และคณะ (1997) ได้ศึกษาการใช้อัลตราโซนิเคชันในการทำให้เวย์โปรตีนไอโซเลต(0.15%) เสียสภาพจากเวย์โปรตีนไอโซเลตที่พีเอช (7.0 ถึง 10.0) เอกสารนี้เป็นเอกสารที่สงวนไว้สำหรับการใช้งานเพื่อการศึกษาเท่านั้น ไม่อนุญาตให้นำไปใช้ประโยชน์ด้านการค้า ไม่ว่าจะกรณีใดๆ ทั้งสิ้น อีกทั้งห้ามมิให้ตัดแปลงเนื้อหา และต้องอ้างอิงถึงเจ้าของเอกสารทุกครั้งที่มีการนำไปใช้

ร่วมกับปริมาณเอทานอล (50 ถึง 85.5 เปอร์เซ็นต์) พบว่าที่สภาวะที่มีปริมาณโปรตีนเสียสภาพสูงสุดอยู่ที่พีเอช 7.5 ร่วมกับเอทานอลที่ 55 เปอร์เซ็นต์ โดยผลของพีเอช จะเกิดการการเปลี่ยนแปลงของโครงสร้างเบต้ากลอบูลิน ที่เรียกว่า Tanford transition (เป็นการเปลี่ยนแปลงโครงสร้างบริเวณหมู่ไทออล บริเวณ EF-loop จะเกิดวงปิดของหมู่ไฮโดรโฟบิกเมื่อค่าพีเอชต่ำกว่า 7 และเปิดออกเมื่อมีค่าพีเอชสูงกว่า 7) เกิดการคลายตัวของโปรตีนสองกลุ่ม (protein dimer) และเกิดการคลายสายแสดงหมู่คาร์บอกซิลออกมา ซึ่งเมื่อพีเอชเพิ่มมากขึ้นจะลดระดับการรวมตัวของโปรตีน

มีการทดลองของ Ju and Kilara (1998) ทำการทดลองการรวมตัวของสารละลายเวย์โปรตีนความเข้มข้นร้อยละ 18 ที่ pH 3 ถึง 7 เมื่อตรวจสอบการรวมตัวของขนาดอนุภาคด้วยเครื่อง Dynamic light scattering พบว่าที่ pH 7 ขนาดอนุภาคเฉลี่ยอยู่ที่ 8 นาโนเมตร แต่เมื่อระดับพีเอชต่ำลง โปรตีนมีการรวมตัวกันมากขึ้นจนมีขนาด 2.645 ไมโครเมตร ที่ pH 5.2 แต่พอเมื่อระดับพีเอช เริ่มลดลงจาก 5.2 ถึง 4.0 ค่าเฉลี่ยอนุภาคเริ่มมีขนาดลดลง

ซึ่งแสดงให้เห็นว่าพีเอชของสารละลายเวย์โปรตีนเริ่มต้นก่อนการดีซอลเวชันนั้น มีลักษณะการรวมตัวของโครงสร้างที่มากขึ้นแตกต่างกันไปตามการเปลี่ยนแปลงพีเอชของสารละลายเวย์โปรตีนไอโซเลต ซึ่งเมื่อหลังจากเติมเอทานอล(สารดีซอลเวตติ้งเอเจนต์) ก็จะมีผลต่อระดับการรวมตัว ซึ่งมีผลต่อขนาดอนุภาคเวย์โปรตีนที่เกิดขึ้น

4.2.1.2 ผลของปริมาณเอทานอลที่เติมลงในสารละลายเวย์โปรตีนไอโซเลตต่อลักษณะทางสัณฐานวิทยาของลูทีนในเวย์โปรตีนไอโซเลต

ภาพจากกล้องจุลทรรศน์อิเล็กตรอนแบบส่องกราดของผลิตภัณฑ์แห่งลูทีนในเวย์โปรตีนไอโซเลต ที่ได้จากเตรียมในสภาวะการผลิตที่ใช้ปริมาณเอทานอลที่ต่างกัน ได้แก่ 0.25, 0.50 และ 0.75 เท่าต่อปริมาณสารละลายเวย์โปรตีนไอโซเลต แสดงดังภาพที่ 4.2 (b) ซึ่งพบว่าขนาดอนุภาคแห่งลูทีนในเวย์โปรตีนไอโซเลต จะขนาดใหญ่มากขึ้นเมื่อระดับปริมาณเอทานอลที่ใช้มีค่าเพิ่มมากขึ้น แต่ที่น่าสนใจมากคือการรวมตัวของอนุภาคนาโนโปรตีนใน ระดับปริมาณเอทานอล 0.50 เท่าต่อสารละลายเวย์โปรตีนไอโซเลต มีลักษณะของอนุภาคที่มีรูปร่างค่อนข้างเป็นทรงกลมที่มีขนาดสม่ำเสมอ ซึ่งอาจเป็นจุดสมดุลของปริมาณเอทานอลที่ใช้ในการเอนแคปซูลเลทลูทีน

ซึ่งในการทดลองของ Uversky *et al.*, 1997 ได้ศึกษาการใช้อัลตราโซนิคในการทำให้เวย์โปรตีนเสียสภาพจากเวย์โปรตีนไอโซเลตที่พีเอช (7.5 ถึง 10) ร่วมกับปริมาณเอทานอล (50 ถึง 85.5 เปอร์เซ็นต์) พบว่าที่สภาวะที่มีปริมาณโปรตีนเสียสภาพสูงสุดอยู่ที่พีเอช 7.5 ร่วมกับเอ

เอกสารนี้เป็นเอกสารที่สงวนไว้สำหรับการใช้งานเพื่อการศึกษาเท่านั้น ไม่อนุญาตให้นำไปใช้ประโยชน์ด้านการค้าไม่ว่ากรณีใดๆ ทั้งสิ้น อีกทั้งห้ามมิให้ดัดแปลงเนื้อหา และต้องอ้างอิงถึงเจ้าของเอกสารทุกครั้งที่มีการนำไปใช้

ทานอลที่ 55 เปอร์เซ็นต์ โดยผลของเอทานอล จะมีผลต่อการเปลี่ยนแปลงโครงสร้างเบต้าแลคโตกลอบูลินตรวจสอบด้วยเครื่อง fluorescence techniques พบว่าโครงสร้างเกิดการเปลี่ยนแปลงค่า dielectric constant โดยสารละลายจะไปเปลี่ยนแปลงโครงสร้างโปรตีนจากสภาวะปกติ (native state) เป็นสภาวะกลาง (intermediate state) ที่เรียกว่าลักษณะ molten globule (ก่อนสภาวะการเสียสภาพโปรตีน) โดยช่วงแรกผลของการเพิ่มปริมาณเอทานอลจะทำให้กลอบูลาร์โปรตีนของเบต้าแลคโตกลอบูลินเสียสภาพ โดยแอลกอฮอล์จะมีผลไปเพิ่มแรงของพันธะไฮโดรเจนภายในโครงสร้างโปรตีนและลดแรงไฮโดรโฟบิกของภายในโมเลกุลโปรตีน มีผลทำให้โปรตีนเกิดการคลายสายออกมา ทำให้เกิดการสร้างพันธะช่วงสั้นๆ เกิดเป็นโครงสร้างอัลฟาฮีลิก แต่หากมีการเติมเอทานอลมากขึ้น จะมีผลต่อโครงสร้างอัลฟาฮีลิกซึ่งไม่ค่อยคงตัวเกิดการรวมตัวมากขึ้น เปลี่ยนแปลงเป็นโครงสร้างเบต้าชีต ซึ่งส่งผลให้เกิดการรวมตัวของโครงสร้างโปรตีนเพิ่มมากขึ้น (Hirota, 1999)

โดยผลการทดลองนี้ มีแนวโน้มที่ไปในทิศทางเดียวกับผลการทดลองของ Gülsereñet *et al.* (2012) ซึ่งทำการเตรียมอนุภาคนาโนเวย์โปรตีน (5%w/w) โดยมีการใช้เอทานอล 50% ในปริมาณ 0 – 5 เท่า เพื่อช่วยในการรวมตัวของโปรตีน ผลจากการทดลอง พบว่า ค่าเฉลี่ยขนาดอนุภาคมีแนวโน้มที่จะเพิ่มขึ้น เมื่ออัตราส่วนเอทานอลต่อน้ำที่ใช้มีค่ามากขึ้น เนื่องจากการเติมแอลกอฮอล์จะไปลดสภาพขี้ของโครงสร้างโปรตีน เหนี่ยวนำให้เกิดการรวมกันของโมเลกุล (Dufour and Haertle, 1993)

4.2.1.3 ผลของอัตราส่วนปริมาณลูทีนต่อปริมาณเวย์โปรตีนไอโซเลตที่มีต่อ

ลักษณะทางสัณฐานวิทยาของลูทีนในเวย์โปรตีนไอโซเลต

อัตราส่วนของลูทีนต่อเวย์โปรตีนไอโซเลตที่ใช้จะมีผลต่อลักษณะและขนาดอนุภาคที่ได้ เมื่อพิจารณาภาพถ่ายจากกล้องจุลทรรศน์อิเล็กตรอนแบบส่องกราดของอนุภาคลูทีนในเวย์โปรตีนไอโซเลต ที่มีอัตราส่วนลูทีนต่อเวย์โปรตีนไอโซเลต เป็น 1.25:100 2.50:100 3.75:100 และ 5.00:100 (มิลลิกรัม:มิลลิกรัม) (ภาพที่ 4.2 (c)) พบว่าเมื่ออัตราส่วนลูทีนต่อเวย์โปรตีนไอโซเลต มีค่าเพิ่มมากขึ้น อนุภาคที่ได้มีแนวโน้มที่ใหญ่ขึ้น ซึ่งสอดคล้องกับผลที่ได้จากการวัดขนาดอนุภาคที่ได้จากการวัดด้วยเครื่อง Particle sizer ที่พบว่าขนาดอนุภาคของลูทีนในเวย์โปรตีนไอโซเลตที่มีอัตราส่วน 1.25:100 2.50:100 3.75:100 และ 5.00:100 มีค่าเป็น 186.3, 198.2, 346.8 และ 957.1 ตามลำดับ ทั้งนี้จากภาพถ่ายจากกล้องจุลทรรศน์อิเล็กตรอนแบบส่องกราดของตัวอย่างที่เตรียมจากอัตราส่วนลูทีนต่อเวย์โปรตีนไอโซเลตเป็น 1.25:100 และ 2.50:100 จะพบ

ลักษณะการรวมตัวของอนุภาคนาโนเวย์โปรตีนไอโซเลตที่มีความสม่ำเสมอ แต่หากมีการเพิ่มเอทานอลเป็นเอทานอลที่ลดลงหรือเพิ่มมากขึ้นเพื่อการศึกษาเพิ่มเติม เมื่ออยู่ในระดับเอทานอลที่ต่ำกว่า 50% ไม่ว่าจะกรณีใดๆ ทั้งสิ้น อีกทั้งห้ามมิให้ตัดแปลงเนื้อหา และต้องอ้างอิงถึงเจ้าของเอกสารทุกครั้งที่มีการนำไปใช้

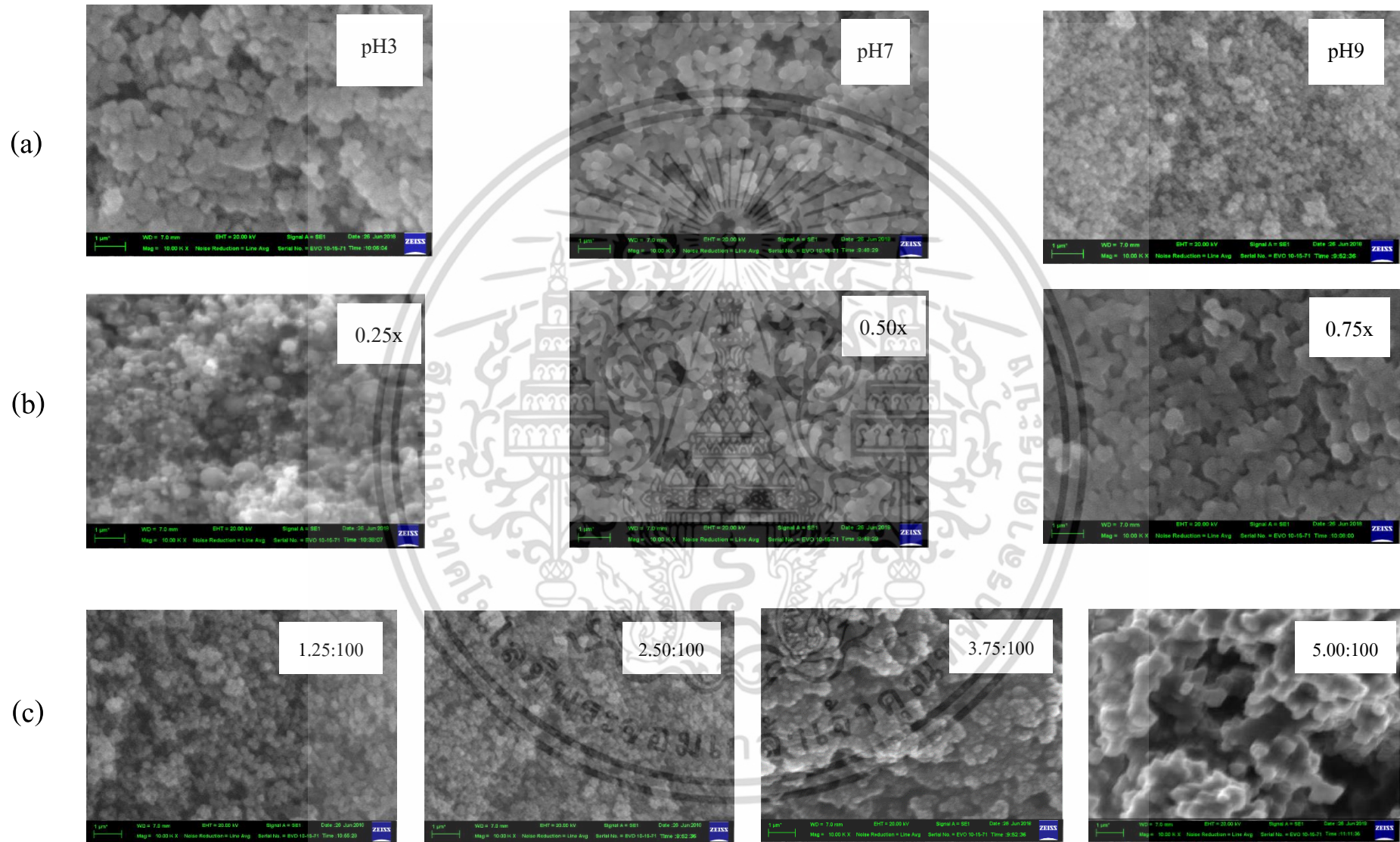
ปริมาณความเข้มข้นของสารละลายลูทีนมากเกินไป จะพบลักษณะการรวมตัวของอนุภาคที่ไม่ได้มีลักษณะเป็นทรงกลม

การปรับปริมาณความเข้มข้นของสารต่างๆทั้งเอทานอล เวย์โปรตีน และลูทีน ล้วนแต่เป็นการควบคุมสมดุลของ hydrophilic –hydrophobic บนพื้นผิวโมเลกุลในการมารวมตัวกันเองและรวมตัวระหว่างเวย์โปรตีนกับลูทีนเกิดเป็นอนุภาคขึ้นมา ซึ่งการรวมตัวจะส่งผลต่อลักษณะทางกายภาพและขนาดอนุภาคของผลิตภัณฑ์ โดยลูทีนที่มีความเข้มข้นสูงจะเกิดการรวมตัวเป็นอนุภาคขนาดใหญ่

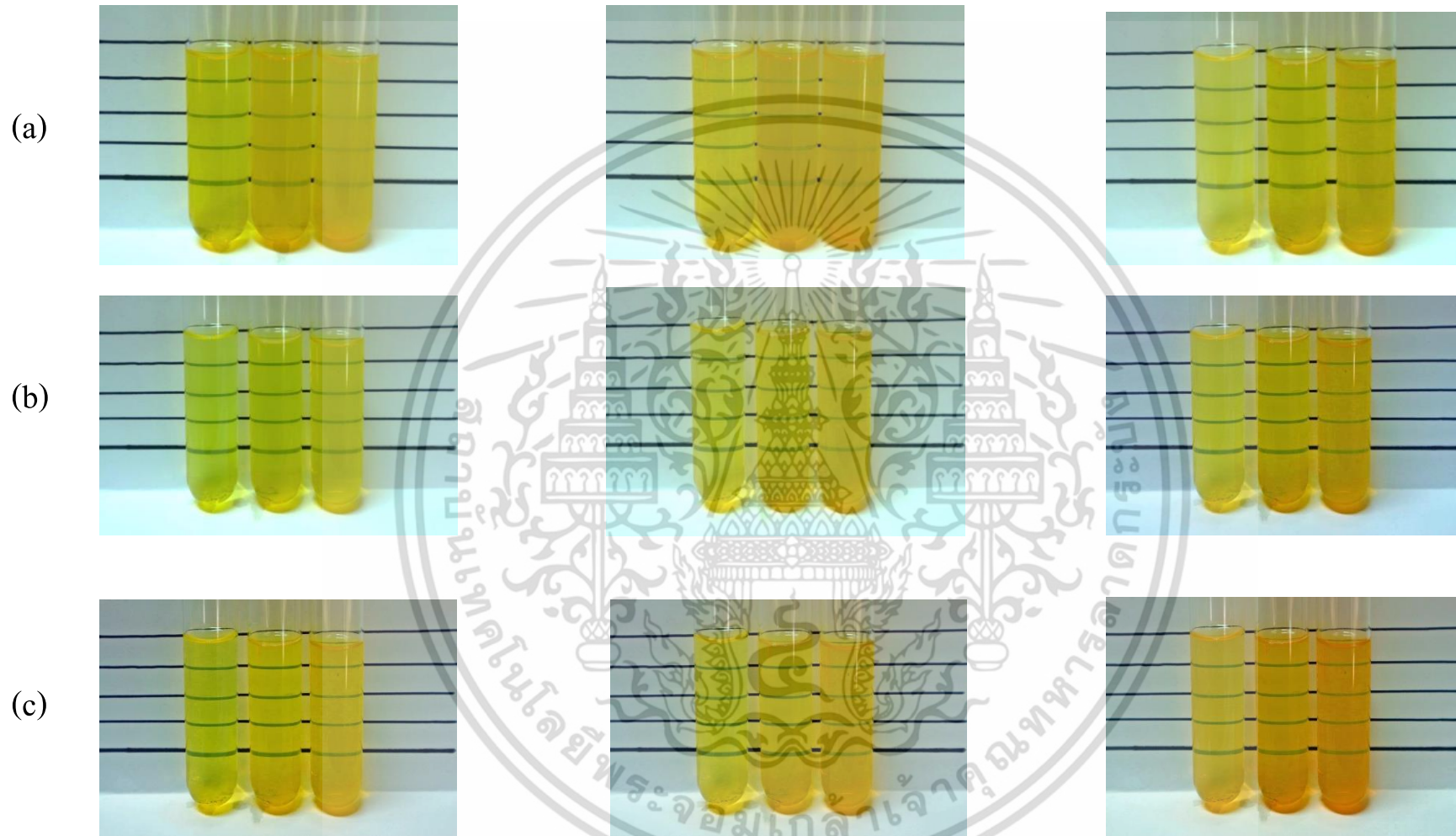
ตารางที่ 4.3 ขนาดอนุภาคลูทีนในเวย์โปรตีนไอโซเลตจากการวัดขนาดอนุภาคด้วยเทคนิคการกระเจิงแสงแบบไดนามิกส์ (Dynamic light scattering)

พรีเทเมนต์ของปัจจัยที่ใช้ในการทดลอง			
ระดับ pH ของสารละลายเวย์โปรตีนไอโซเลต	ปริมาตรของเอทานอล (เท่าของปริมาตรสารละลายเวย์โปรตีนไอโซเลต)	สัดส่วนปริมาณลูทีนต่อเวย์โปรตีนไอโซเลต	ขนาดอนุภาคลูทีนในเวย์โปรตีนไอโซเลต (นาโนเมตร)
3	0.50	2.50:100	548.7±4.32
7	0.50	2.50:100	432.2±1.64
9	0.50	2.50:100	198.2±1.52
7	0.25	2.50:100	246.3±3.97
7	0.50	2.50:100	432.2±1.64
7	0.75	2.50:100	852.4±6.94
9	0.50	1.25:100	186.3±2.65
9	0.50	2.50:100	198.2±1.52
9	0.50	3.75:100	346.8±4.22
9	0.50	5.00:100	957.1±6.81

เอกสารนี้เป็นเอกสารที่สงวนไว้สำหรับการใช้งานเพื่อการศึกษาเท่านั้น ไม่อนุญาตให้นำไปใช้ประโยชน์ด้านการค้าไม่ว่ากรณีใดๆ ทั้งสิ้น อีกทั้งห้ามมิให้ตัดแปลงเนื้อหา และต้องอ้างอิงถึงเจ้าของเอกสารทุกครั้งที่มีการนำไปใช้



ภาพที่ 4.2 ภาพถ่ายจากกล้องจุลทรรศน์อิเล็กตรอนแบบส่องกราดของอนุภาคนาโนลูทีนในเวย์โปรตีนไอโซเลต แถว (a) pH 3 7 และ 9 ของสารละลายเวย์โปรตีนไอโซเลต แถว (b) ปริมาณเอทานอล 0.25 0.50 และ 0.75 เท่าต่อสารละลายเวย์โปรตีนไอโซเลต แถว (c) สัดส่วนลูทีนต่อเวย์โปรตีนไอโซเลต 1.25:100 2.50 :100 3.75:100 และ 5.00:100



ภาพที่ 4.3 ภาพถ่ายสารละลายอนุภาคลูทีนในเวย์โปรตีนไอโซเลต แถว (a) pH 3 7 และ 9 ของสารละลายเวย์โปรตีนไอโซเลต แถว (b) ปริมาณเอทานอล 0.25 0.50 และ 0.75 เท่า ต่อสารละลายเวย์โปรตีนไอโซเลต แถว (c) สัดส่วนลูทีนต่อเวย์โปรตีนไอโซเลต 1.25:100 2.50 :100 และ 5.00:100

4.1.3 ความคงตัวของลูทีนในเวย์โปรตีนไอโซเลตภายใต้สภาวะการเก็บรักษาที่อุณหภูมิต่างๆ

อุณหภูมิและเก็บรักษาจะเป็นประโยชน์ในด้านการตรวจสอบอิทธิพลของอุณหภูมิที่ส่งผลต่อความเสถียรที่ทางเคมีและกายภาพของลูทีน การทดสอบความคงตัวของลูทีนของอนุภาคนาโนลูทีนในเวย์โปรตีนไอโซเลตใน (รูปแบบผงแห้ง) ทำการจัดเก็บไว้ที่อุณหภูมิแตกต่างกัน (4, 25 และ 40 องศาเซลเซียส) เป็นเวลา 15 วัน จากการสังเกตโดยภาพรวมพบว่าที่ 40 องศาเซลเซียส มีความคงตัวของความเข้มข้นลูทีนในอนุภาคนาโนเวย์โปรตีนไอโซเลตลดลงมากที่สุด และผลของการเก็บรักษาไว้ที่อุณหภูมิ 4 องศาเซลเซียสสามารถเก็บรักษาความเข้มข้นของลูทีนไว้ได้สูงสุด ถึงแม้ว่าจะมีการเสื่อมสลายไปบ้าง แสดงให้เห็นถึงความสามารถในการป้องกันการเสื่อมสลายของลูทีนจากสภาวะแวดล้อม

4.1.3.1 ผลของพีเอชที่มีผลต่อการเก็บรักษาของอนุภาคนาโนลูทีนใต้สภาวะอุณหภูมิต่างๆ

ผลจากการศึกษาสภาวะพีเอชของสารละลายเวย์โปรตีนไอโซเลตที่ต่างกัน ได้แก่ 3, 7 และ 9 ที่มีผลต่อความสามารถในการเก็บรักษาลูทีนในอนุภาคนาโนเวย์โปรตีนไอโซเลต พบว่าในแต่ละพีเอช การเก็บรักษาลูทีนของอนุภาคนาโนเวย์โปรตีนไอโซเลตทั้ง 3 อุณหภูมิ กัน (4, 25 และ 40 องศาเซลเซียส) มีแนวโน้มความสามารถในการเก็บรักษาในแต่ละอุณหภูมิที่คล้ายคลึงกันคือเมื่อเวลาผ่านไปความเข้มข้นของลูทีนก็จะลดลงบางส่วน แต่จะสามารถเห็นผลความแตกต่างชัดเจนหลังจากทำการเก็บรักษา 15 วัน โดยพบว่าที่ pH 9 ในการเก็บรักษาลูทีนของอนุภาคนาโนเวย์โปรตีนไอโซเลตทั้ง 3 อุณหภูมิ มีแนวโน้มสามารถเก็บรักษาลูทีนไว้ในอนุภาคได้สูงสุดอย่างมีนัยสำคัญ ($p < 0.05$) ซึ่งจากผลการทดลองการส่องกล้องจุลทรรศน์อิเล็กตรอนที่ระดับ pH 9 รูปร่างลักษณะของอนุภาคเป็นโปรตีนก้อนกลมสม่ำเสมอ มีขนาดเล็ก รวมถึงผลของประสิทธิภาพการกักเก็บสารที่สูงมากกว่าพีเอชอื่นๆ จึงอาจส่งผลทำให้มีแนวโน้มความสามารถในการเก็บรักษาผลิตภัณฑ์ที่สูงตามไปด้วย

4.1.3.2 ผลของปริมาณเอทานอลที่มีผลต่อการเก็บรักษาของอนุภาคนาโนลูทีนใต้สภาวะอุณหภูมิต่างๆ

ผลจากการศึกษาการเติมเอทานอลในปริมาณที่ต่างกัน ได้แก่ 0.25, 0.50 และ 0.75 เท่าของสารละลายเวย์โปรตีนไอโซเลต ต่อความสามารถในการเก็บรักษาลูทีนในเวย์โปรตีนไอโซเลต พบว่าในแต่ละปริมาณเอทานอลที่เติมลงไปนั้น เมื่ออุณหภูมิเพิ่มขึ้นประสิทธิภาพการกักเก็บลูทีนจะลดลงเรื่อยๆ ซึ่งอาจเกิดจากการที่เอทานอลมีผลต่อการเปลี่ยนแปลงของโครงสร้างของโปรตีน ทำให้ลูทีนหลุดออกจากอนุภาคได้มากขึ้น อย่างไรก็ตาม การเติมเอทานอลในปริมาณที่เหมาะสมอาจช่วยเพิ่มประสิทธิภาพการกักเก็บลูทีนได้ ซึ่งจำเป็นต้องมีการศึกษาเพิ่มเติมต่อไป

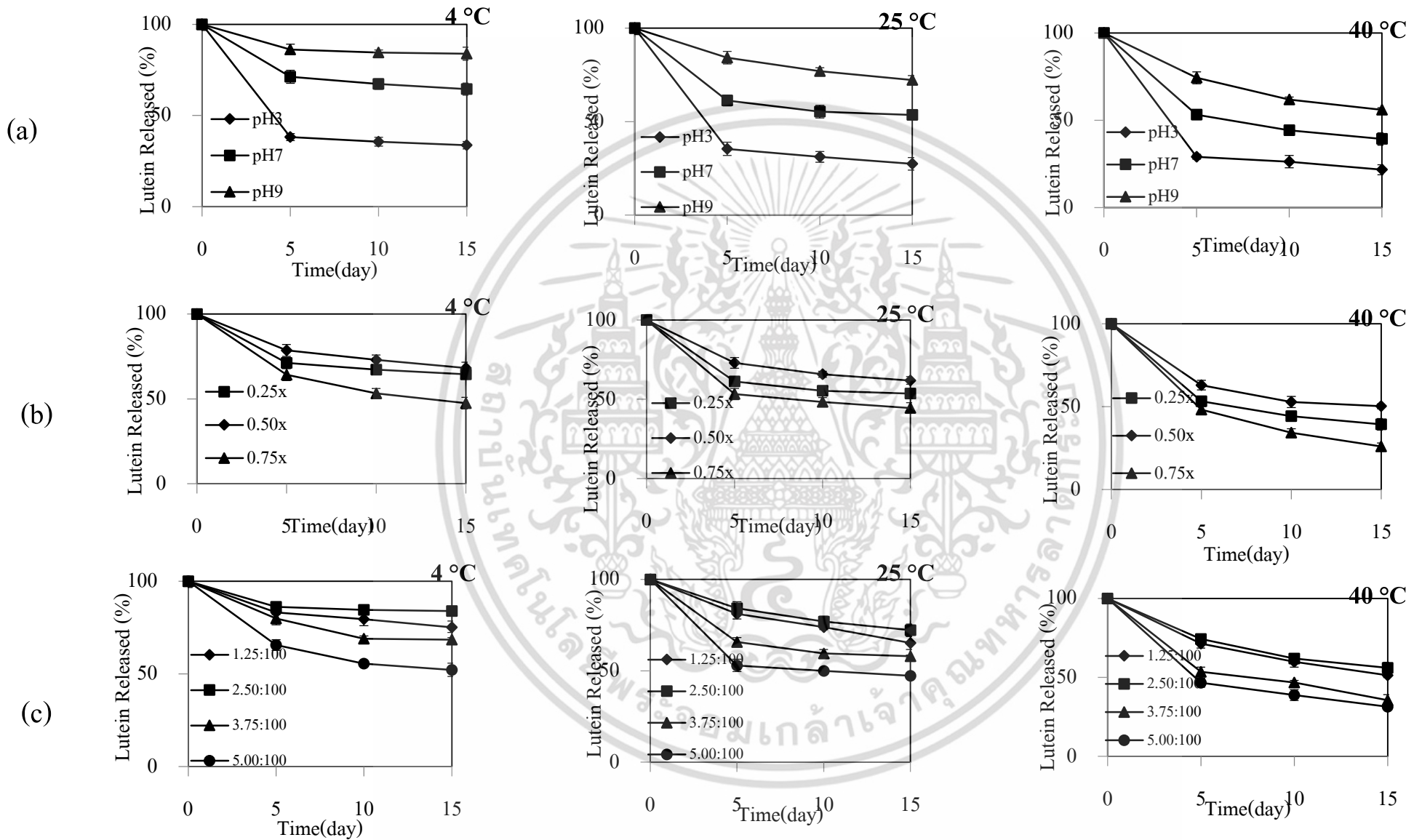
โปรตีนไอโซเลต พบว่า ปริมาณเอทานอลที่ทำการเก็บรักษาลูทีนของอนุภาคเวย์โปรตีนไอโซเลต ได้สูงสุดทั้ง 3 อุณหภูมิ กัน (4 25 และ 40 องศาเซลเซียส) หลังจากทำการเก็บรักษา 15 วัน คือ ที่ ปริมาณเอทานอล 0.75 เท่าต่อสารละลายเวย์โปรตีนไอโซเลต ซึ่งมีแนวโน้มสามารถการเก็บรักษาลูทีนไว้ในอนุภาคต่ำสุดอย่างมีนัยสำคัญ ($p < 0.05$) ซึ่งอาจเป็นผลของปริมาณเอทานอลที่เหมาะสมที่สร้างขึ้น โปรตีนล้อมรอบที่หนาเพียงพอในการเก็บรักษาลูทีนไว้ในอนุภาคได้นานกว่าเอทานอลที่ปริมาณอื่น

4.1.3.3 ผลของความเข้มข้นลูทีนที่มีผลต่อการเก็บรักษาของอนุภาคนาโนลูทีน

ได้สถานะอุณหภูมิต่างๆ

ผลจากการศึกษาความเข้มข้นของของลูทีนต่อเวย์โปรตีนไอโซเลต (1.25:100 2.50 :100 3.75:100 และ 5.00:100) ที่มีต่อความคงตัวของลูทีนระหว่างการเก็บรักษา พบว่า เมื่อสังเกตที่อัตราส่วนลูทีนต่อสารละลายเวย์โปรตีนไอโซเลตที่ 5.00:100 กลับมีประสิทธิภาพการเก็บรักษาที่ต่ำสุด อาจเนื่องจากประสิทธิภาพการกักเก็บลูทีนที่น้อย ร่วมกับการไหลตสารสกัดลูทีนภายในมากเกินไป ที่นอกจากจะส่งผลทำให้ประสิทธิภาพการเอนแคปซูลเลชันลดลง ก็ยังส่งผลต่อการเก็บรักษาอีกด้วย

ซึ่งผลการทดลองนี้สอดคล้องกับผลการทดลองของ Abbasi และคณะ (2014) การผลิตอนุภาคนาโนอิมัลชันของวิตามิน D3 โดยในการผลิตมีการศึกษาผลของความเข้มข้นที่แตกต่างกันของวิตามิน D3 ถูกเติมเข้าไปในตัวอย่างก่อนการสร้างอนุภาคนาโน หลังจากเก็บรักษาไป 7 วัน พบว่าปริมาณวิตามิน D3 ของอนุภาคที่มีการเติมวิตามิน D3 ในปริมาณ 280 ไมโครกรัม/มิลลิลิตร จะมีค่าความเข้มข้นของวิตามินที่ลดลงในระหว่างการเก็บรักษาแค่เพียงร้อยละ 12 – 17 ในขณะที่ตัวอย่างที่มีการเติมวิตามิน D3 ในปริมาณ 560 ไมโครกรัม/มิลลิลิตร จะพบว่าความเข้มข้นของวิตามินจะลดลงมากถึงร้อยละ 20 – 34



ภาพที่ 4.4. ปริมาณของลูทีนที่ปล่อยอยู่ในอนุภาคลูทีนในเวย์โปรตีนไอโซเลตหลังจากเก็บรักษาที่อุณหภูมิ 4 25 และ 40 องศาเซลเซียส ระยะเวลา 15 วัน (a) pH 3 7 และ 9 ของสารละลายเวย์โปรตีนไอโซเลต แถว (b) ปริมาณเอทานอล 0.25, 0.50 และ 0.75 เท่าต่อสารละลายเวย์โปรตีนไอโซเลต แถว (c) สัดส่วนลูทีน 1.25:100, 2.50 :100, 3.75:100 และ 5.00:100 มิลลิกรัมต่อเวย์โปรตีนไอโซเลต

4.1.4 การปลดปล่อยลูทีนจากอนุภาคลูทีนในเวย์โปรตีนไอโซเลตภายใต้สภาวะจำลองการย่อยอาหารในหลอดทดลอง

การย่อยสลายสารประกอบทางชีวภาพที่ห่อหุ้มในระบบทางเดินอาหารเป็นกระบวนการที่ซับซ้อนและมีผลกระทบต่อ การปล่อยสารออกฤทธิ์ทางชีวภาพ ซึ่งการศึกษาบทบาทสำคัญในการดูดซึม และการกระจายตัวของสาร ที่มีผลต่อความสามารถในการดูดซึม จะทำการทดลองใน 2 ส่วน คือ การตรวจสอบประสิทธิภาพในการดูดซึมสารประกอบชีวภาพ (Bioaccessibility) และการตรวจสอบการปลดปล่อยกรดไขมันอิสระออกจากอนุภาค (Free Fatty Acid Release) เพื่อศึกษาความคงตัวของ การเอนแคปซูลเลขันลูทีน ในอนุภาคนาโนเวย์โปรตีนไอโซเลตในระบบทางเดินอาหาร

4.1.4.1 การตรวจสอบประสิทธิภาพในการดูดซึมสารประกอบชีวภาพ (Bioaccessibility)

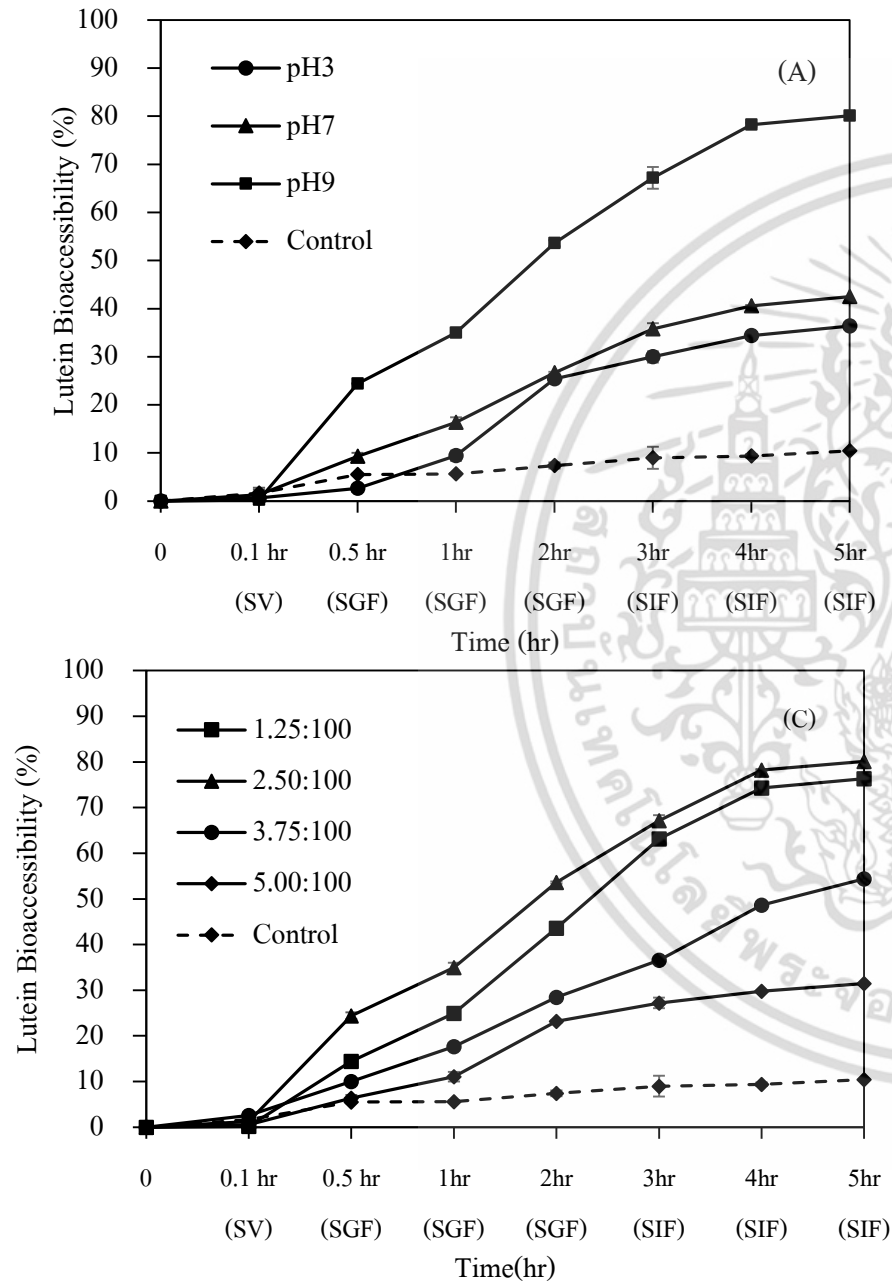
การตรวจสอบได้จำลองสภาวะทางเดินอาหารที่อนุภาคนาโนเวย์โปรตีนไอโซเลตที่จะเดินทางผ่าน ได้แก่ ระบบการย่อยอาหาร 3 ส่วน คือ ระบบการย่อยบริเวณปาก ระบบการย่อยในกระเพาะอาหาร และระบบการย่อยในลำไส้เล็ก ซึ่งการทดสอบจะใช้เอนไซม์และการปรับสภาวะพิเศษในการจำลองระบบทางเดินอาหาร โดยในการทดลองจะวิเคราะห์หาเปอร์เซ็นต์การปลดปล่อยปริมาณลูทีนจากอนุภาคลูทีนในเวย์โปรตีนไอโซเลต และจะมีการเปรียบเทียบกับที่ได้กับตัวแปรควบคุมซึ่งเป็นลูทีนอิสระในปริมาณเท่ากัน

ผลจากการผลิตอนุภาคลูทีนในเวย์โปรตีนไอโซเลต จาก 3 ปัจจัย คือ อัตราส่วนความเข้มข้นของลูทีนต่อเวย์โปรตีนไอโซเลต ได้แก่ 1.25:100 2.50:100 3.75:100 และ 5.00:100 ปริมาตรเอทานอล 0.25 0.50 และ 0.75 เท่าของสารละลายเวย์โปรตีนไอโซเลต และสภาวะพิเศษของสารละลายในเวย์โปรตีนไอโซเลตที่ระดับ 3 7 และ 9 ในการทดสอบการปลดปล่อยลูทีนจากการจำลองระบบการย่อยอาหารในหลอดทดลอง พบว่าอนุภาคนาโนลูทีนในเวย์โปรตีนไอโซเลตมีความคงตัวมากในสภาวะการย่อยด้วยน้ำลาย (mucin) ไม่เกิดการปลดปล่อยลูทีนออกจากอนุภาค แสดงให้เห็นถึงความคงตัวของอนุภาค ซึ่งมีลักษณะที่คล้ายคลึงกับในการทดสอบอิมัลชัน B-lactoglobulin ในสภาวะการย่อยด้วยน้ำลายที่อธิบายถึงระดับของการเติม mucin ต่ำกว่า 1.0 เปอร์เซ็นต์ในระบบการย่อยในปาก ทำให้เกิดการผลึกกันของประจุลบของ biopolymers จากแรงแวนเดอร์วาลส์ ทำให้เกิดความคงตัวของอนุภาคในการทดสอบสภาวะการย่อยด้วยน้ำลาย (Singh *et al.*, 2003) ต่อมาในส่วนของการย่อยอาหาร พบว่าลูทีนอยู่ในอนุภาค

นาโนเวทย์โปรตีนไอโซเลตยังคงค่อนข้างมีความคงตัวโดยจะมีการปลดปล่อยลูทีนออกมาจากอนุภาคประมาณร้อยละ 50 ภายในระยะเวลา 2 ชั่วโมง แสดงให้เห็นว่าการเอนแคปซูลเลชันลูทีนไว้ในอนุภาคนาโนด้วยเวทย์โปรตีนไอโซเลต บางส่วนสามารถทนทานต่อการย่อยของเอนไซม์เปปซินได้ ซึ่งได้มีงานวิจัยหลายชิ้นที่ได้อธิบายถึงความสามารถในความคงทนของ b-lactoglobulin การย่อยของเอนไซม์เปปซิน แต่เมื่อโปรตีนเจอสภาวะความเป็นกรดในกระเพาะอาหาร อาจทำให้โปรตีนเสียสภาพบางส่วนเกิดการปลดปล่อยลูทีนออกมาจากอนุภาคบางส่วน และส่วนสุดท้าย คือการจำลองรูปแบบการย่อยในสภาวะลำไส้เล็ก ความไม่คงตัวของตัวอย่างเริ่มเห็นได้ชัด สังเกตได้จากปริมาณลูทีนที่ออกมามากกว่า 70 เปอร์เซ็นต์ ผลเกิดจากเบต้าแลคโตกลอบูลินไม่คงตัวต่อเอนไซม์แพนกรีเอติน ซึ่งสอดคล้องกับวัตถุประสงค์การศึกษาที่ต้องการให้มีการให้เกิดการปลดปล่อยลูทีนส่วนใหญ่ในการย่อยที่สภาวะลำไส้เล็ก

จากผลการทดลองพบว่าแนวโน้มของสภาวะการย่อยของทุกตัวอย่างมีความใกล้เคียงกันมาก อาจเป็นผลเนื่องมาจากการทดลองใช้เวทย์โปรตีนไอโซเลตเป็นวัสดุห่อหุ้มอนุภาคนาโนเพียงชนิดเดียว แต่เมื่อนำค่าผลการทดลองมาวิเคราะห์ทางสถิติ พบว่าในแต่ละระดับพีเอชมาวิเคราะห์ พบว่าที่ pH 3 7 และ 9 ให้ผลการทดสอบ Bioaccessibility เท่ากับร้อยละ 36.39, 55.64 และ 80.10 ตามลำดับ (ภาพที่ 4.5) โดยค่าที่ได้มีความแตกต่างอย่างมีนัยสำคัญทางสถิติ ($p < 0.05$) โดยพบว่าที่ pH 9 ให้ค่า Bioaccessibility สูงสุด เมื่อผ่านไป 5 ชั่วโมง ในส่วนของปริมาณการเติมเอทานอลลงในสารละลายเวทย์โปรตีนไอโซเลตเป็น 0.25 0.50 และ 0.75 เท่า ให้ผลการทดสอบ Bioaccessibility เท่ากับร้อยละ 61.58 42.50 และ 33.05 ส่วนผลการวิเคราะห์อัตราความเข้มข้นของลูทีนต่อเวทย์โปรตีนไอโซเลต ที่ระดับ 1.25:100 2.50 :100 3.75:100 และ 5.00:100 พบว่าค่า Bioaccessibility มีค่าเฉลี่ยเท่ากับร้อยละ 77.36 80.1 54.36 และ 28.44

โดยจากผลการทดลองพบแนวโน้มของอนุภาคที่มีขนาดเล็กหรือมีพื้นที่ผิวต่อปริมาตรในระดับที่สูง จะมีการปลดปล่อยสารลูทีนออกมาได้ดีกว่าอนุภาคที่มีขนาดใหญ่ ซึ่งมีแนวโน้มคล้ายคลึงกับการทดลองของ Sotomayor-Gerding *et al.*, (2016) ได้ศึกษาค่า Bioaccessibility จากนาโนอิมัลชันของกลุ่มแคโรทีนอยด์ (แอสต้าแซนทีน และ ไลโคพีน) พบว่าอนุภาคนาโนอิมัลชันไลโคพีนขนาดช่วงประมาณ 100-200 นาโนเมตร ให้ค่า Bioaccessibility สูงกว่าอนุภาคนาโนอิมัลชันไลโคพีนขนาดกลางและขนาดใหญ่ประมาณ 300-500 และ 800-5000 นาโนเมตร



ภาพที่ 4.5. ปริมาณลูทีนที่ถูกปลดปล่อยลูทีนจากอนุภาคลูทีนในเวย์โปรตีนไอโซเลตในสภาวะการย่อยอาหารแบบจำลองในสภาวะปาก กระเพาะอาหาร และลำไส้เล็ก 5 ชั่วโมง (เปอร์เซ็นต์)

(A) สภาวะพีเอชของสารละลายเวย์โปรตีนไอโซเลต 3 ระดับ pH 3 7 และ 9 สัดส่วนลูทีน 2.50:100 และระดับเอทานอล 0.50 เท่าต่อสารละลายเวย์โปรตีนไอโซเลต

(B) สภาวะปริมาณเอทานอลต่อสารละลายเวย์โปรตีนไอโซเลต 3 ระดับ 0.25 0.50 และ 0.75 เท่าที่สภาวะพีเอช pH 7 สัดส่วนลูทีน 2.50:100

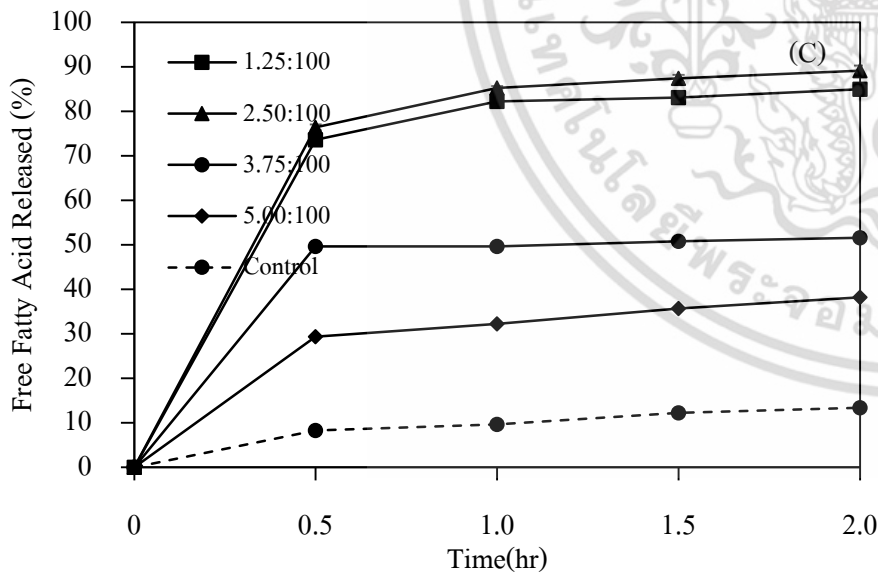
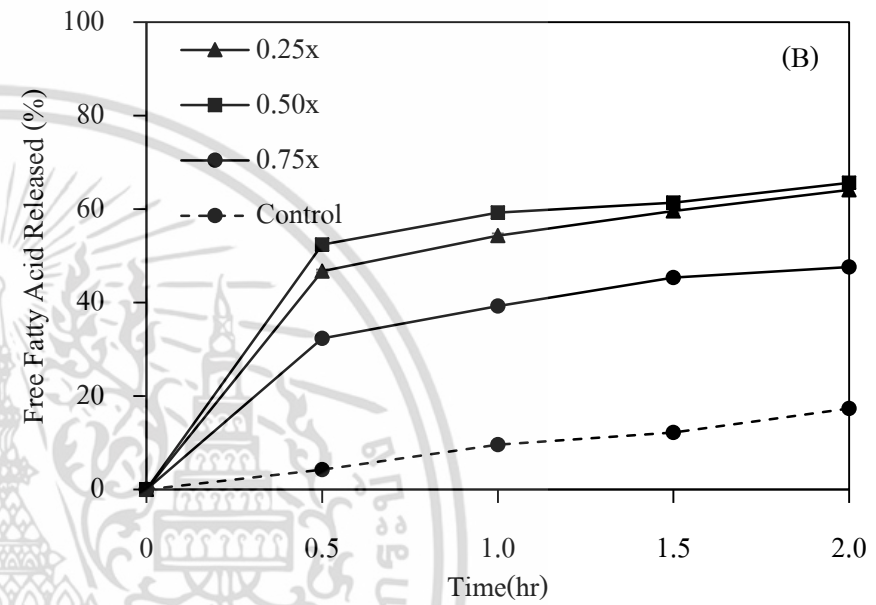
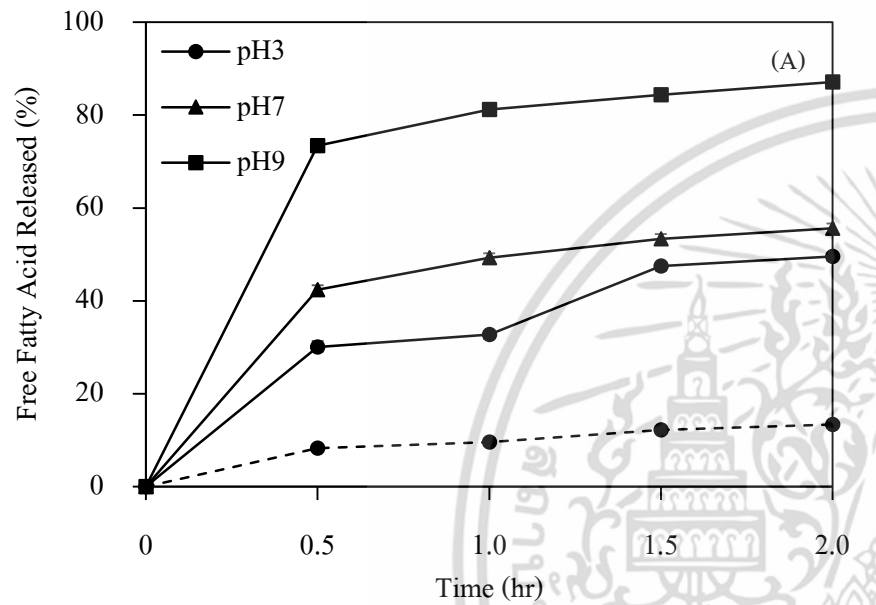
(C) สัดส่วนลูทีนต่อน้ำหนักเวย์โปรตีนไอโซเลต 3 ระดับ 1.25:100, 2.50:100 3.75:100 และ 5.00:100 มิลลิกรัม (w:w) ที่ pH 9 และปริมาณเอทานอล 0.50 เท่า

4.1.4.2 การตรวจสอบประสิทธิภาพอัตราการย่อยกรดไขมันอิสระ (Free Fatty Acid)

ในการทดลองได้ทำการตรวจสอบผลการย่อยจนเกิดกรดไขมันอิสระในช่วงสภาวะจำลองลำไส้เล็กด้วยวิธี pH-stat ซึ่งมักใช้ในการตรวจสอบการย่อยกรดไขมันอิสระในอนุภาคนาโนที่สร้างจากกลุ่มโปรตีนหรือกลุ่มพอลิแซ็กคาไรด์ (Salvia - Trujillo *et al.*, 2013)

ผลการทดลองเส้นแนวโน้มอัตราการย่อยกรดไขมันอิสระ (FFA release) ที่แต่ละระดับพีเอชมาวิเคราะห์ พบว่าที่ pH 3 7 และ 9 ให้ผลการทดสอบ FFA release เท่ากับร้อยละ 49.54, 55.64 และ 87.12 โดยค่าที่ได้มีความแตกต่างอย่างมีนัยสำคัญทางสถิติ ($p < 0.05$) โดยพบว่าที่ pH 9 ให้ค่า FFA release สูงสุด เมื่อผ่านไป 4 ชั่วโมง ซึ่งอาจเกิดจากขนาดอนุภาคนาโนลูทีนในเวย์โปรตีนไอโซเลตที่ pH 9 ที่มีขนาดเล็กกว่า pH 7 และ pH 3 ซึ่งจะส่งผลต่อการเพิ่มพื้นที่ผิวในการเข้าทำปฏิกิริยาของเอนไซม์แพนกรีเอติน ทำให้เกิดการย่อยไขมันและมีการปล่อย FFA ออกมาในปริมาณที่สูง ซึ่งพบผลการทดลองในทำนองเดียวกันนี้ เมื่อทดสอบการปลดปล่อย FFA จากตัวอย่างที่ใช้เอทานอลเป็นปริมาตร 0.25 , 0.50 และ 0.75 เท่าในสารละลายเวย์โปรตีนไอโซเลต ซึ่งให้ผล FFA release เท่ากับร้อยละ 64.12, 55.64 และ 47.81 ตามลำดับ (ภาพที่ 4.6) โดยการเติมเอทานอลในปริมาณที่มากขึ้นจะส่งผลทำให้อนุภาคลูทีนในเวย์โปรตีนที่ได้มีขนาดใหญ่ขึ้น ส่งผลให้มีพื้นที่ผิวต่อปริมาตรที่มีค่าลดลง เป็นการลดพื้นที่ในการเข้าทำปฏิกิริยาของเอนไซม์ ซึ่งส่งผลทำให้ค่า FFA ของตัวอย่างที่ได้จากสภาวะการเตรียมโดยใช้เอทานอลในปริมาณที่สูง ที่ค่า FFA release ที่ต่ำ

จากการทดลองให้ผลแนวโน้มการทดลองคล้ายกับ Troncoso และคณะ (2012) ที่ได้ทดสอบค่า FFA release จากนาโนอิมัลชันน้ำมันข้าวโพดที่ห่อหุ้มด้วยเบต้าแลคโตกลูบูลิน และมีการใช้ตัวทำละลายอินทรีย์อย่างเฮกเซนในการลดขนาดอนุภาค โดยพบว่าอนุภาคนาโนอิมัลชันน้ำมันข้าวโพดที่มีขนาดเล็กสุดที่ 48 นาโนเมตร สามารถให้ค่า FFA release สูงสุดมากกว่าร้อยละ 90



ภาพที่ 4.6 ปริมาณกรดไขมันอิสระที่ถูกปลดปล่อยจากอนุภาคลูทีนในเวย์โปรตีนไอโซเลต ในสภาวะการย่อยอาหารแบบจำลองในสภาวะลำไส้เล็ก 2 ชั่วโมง (เปอร์เซ็นต์)

(A) สภาวะพีเอชของสารละลายเวย์โปรตีนไอโซเลต 3 ระดับ pH 3 7 และ 9 สัดส่วนลูทีน 2.50:100 และระดับเอทานอล 0.50 เท่าต่อสารละลายเวย์โปรตีนไอโซเลต

(B) สภาวะปริมาณเอทานอลต่อสารละลายเวย์โปรตีนไอโซเลต 3 ระดับ 0.25 0.50 และ 0.75 เท่าที่สภาวะพีเอช pH 7 สัดส่วนลูทีน 2.50:100

(C) สัดส่วนลูทีนต่อน้ำหนักเวย์โปรตีนไอโซเลต 3 ระดับ 1.25:100 2.50:100 และ 3.75:100 5.00:100 มิลลิกรัม (w:w) ที่ pH 9 และปริมาณเอทานอล 0.50 เท่า

4.2 การผลิตอิมัลชันลูทีนในเวย์โปรตีนไอโซเลตร่วมกับการเติมสารลดแรงตึงผิวมวล

โมเลกุลต่ำ

ในการทดลองจะมีการเติมสารลดแรงตึงผิวที่มีมวลโมเลกุลต่ำ ได้แก่ ทวิน 80 (Tween-80) หรือเลซิธิน (Lecithin) ร่วมกับการใช้เวย์โปรตีนไอโซเลต (Whey protein isolate: WPI) เพื่อเพิ่มประสิทธิภาพการห่อหุ้มลูทีนในระบบอิมัลชัน และเพื่อเพิ่มความคงตัวของขนาดอนุภาคนาโนลูทีนในระหว่างการเก็บรักษา

4.2.1 ประสิทธิภาพการห่อหุ้มลูทีนในเวย์โปรตีนไอโซเลตร่วมกับการเติมสารลดแรงตึงผิวมวลโมเลกุลต่ำ

การผลิตอนุภาคลูทีนนาโนที่ห่อหุ้มด้วยเวย์โปรตีนไอโซเลต (WPI), เวย์โปรตีนไอโซเลตร่วมกับทวิน 80 (WPI-Tween 80) และ เวย์โปรตีนไอโซเลตร่วมกับเลซิธิน (WPI-lecithin) อาศัยหลักการใช้ของอิมัลซิไฟเออร์ที่มีโมเลกุลขนาดเล็กสามารถดูดซับบนและสร้างพื้นผิวอนุภาคได้อย่างรวดเร็วกว่าโมเลกุลโปรตีนที่มีขนาดใหญ่ในระหว่างการทำอิมัลชัน (Jafari *et al.*, 2007; McClements, 1999) ซึ่งจะมีผลต่อประสิทธิภาพการห่อหุ้มสารสำคัญ โดยผลจากการทดลอง พบว่าการห่อหุ้มลูทีนด้วยเวย์โปรตีนไอโซเลตเพียงอย่างเดียว (only WPI) มีค่าประสิทธิภาพการห่อหุ้มอยู่ที่ประมาณร้อยละ 87.14 (ตารางที่ 4.5) และการใช้สารลดแรงตึงผิวที่มีมวลโมเลกุลต่ำร่วมกับการใช้เวย์โปรตีนไอโซเลต ได้แก่ WPI-Tween-80 และ WPI-lecithin จะให้ค่าประสิทธิภาพการห่อหุ้มลูทีนอยู่ที่ร้อยละ 91.36 และ 88.47 ตามลำดับ โดยค่าที่ได้มีความแตกต่างกันอย่างมีนัยสำคัญทางสถิติ ($p < 0.05$) ผลการศึกษานี้สอดคล้องกับผลการศึกษาของ Sari และคณะ (2013) ซึ่งพบว่าสามารถใช้ WPC-Tween 80 ในการห่อหุ้มอนุภาคนาโนอิมัลชันเคอคูมินที่ทำให้มีประสิทธิภาพการห่อหุ้มเคอคูมินมากกว่าร้อยละ 90 เนื่องจาก Tween-80 สามารถทำ anionic complex กับโปรตีนที่มีประจุบวกซึ่งส่งผลต่อประสิทธิภาพการเก็บของนาโนอิมัลชันที่สูงขึ้น

การผลิตอนุภาคลูทีนที่ห่อหุ้มด้วย WPI-Tween-80 สามารถเพิ่มประสิทธิภาพการกักเก็บได้สูง เนื่องจากสารลดแรงตึงผิวที่โมเลกุลต่ำอย่าง Tween-80 มีความสามารถลดแรงตึงผิวได้สูง เข้าดูดซับบนพื้นผิวอนุภาคได้อย่างรวดเร็ว เพราะมีพฤติกรรมดูดซับแบบแข่งขันบนอินเทอร์เฟซ (interface) ถึงแม้ว่าโปรตีนจะมีความสามารถในการลดแรงตึงผิว แต่จะน้อยกว่าสารลดแรงตึงผิวมวลโมเลกุลต่ำ แต่โปรตีนนอกเหนือจะลดแรงตึงผิวบน interfacial ยังสามารถสร้างฟิล์ม viscoelastic รอบหอยอนุภาค ซึ่งเกิดจากปฏิสัมพันธ์ระหว่างโมเลกุล non-covalent และ covalent disulphide เกิดการ cross-linking ในขณะที่สารลดแรงตึงผิวโมเลกุลต่ำไม่สามารถสร้างฟิล์มที่มีความยืดหยุ่นได้ ดังนั้นควรมีการใช้สารลดแรงตึงผิวทั้งโมเลกุลสูงและโมเลกุลต่ำเพิ่มประสิทธิภาพการกักเก็บมากยิ่งขึ้น (Courthaudon *et al.*, 1991)

เอกสารนี้เป็นเอกสารที่สงวนไว้สำหรับการใช้งานเพื่อการศึกษาเท่านั้น ไม่อนุญาตให้นำไปใช้ประโยชน์ด้านการค้าไม่ว่ากรณีใดๆ ทั้งสิ้น อีกทั้งห้ามมิให้ตัดแปลงเนื้อหา และต้องอ้างอิงถึงเจ้าของเอกสารทุกครั้งที่มีการนำไปใช้

4.2.2. ลักษณะของอนุภาคลูทีนที่ถูกห่อหุ้มด้วยเวย์โปรตีนไอโซเลตร่วมกับการเติมสารลดแรงตึงผิวมวลโมเลกุลต่ำ

4.2.2.1. ผลของการใช้สารลดแรงตึงผิวร่วมกับเวย์โปรตีนไอโซเลตต่อขนาดอนุภาคลูทีน

ผลจากการศึกษาขนาดของอนุภาคลูทีนที่ถูกห่อหุ้มด้วยสารลดแรงตึงผิวที่มีมวลโมเลกุลต่ำร่วมกับการใช้เวย์โปรตีนไอโซเลต พบว่าอนุภาคลูทีนที่ห่อหุ้มด้วย WPI, WPI-Tween-80 และ WPI-lecithin มีขนาดหยาบ 203.5 ± 22.51 , 143.0 ± 12.40 และ 105.3 ± 18.82 นาโนเมตร ตามลำดับ (ตารางที่ 4.5) โดยค่า PDI ซึ่งเป็นค่าที่บ่งถึงการกระจายตัวของอนุภาคลูทีนในระบบอิมัลชัน มีค่าน้อยกว่า 0.30 ซึ่งค่า PDI ที่ต่ำนี้ จะแสดงถึงความคงตัวของอนุภาคนาโนในการเก็บรักษาที่มาก

การเติมสารลดแรงตึงผิวที่มีมวลโมเลกุลต่ำอย่าง Lecithin และ Tween-80 เข้าสู่ระบบจะส่งผลให้ขนาดอนุภาคนาโนลูทีนมีขนาดเล็กลงอย่างมีนัยสำคัญทางสถิติ ($p < 0.05$) ทั้งนี้อาจเนื่องมาจากการสารลดแรงตึงผิวขนาดเล็กนี้จะสามารถเคลื่อนไปดูดซับที่ผิวและล้อมรอบลูทีนไว้ได้อย่างรวดเร็ว ซึ่งจะป้องกันการเข้ามารวมตัวกันของลูทีน อีกทั้งเนื่องจากสารลดแรงตึงผิวมวลโมเลกุลต่ำมีขนาดเล็ก ส่งผลให้ขนาดอนุภาคลูทีนที่ล้อมรอบด้วยสารลดแรงตึงผิวร่วมที่ได้มีขนาดเล็ก เมื่อเปรียบเทียบกับการใช้ WPI ในระบบเพียงอย่างเดียว

งานวิจัยของ Mantovani และคณะ (2013) รายงานว่าส่วนผสมของ WPI และ lecithin จะเกิดโครงสร้างเมทริกซ์ที่ซับซ้อนกว่าสารลดแรงตึงผิวตัวอื่นๆ เพราะมีองค์ประกอบหลักเป็นฟอสโฟลิปิด (phospholipids) โดยมีปัจจัยระดับโมเลกุลคือโครงสร้างส่วนหัวของเลซิธิน (เช่น โคลีนกับเอธานอลามีน) และ โซ่กรดไขมัน (เช่น palmitoyl กับ dioleyl) ทำให้สามารถเกิดปฏิสัมพันธ์กับโมเลกุลไขมันมากกว่า Tween-80 ซึ่งเป็นสารลดแรงตึงผิวที่มีมวลโมเลกุลต่ำที่สุด จึงสามารถลดแรงตึงผิวอย่างรวดเร็วในขณะที่ผลิตอนุภาคนาโน เกิดการดูดซับแบบแข่งขันกับ โมเลกุล โปรตีน ส่งผลให้ปริมาณเวย์โปรตีนบนอินเตอร์เฟซลดลง สามารถทำให้ได้อนุภาคนาโนที่มีขนาดเล็กกว่าการใช้โปรตีนเพียงอย่างเดียว

4.2.2.2 ผลของการใช้สารลดแรงตึงผิวร่วมกับเวย์โปรตีนไอโซเลตต่อค่าศักย์ซีต้าของอนุภาคลูทีนนาโนอิมัลชัน

ค่าความต่างศักย์ไฟฟ้าบริเวณพื้นผิวอนุภาค สามารถใช้ในอธิบายความคงตัวในการกระจายตัวของอนุภาคนาโนอิมัลชันได้ ซึ่งศักย์ซีต้าในอนุภาคแขวนลอยที่เสถียรจะมีค่าอยู่ในช่วงมากกว่า +30 มิลลิโวลต์ หรือ น้อยกว่า -30 มิลลิโวลต์ (Clogston and Patri, 2011) ค่าศักย์

ซีต้ามีผลต่อลักษณะประจุของพื้นผิวของอนุภาคนาโน โดยหากมีค่าสัมบูรณ์สูงจะนำไปสู่

เอกสารนี้เป็นเอกสารที่สงวนไว้สำหรับการใช้งานเพื่อการศึกษาเท่านั้น ไม่อนุญาตให้นำไปใช้ประโยชน์ด้านการค้า
ไม่ว่ากรณีใดๆ ทั้งสิ้น อีกทั้งห้ามมิให้ตัดแปลงเนื้อหา และต้องอ้างอิงถึงเจ้าของเอกสารทุกครั้งที่มีการนำไปใช้

แรงผลักดันที่มากขึ้นระหว่างอนุภาค ซึ่งสามารถช่วยเพิ่มความคงตัวของอนุภาคนาโนได้

จากการทดลองพบว่าค่าศักย์ซีต้าของค่าอนุภาคนาโนลูทีน WPI, WPI-Tween-80 และ WPI-lecithin มีค่าเท่ากับ -34.92, -26.91 และ -49.09 มิลลิโวลต์ ซึ่งมีความแตกต่างกันอย่างมีนัยสำคัญทางสถิติ ($p < 0.05$) (ตารางที่ 4.5) การใช้เวย์โปรตีนไอโซเลตเพียงอย่างเดียวแสดงให้เห็นถึงศักย์ซีต้าที่เป็นลบ เนื่องจาก WPI มีประจุลบที่พีเอช (pH) กลาง และจากการเติมสารลดแรงดึงผิวที่มีมวลโมเลกุลต่ำอย่างเลซิทินและทวิน 80 ส่งผลให้ค่าศักย์ซีต้าอนุภาคนาโนลูทีนเปลี่ยนแปลงไปจากเดิม โดยค่าศักย์ซีต้าใน lecithin เป็นลบสูง เป็นผลมาจากกลุ่มฟอสเฟตของเลซิทิน นอกจากนี้พบว่าเลซิทิน สามารถเหนี่ยวนำให้เกิดการคลายสายของโครงสร้างโปรตีนจนแสดงประจุลบบริเวณพื้นผิวของโปรตีนจึงทำให้มีค่าศักย์ซีต้าอนุภาคนาโนลูทีนมีค่าลบที่สูงขึ้น ในขณะที่การใช้ทวิน คงจะมีหมู่โมเลกุล hydrophilic (polyoxyethylene) ที่มีขนาดใหญ่ที่ใส่ดูดซับพื้นผิวอนุภาคจึงทำให้เกิดการเปลี่ยนแปลงค่าศักย์ซีต้าโดยหลักๆ จากการใส่เวย์โปรตีนไอโซเลตเพียงอย่างเดียว (Klang and Valenta, 2011)

ตารางที่ 4.4 ขนาดอนุภาค ค่าการกระจายตัวของอนุภาค ค่าศักย์ซีต้า และค่าประสิทธิภาพการห่อหุ้มลูทีนเวย์โปรตีนไอโซเลตร่วมกับการเติมสารลดแรงดึงผิวมวลโมเลกุลต่ำ

ตัวอย่าง	ขนาดอนุภาค (nm)	PDI (a.u.)	Zeta Potential (mV)	EE(%)
WPI	203.5±22.51c	0.243	-34.92±0.26b	87.141±0.29c
WPI-Tween-80	143.0±12.40b	0.234	-26.91±0.31c	91.361±0.20a
WPI- lecithin	105.3±18.82a	0.284	-49.09±0.17a	88.471±0.20b

4.2.3 ความคงตัวของลูทีนที่ถูกห่อหุ้มด้วยเวย์โปรตีนไอโซเลตร่วมกับสารลดแรงดึงผิวมวลโมเลกุลต่ำภายใต้สภาวะการเก็บรักษาที่อุณหภูมิต่างๆ

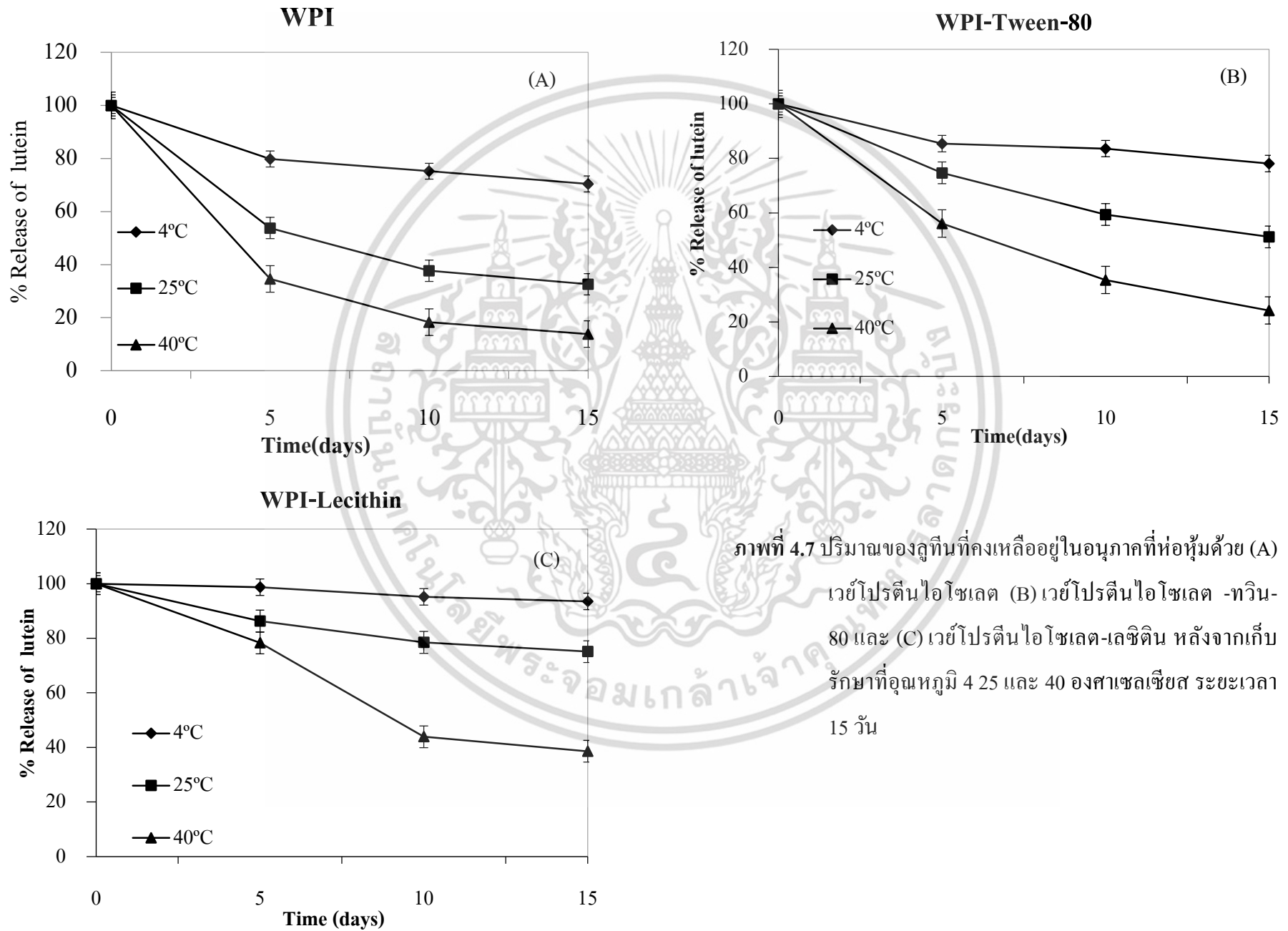
ผลจากการศึกษาความคงตัวของลูทีนที่ถูกห่อหุ้มด้วยอนุภาคนาโนลูทีนที่ห่อหุ้มด้วย WPI, WPI-Tween-80 และ WPI-lecithin ที่อุณหภูมิ 4, 25 และ 40 องศาเซลเซียส เป็นระยะเวลา 5, 10, 15 วัน พบว่าทุกสภาวะการห่อหุ้มอนุภาคนาโนลูทีนด้วย WPI, WPI-Tween-80 และ WPI-lecithin มีการสลายตัวมากขึ้น เมื่อทำการเก็บรักษาอิมัลชันในสภาวะที่มีอุณหภูมิสูงขึ้น โดยเมื่อสังเกตแนวโน้มการสลายตัวของลูทีนที่ห่อหุ้มด้วยเวย์โปรตีนไอโซเลต (WPI) เพียงอย่างเดียว เมื่อเก็บไว้ที่ 4, 25 และ 40 องศาเซลเซียส เป็นเวลา 15 วัน พบว่าปริมาณการสลายตัวของลูทีนเพิ่มขึ้นร้อยละ 29.6, 67.4 และ 86.2 ตามลำดับ

เอกสารนี้เป็นเอกสารที่สงวนไว้สำหรับการใช้งานเพื่อการศึกษาเท่านั้น ไม่อนุญาตให้นำไปใช้ประโยชน์ด้านการค้าไม่ว่ากรณีใดๆ ทั้งสิ้น อีกทั้งห้ามมิให้ตัดแปลงเนื้อหา และต้องอ้างอิงถึงเจ้าของเอกสารทุกครั้งที่มีการนำไปใช้

ในส่วนของการเติมสารลดแรงตึงผิวมวลโมเลกุลต่ำในการห่อหุ้มลูทีน ทั้ง WPI-*lecithin* และ WPI-Tween-80 พบแนวโน้มการสลายตัวของลูทีนต่อระยะเวลาการเก็บรักษาที่คล้ายคลึงกัน แต่เมื่อเปรียบเทียบกับ การห่อหุ้มด้วยเวย์โปรตีนไอโซเลต (WPI) เพียงอย่างเดียว พบว่าลูทีนเกิดการสลายตัวเร็วที่สุดในทุกอนุภาคนิวเคลียสการเก็บรักษา ยกตัวอย่างเช่น ที่ 25 องศาเซลเซียส การสลายตัวของลูทีนที่ห่อหุ้มด้วยเวย์โปรตีนไอโซเลต (WPI) เมื่อเก็บรักษาที่ระยะเวลา 15 วันพบว่าเกิดการสลายตัวประมาณร้อยละ 67.4 ในขณะที่ WPI-Tween-80 และ WPI-*lecithin* จะมีการลดลงของลูทีนในปริมาณที่ต่ำกว่า คิดเป็นประมาณร้อยละ 48.8 % และ 24.9% ตามลำดับ (ภาพที่ 4.7) ทั้งนี้พบว่า WPI-*lecithin* ให้ความเสถียรในการเก็บรักษาลูทีนที่สูงกว่า WPI-Tween-80 อาจเนื่องมาจากการที่โครงสร้างของ WPI ร่วมกับ *lecithin* เกิดเป็นเมทริกซ์ที่ซับซ้อนกว่าสารลดแรงตึงผิวตัวอื่นๆ (Mantovani *et al.*, 2013)



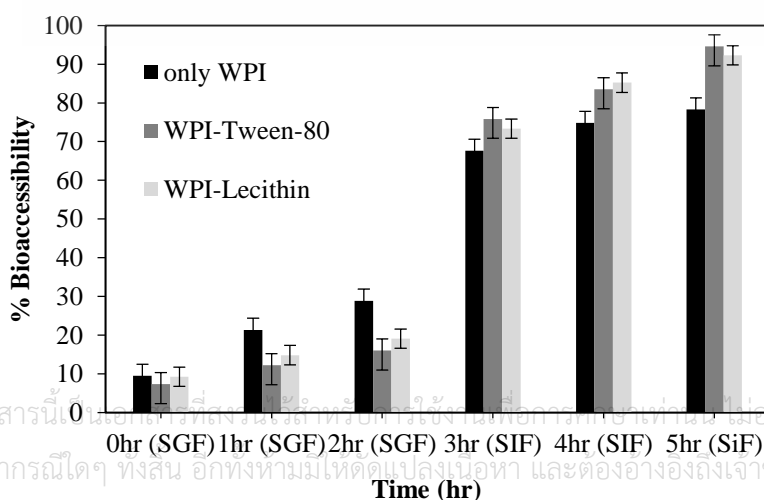
เอกสารนี้เป็นเอกสารที่สงวนไว้สำหรับการใช้งานเพื่อการศึกษาเท่านั้น ไม่อนุญาตให้นำไปใช้ประโยชน์ด้านการค้าไม่ว่ากรณีใดๆ ทั้งสิ้น อีกทั้งห้ามมิให้ดัดแปลงเนื้อหา และต้องอ้างอิงถึงเจ้าของเอกสารทุกครั้งที่มีการนำไปใช้



4.2.4. การปลดปล่อยลูทีนจากอนุภาคลูทีนที่ถูกห่อหุ้มด้วยเวย์โปรตีนไอโซเลตร่วมกับสารลดแรงตึงผิวมวล์โมเลกุลต่ำภายใต้สภาวะจำลองการย่อยอาหารในหลอดทดลอง

ผลการตรวจสอบการปลดปล่อยลูทีนภายใต้สภาวะจำลองระบบการย่อยอาหารในหลอดทดลอง ของอนุภาคนาโนลูทีนที่ถูกห่อหุ้มด้วย WPI, WPI-Tween-80 และ WPI-lecithin พบว่าหลังจากผ่านการย่อยอาหารภายใต้สภาวะการย่อยอาหารแบบจำลองในกระเพาะอาหาร นาน 2 ชั่วโมง ลูทีนที่ถูกห่อหุ้มด้วย WPI-Tween-80 และ WPI-lecithin ถูกปลดปล่อยออกมาน้อยกว่าร้อยละ 20 ในขณะที่ลูทีนที่ถูกห่อหุ้มด้วยเวย์โปรตีนไอโซเลต (WPI) เพียงอย่างเดียว มีการปลดปล่อยลูทีนออกมาประมาณร้อยละ 30 (ภาพที่ 4.8) ความต้านทานการย่อยของนาโนอิมัลชัน (nanoemulsion) ต่อการย่อยของเอนไซม์เปปซิน (pepsin) ในน้ำในกระเพาะอาหาร เกิดจากความต้านทานของเบต้าแลคตาโกลบูลิน (beta-lactoglobulin) ต่อการย่อยอาหารของเปปซิน เนื่องจากเบต้าแลคตาโกลบูลินมีความสามารถทนต่อการสลายตัวของเอนไซม์ของกระเพาะอาหารได้ (Fu *et al.*, 2002) โดยเวย์โปรตีนไอโซเลตมีส่วนประกอบของเบต้าแลคตาโกลบูลินถึงร้อยละ 65

หลังจากผ่านไป 5 ชั่วโมง ภายใต้การย่อยอาหารแบบจำลองในกระเพาะอาหารและลำไส้เล็ก การปลดปล่อยลูทีนที่ถูกห่อหุ้มด้วยเวย์โปรตีนไอโซเลต (WPI) เพียงอย่างเดียว มีค่าประมาณร้อยละ 75 (รูปที่ 4.8) โดยที่ปริมาณการปลดปล่อยลูทีนที่ถูกห่อหุ้มด้วย WPI-Tween-80 และ WPI-lecithin มีค่าสูงถึงประมาณร้อยละ 94.6 และ 92.3 ตามลำดับ โดยงานวิจัย Sarkar และคณะ (2010) ได้อธิบายถึงลักษณะของเบต้าแลคตาโกลบูลินเมื่อผ่านสภาวะการย่อยจากลำไส้เล็กจะถูกย่อยเป็นเปปไทด์สายสั้นๆ ซึ่งจะส่งผลให้ลูทีนถูกปลดปล่อยออกมา และเนื่องจากอนุภาคของลูทีนที่ถูกห่อหุ้มด้วย WPI-lecithin และ WPI-Tween-80 มีขนาดอนุภาคที่เล็กส่งผลให้มีพื้นที่ผิวมาก ทำให้สามารถส่งเสริมการเข้าทำงานของเอนไซม์ ทำให้มีแนวโน้มการปลดปล่อยที่สูงขึ้น ทั้งนี้ อาจเป็นผลเนื่องมาจาก WPI-lecithin มีโครงสร้างที่ซับซ้อนกว่า จึงเกิดการปลดปล่อยลูทีนออกมาได้น้อยกว่า WPI-Tween-80 เมื่อใช้ระยะเวลาการย่อยที่เท่ากัน



ภาพที่ 4.8 ปริมาณลูทีนที่ถูกปลดปล่อยจากอนุภาคลูทีนในเวย์โปรตีนไอโซเลตในสภาวะจำลองการย่อยอาหารในหลอดทดลองที่ห่อหุ้มอนุภาคลูทีนด้วยเวย์โปรตีนไอโซเลต, เวย์โปรตีนไอโซเลตกับ Tween-80 และ เวย์โปรตีนไอโซเลตกับเลซิธิน(เปอร์เซ็นต์)

บทที่ 5

สรุปผลการทดลอง และข้อเสนอแนะ

5.1 สรุปผลการทดลอง

5.1.1 ผลจากการศึกษาการห่อหุ้มลูทีนด้วยเวย์โปรตีนไอโซเลต พบว่า สภาวะที่ใช้การผลิต โดยการเตรียมสารละลายเวย์โปรตีนไอโซเลตที่ระดับพีเอช 9 มีการเติมเอทานอลลงในสารละลาย เวย์โปรตีนไอโซเลตในปริมาณ 0.75 เท่า และมีอัตราส่วนระหว่างลูทีนต่อเวย์โปรตีน ไอโซเลตอยู่ที่ 2.50:100 สามารถผลิตอนุภาคลูทีนได้ประมาณ 198 นาโนเมตร โดยมีค่าประสิทธิภาพการ ห่อหุ้มสารลูทีนในเวย์โปรตีนไอโซเลตสูงถึงกว่าร้อยละ 90 และมีการปลดปล่อยสารลูทีนในการ จำลองระบบการย่อยอาหารในหลอดทดลองได้มากกว่าร้อยละ 80

5.1.2 ผลจากการผลิตนาโนอิมัลชันของลูทีน พบว่า การใช้สารลดแรงตึงผิวมวลโมเลกุลต่ำ ทั้ง ทวิน 80 และเลซิติน ร่วมกับการใช้เวย์โปรตีนไอโซเลต จะส่งผลให้ค่าประสิทธิภาพการห่อหุ้มลูทีน การเก็บรักษาลูทีน รวมถึงการปลดปล่อยสารลูทีนในการจำลองระบบการย่อยอาหารในหลอด ทดลองสูงกว่าการใช้เวย์โปรตีนไอโซเลตเป็นตัวห่อหุ้มแต่เพียงอย่างเดียว โดยที่ขนาดอนุภาคนาโนอิมัลชันของลูทีนที่ได้จากการสารลดแรงตึงผิวมวลโมเลกุลต่ำ (ทวิน 80 และเลซิติน) ร่วมกับการ ใช้เวย์โปรตีนไอโซเลตจะมีขนาดอนุภาคนาโนที่เล็กกว่า

5.2 ข้อเสนอแนะ

การเพิ่มเสถียรภาพของอนุภาคนาโนของลูทีน อาจจะสามารถทำได้ด้วยการเติมสารต้าน ออกซิเดชันลงลูทีนที่ใช้

บรรณานุกรม

- พงศธร ตั้งขี้เผือก. 2554. สารสกัดแคโรทีนอยต์ในดวงตา: ลูทีนและซีแซนทีน. สถาบันโภชนาการ มหาวิทยาลัยมหิดล. กรุงเทพฯ.
- พิทยา ภูมิเรชวรรณ. 2555. โรคตาที่พบบ่อยในผู้สูงอายุ. คณะแพทยศาสตร์ศิริราชพยาบาล มหาวิทยาลัยมหิดล. กรุงเทพฯ.
- Aberkane, L., Jasniewski, J., Gaiani, C., Hussain, R., Scher, J. and Sanchez, C. 2012. "Structuration mechanism of B-lactoglobulin Eacacia gum assemblies in presence of quercetin." **J. Food hyd.** 29: 9-20.
- Abbasi, A., Djomeh, Z.E., Mousavi, M.A.E. and Davoodi, D. 2014. "Stability of vitamin D3 encapsulated in nanoparticles of whey protein isolate." **Food Chem.** 143: 379–383
- Adjonu, R., Doran, G., Torley, P., and Agboola, S. "Whey protein peptides as components of nanoemulsions: A review of emulsifying and biological functionalities **J Food Eng.** 122: 15-27
- Albanes, D., Virtamo, J., Taylor, P.R., Rautalahti, M., Pietinen, P., Heinonen, O.P., 1996. "Effects of supplemental betacarotene, cigarette smoking, and alcohol consumption on serum carotenoids in the Alpha-Tocopherol, Beta-Carotene Cancer Prevention Study." **J. Clinic Nutrition.** 66: 336-372.
- Aleman, T.S., Duncan, J.L., Bieber, M.L., de Castro, E., Marks, D., Gardner, L.M., Steinberg, J.D., Cideciyan, A.V., Maguire, M.G. and Jacobson, S.G. 2001. "Macular pigment and lutein supplementation in retinitis pigmentosa and usher syndrome" **Invest. Ophthalmol.** 42: 1873-1881.
- Allah Mousavi, S.H., Chobert, M.J. Bordbar, A.K. and Haertl, T. 2008. "Ethanol Effect on the Structure of B-Lactoglobulin B and Its Ligand Binding" **J. Agric. Food Chem.** 56: 8680-8684
- Alves-Rodrigues, A. and Shao, A. 2004. "The science behind lutein." **Toxicol Letter.** 150: 57–83

เอกสารนี้เป็นเอกสารที่สงวนไว้สำหรับการใช้งานเพื่อการศึกษาเท่านั้น ไม่อนุญาตให้นำไปใช้ประโยชน์ด้านการค้าไม่ว่ากรณีใดๆ ทั้งสิ้น อีกทั้งห้ามมิให้ตัดแปลงเนื้อหา และต้องอ้างอิงถึงเจ้าของเอกสารทุกครั้งที่มีการนำไปใช้

- Anand, P., Nair, H. B., Sung, B., Kunnumakkara, A. B., Yadav, V. R. and Tekmal, R. R. 2010. "Design of curcumin-loaded PLGA nanoparticles formulation with enhanced cellular uptake, and increased bioactivity in vitro and superior bioavailability in vivo." **Int J Pharm.** 79(3): 330-338.
- Arts, I. C. W., Van de Putte, B. and Hollman, P. C. H. 2000. "Catechin contents of (BLG) nanoparticles. Journal of Microencapsulation." **Food Chem.** 108: 1122-1132.
- Augustin, M. A. and Sanguansri, L. 2008. "Encapsulation of bioactives." **Food materials science Principles and practice.** New York: Springer. pp 601.
- Bagheri, L., Madadlou, A., Yarmand, M. and Mousavi, M.E. 2013. "Nanoencapsulation of date palm pit extract in whey protein particles generated via desolvation method. **Food Res Int.** 51: 866-871.
- Baroli, I. and Niyogi, K., 2000. "Molecular genetics of xanthophyll dependent photoprotection in green algae and plants." **Philos. Trans. R. Soc. Lond B. Biol. Sci.** 355: 1385-1394.
- Bengoechea, C., Peinado, I., and McClements, D. J. 2011. "Formation of protein nanoparticles by controlled heat treatment of lactoferrin: factors affecting particle characteristics." **J. Food hyd.** 25: 1354-1360.
- Bernstein, P.S., Zhao, D.Y., Wintch, S.W., Ermakov, I.V., McClane, R.W. and Gellermann W. 2002. "Resonance Raman measurement of macular carotenoids in normal subjects and in age-related macular degeneration patients." **Invest. Ophthalmology.** 109: 1780-1787.
- Bhattacharyya, S., Datta, S., Mallick, B., Dhar, P. and Ghosh, S. 2010. "Lutein content and in vitro antioxidant activity of different cultivars of Indian marigold flower (*Tagetes patula L.*) extracts." **J. Agric. Food Chem.** 58(14): 8259-8264.
- Bilati, U., Allémann, E. and Doelker, E. 2005. "Development of a nanoprecipitation by two step desolvation a new preparation method surface modifications and cell uptake" **Int J Pharm.** 17(2): 187-193.

- Birkhauser, V., Chew, B. P. and Park, J. S. 2004. "Carotenoid action on the immune response." **J. Nutr.** 134: 257-261.
- Bone, R.A., Landrum, J.T., Guerra, L.H. and Ruiz, C.A. 2003. "Lutein and zeaxanthin dietary supplements raise macular pigment density and serum concentrations of these carotenoids in humans." **J. Nutr.** 133: 992-998.
- Bootz, A., Vogel, V., Schubert, D. and Kreuter, J. 2004. "Comparison of scanning electron microscopy, dynamic light scattering and analytical ultracentrifugation for the sizing of poly(butyl cyanoacrylate) nanoparticles." **Int J Pharm.** 57(2): 369-375.
- Bowen, P.E., Herbat-Espinosa, S.M., Hussain, E.A. and Stacewicz-Sapuntzakis, M. 2002. "Esterification does not impair lutein bioavailability in humans." **J. Nutr.** 132: 3668-3673.
- Breithaupt, D.E., Bamedi, A. and Wirt, U. 2002. "Carotenol fatty acid esters: easy substrates for digestive enzymes." **Comp. Biochem. Physiol. B: Biochem. Mol. Biol.** 132: 721-728.
- Britton, G., Liaaen-Jensen, S., and Pfander H. 2004. **Carotenoids Handbook**. Boston, Berlin: Basel pp.408
- Brown, L., Rimm, E.B., Seddon, J.M., Giovannucci, E.L., Chasan-Taber, L., Spiegelman, D., Willett, W.C. and Hankinson, S.E. 1999. "A prospective study of carotenoid intake and risk of cataract extraction in US men." **AJ. Clinic Nutrition.** 6: 517-524.
- Bryant, C.M. and McClements, D.J. 1998. "Molecular basis of protein functionality with special consideration of cold-set gels derived from heat-denatured whey." **Trend Food Sci. Tech.** 9: 143-151.
- Buzea, C., Pacheco, I.I. and Robbie, K. 2007. "Nanomaterials and nanoparticles: sources and toxicity." **Bio. Interphases.** 2: 170-182.
- Changdong Z., Hui C., Pengfei J., Yijing Y. and Jing H., 2014. "Preparation of lutein-loaded particles for improving solubility and stability by Polyvinylpyrrolidone (PVP) as an emulsion-stabilizer." **Food Chem.** 156: 123-128

- Chasan-Taber, L., Willett, W.C., Seddon, J.M., Stampfer, M.J., Rosner, B., Colditz, G.A., Speizer, F.E. and Hankinson, S.E. 1999. "A prospective study of carotenoid and Vitamin A intakes and risk of cataract extraction in US women." **AJ. Clinic Nutrition.** 70: 509-516.
- Chen, L., Remondetto, G.E. and Subirade, M. 2006. "Food protein-based materials as nutraceutical delivery systems". **Trends Food Sci Technol.** 17(5): 272-283.
- Chen, T. Yamaguchi, H. Takamura, and T.M. Atoba. 2010. "Novel technology for the self-assembled catechin/gelatin nanoparticles and their characterization." **J. Agric. Food Chem.** 58(11): 6728-6734.
- Chow, C.K. 2000. **Vitamin E. Biochemical and Physiological Aspects of Human Nutrition.** Philadelphia: W.B. Saunders Company. pp 584–596.
- Chuacharoen, T. and Sabliov, C.M. 2016. "Stability and controlled release of lutein loaded in zein nanoparticles with and without lecithin and pluronic F127 surfactants." **Trends Food Sci Technol.** 503: 11-18.
- Coester, C.J., Langer, K., Von Briesen, H. and Kreuter, J., 2000. "Gelatin nanoparticles a combination of beta carotene and Vitamin A on lung cancer and cardiovascular disease." **N. England. J. Medical.** 334: 1150–1155.
- Croguennec, T., O’Kennedy, B.T. and Mehra, R. 2004. "Heat-induced denaturation/aggregation of beta-lactoglobulin A and B: kinetics of the first intermediates formed." **Int. Dairy J.** 14: 399-409.
- Dagnelie, G., Zorge, I.S. and McDonald, T.M. 2000. "Lutein improves visual function in some patients with retinal degeneration: a pilot study via the Internet." **Optometry.** 71: 14-16.
- de la Fuente, M.A., Singh, H. and Hemar, Y. 2002. "Recent advances in the characterisation of heat-induced aggregates and intermediates of whey proteins." **Trend Food Sci. Tech.** 13: 262-274.
- Demmig-Adams, B., Gilmore, A.M. and Adams W.W. 1996. "Carotenoids: in vivo function of carotenoids in higher plants." **FASEB J.** 10: 403-412.

เอกสารนี้เป็นเอกสารที่สงวนไว้สำหรับการใช้งานเพื่อการศึกษาเท่านั้น ไม่อนุญาตให้นำไปใช้ประโยชน์ด้านการค้า ไม่ว่าจะกรณีใดๆ ทั้งสิ้น อีกทั้งห้ามมิให้ตัดแปลงเนื้อหา และต้องอ้างอิงถึงเจ้าของเอกสารทุกครั้งที่มีการนำไปใช้

- Desfougeres, Y., Croguennec, T., Lechevalier, V., Bouhallab, S. and Nau, F. 2010. “Charge and size drive spontaneous self-assembly of oppositely charged globular proteins into microspheres.” **J. Phy ChemB**. 114: 4138-4144.
- Duncan, I.L., Aleman, T.S., Gardner, L.M., De Castro, E., Marks, D., Emmons, I.M., Bieber, M.L., Steinberg, I.D., Bennett, I., Stone, E.M., MacDonald, I.M., Cideciyan, A.V., Maguire, M.G. and Jacobson, S.G. 2002. “Macular pigment and lutein supplementation in choroideremia.” **Exp. Eye Res**. 74: 371-381.
- Edwards, P.J.B. and Jameson, G.B. 2014. Chapter 7 - Structure and stability of whey proteins. **In Milk Proteins**. 2nd ed. pp. 201-242.
- Elzoghby, A. O., El-Fotoh, W. S. and Elgindy, N. A. 2011. “Casein based formulations as promising controlled release drug delivery systems.” **J. Cont Re**. 153: 206-216.
- Esmaili, M., Ghaffari, S. M., Moosavi-Movahedi, Z., Atri, M. S., Sharifzadeh, A., Farhadi, M., et al. 2011. Beta casein-micelle as a nano vehicle for solubility enhancement of curcumin; food industry application. **LWT e Food Sci Tech**. 44: 2166-2172.
- Eye Disease Case–Control Study Group, E., 1993. “Antioxidant status and neovascular age-related macular degeneration” **Arch. Ophthalmol**. 111: 104-109.
- Fu, T.J., Abbott, U.R. and Hatzos, C.J. 2002. “Digestibility of food allergens and nonallergenic proteins in simulated gastric fluid and simulated intestinal fluid-a comparative study.” **Agric Food Chem**. 50(24): 54-60.
- Gao, S., and Hu, M. 2010. Bioavailability challenges associated with development of anti-cancer phenolics. *Mini Reviews in Medicinal Chemistry*, 10, 550-567.
- Gibbs, B. F., Kermasha, S., Alli, I. and Mulligan, C. N. 1999. “Encapsulation in the food industry: a review.” **Int J Food Sci Nutr**. 50: 213- 224.
- Giroux, H. J., Houde, J. and Britten, M. 2010. “Preparation of nanoparticles from denatured whey protein by pH-cycling treatment.” **J. Food hyd**. 24: 341-346.

เอกสารนี้เป็นเอกสารที่สงวนไว้สำหรับการใช้งานเพื่อการศึกษาเท่านั้น ไม่อนุญาตให้นำไปใช้ประโยชน์ด้านการค้า
ไม่ว่ากรณีใดๆ ทั้งสิ้น อีกทั้งห้ามมิให้ตัดแปลงเนื้อหา และต้องอ้างอิงถึงเจ้าของเอกสารทุกครั้งที่มีการนำไปใช้

- Granado, F., Olmedilla, B., Gil-Martinez, E. and Blanco, I. 1998. "Lutein ester in serum after lutein supplementation in human subjects." **Int J Food Sci Nutr.** 80: 445-449.
- Graves, S., Meleson, K., Wilking, J., Lin, M. and Mason, T., 2005. "Structure of concentrated nanoemulsions." **Phys Chem Chem Phys.** 122-134.
- Grzelczak, M., Vermant, J., Furst, E. M. and Liz-Marzan, L. M. 2010. "Directed selfassembly of nanoparticles." **ACS Nano.** 4(7): 3591-3605.
- Grzelczak, M., Vermant, J., Furst, E.M. and Liz-Marzn, L. M. 2010. "Directed self assembly of nanoparticles." **ACS Nano.** 4(7): 3591-3605.
- Gulseren, I., Fang, Y. and Corredig, M. 2012. "Whey protein nanoparticles prepared with desolvation with ethanol: characterization thermal stability and interfacial behavior." **J. Food hyd.** 29: 258-264.
- Gunasekaran, S., Ko, S. and Xiao, L. 2007. "Use of whey proteins for encapsulation and controlled delivery applications." **J Food Eng.** 83: 31-40.
- Heidebach, T., Forst, P. and Kulozik, U. 2009. "Microencapsulation of probiotic cells by means of rennet-gelation of milk proteins." **J. Food hyd.** 23: 1670-1677.
- Hennekens, C.H., Buring, I.E., Manson, I.E., Stampfer, M., Rosner, B., Cook, N.R., Belanger, C., LaMotte, F., Gaziano, J.M., Ridker, P.M., Willet, W. and Peto, R. 1996. "Lack of effect of long-term supplementation with beta carotene on the incidence of malignant neoplasms and car-diovascular disease." **Int J Food Sci Nutr.** 334: 1145-1149.
- Hoffmann, M.A.M. and van Mil, P.J.J.M. 1997. "Heat-induced aggregation of B-lactoglobulin: Role of the free thiol group and disulfide bonds." **J. Agric. Food Chem.** 45: 2942-2948.
- Holick, C.N., Michaud, D.S., Stolzenberg-Solomon, R., Mayne, S.T., Pietinen, P., Taylor, P.R., Virtamo, J. and Albanes, D. 2002. "Dietary carotenoids, serum beta carotene, and retinol and risk of lung cancer in the alpha-tocopherol, beta-carotene cohort study." **Int J Food Sci Nutr.** 156: 536-547.

เอกสารนี้เป็นเอกสารที่สงวนไว้สำหรับการใช้งานเพื่อการศึกษาเท่านั้น ไม่อนุญาตให้นำไปใช้ประโยชน์ด้านการค้า
ไม่ว่ากรณีใดๆ ทั้งสิ้น อีกทั้งห้ามมิให้ดัดแปลงเนื้อหา และต้องอ้างอิงถึงเจ้าของเอกสารทุกครั้งที่มีการนำไปใช้

- Ibrahim G., Yuan F. and Milena C. 2012. "Zinc incorporation capacity of whey protein nanoparticles prepared with desolvation with ethanol." **Food Chem.** 135: 770-774.
- Industrial Organica 2011. GRAS Notification for lutein and zeaxanthin preparation (Lutemax 2020TM). **OmniActive Health Technologies Ltd.** 14-16.
- Jenkins, M.Y., Mitchell, G.V. and Grundel, E. 2000. "Natural tocopherols in a dietary supplement of lutein affect tissue distribution of tocopherols in young rats." **Nutr. Cancer.** 37: 207-214.
- Jiande W., Mengxuan S., Wei Li., Luhai Z., Ze W., Xinzhong Y., Willem and Yuan L. 2015. "Pickering emulsions stabilized by whey protein nanoparticles prepared by thermal cross-linking" **J. Food hyd.** 127: 96-104.
- Johnson, E.J., Hammond, B.R., Yeum, K.J., Qin, J., Wang, X.D., Castaneda, C., Snodderly, D.M. and Rusell, R.M. 2000. "Relation among serum and tissue concentrations of lutein and zeaxanthin and macular pigment density." **Int J Food Sci Nutr.** 71: 1555-1562.
- Jovanovic, S., Barac, M., Macej, O., Vucic, T. and Lacnjevac, C. 2007. "SDS-PAGE Analysis of soluble proteins in reconstituted milk exposed to different heat treatments" **Sensors** 7:371-383.
- Ju, Z.Y. and Kilara, A.1998. "Gelation of pH-Aggregated Whey Protein Isolate Solution Induced
- Khachik, F., Spangler, C.J. and Smith, J.C. 1997. "Identification, quantification, and relative concentrations of carotenoids and their metabolites in human milk and serum." **Anal. Chem.** 69: 1873-1881.
- Kitabatake, N., Wada, R. and Fujita, Y. 2001. "Reversible conformational change in beta-lactoglobulin A modified with N-ethylmaleimide and resistance to molecular aggregation on heating." **J. Agric. Food Chem.** 49: 4011-4018.
- Klang, V. and Valenta, C. 2011. "Zeta potential measurement. Lecithin-based nanoemulsions." **J Drug Deliv Sci Technol.** 21(1): 55-76.
- Ko, S. and Gunasekaran, S. 2006. "Preparation of sub 100 nm betalactoglobulin controlled delivery applications." **J Food Eng.** 83: 31-40.

เอกสารนี้เป็นเอกสารที่สงวนไว้สำหรับการใช้งานเพื่อการศึกษาเท่านั้น ไม่อนุญาตให้นำไปใช้ประโยชน์ด้านการค้า
ไม่ว่ากรณีใดๆ ทั้งสิ้น อีกทั้งห้ามมิให้ตัดแปลงเนื้อหา และต้องอ้างอิงถึงเจ้าของเอกสารทุกครั้งที่มีการนำไปใช้

- Kontopidis, G., Holt C and Sawyer, L. 2004. "Invited Review: B-Lactoglobulin: Binding Properties, Structure, and Function." **J. Dairy Sci.** 87: 785-796.
- Kontopidis, G., Holt, C. and Sawyer, L. 2004. "Beta-lactoglobulin:binding properties, structure, and function." **J Dairy Sci.** 87: 785-796.
- Kopsell, D.A., Curran-Celentano, J. and Wenzel, A.J. 2007. "Genetic variability for lutein concentrations in leafy vegetable crops can influence serum carotenoid levels and macular pigment optical density in human subjects." **ISHS Acta Horticulture.** 841: II International Symposium on Human Health Effects of Fruits and Vegetables.
- Kotake-Nara and Nagao A. 2011. "Absorption and metabolism of xanthophylls in Marine Drugs." **Int J Food Sci Nutr.** 9(6):1024-1037.
- Krinsky, N.I. 2002. "Possible biologic mechanisms for a protective role of xanthophylls." **Int J Food Sci Nutr.** 132: 540-542.
- Kritchevsky, S.B., Bush, A.J., Pahor, M. and Gross, M.D. 2000. "Serum carotenoids and markers of inflammation in nonsmokers." **Int J Food Sci Nutr.** 152: 1065-1070.
- Landrum, J.T., Bone, R.A., Jos, H., Kilburn, M.D., Moore, L.L. and Sprague, K.E. 1997. "A 1 year study of the macular pigment: the effect of 140 days of a lutein supplement." **Exp. Eye Res.** 65: 57-62.
- Le Marchand, L., Hankin, J.H., Kolonel, L.N., Beecher, G.R., Wilkens, L.R. and Zhao, L.P. 1993. "Intake of specific carotenoids and lung cancer risk. *Cancer Epidemiol.*" **Biomarkers Prev.** 2:183-187.
- Le Marchand, L., Harkin, J.H., Bach, F., Kolonel, L.N., Wilkens, L.R., Stacewicz-Sapuntzakis, M., Bowen, P.E., Beecher, G.R., Laudon, F. and Baque, P. 1995. "An ecological study of diet and lung cancer in the South Pacific." **Int. J. Cancer** 63: 18-23.
- Le Maux, S., Giblin, L., Croguennec, T., Bouhallab, S. and Brodkorb, A. 2012. "Beta-lactoglobulin as a molecular carrier of linoleate: characterization and effects on intestinal epithelial cells in vitro." **J. Agric. Food Chem.** 60: 9476-9483.

เอกสารนี้เป็นเอกสารที่สงวนไว้สำหรับการใช้งานเพื่อการศึกษาเท่านั้น ไม่อนุญาตให้นำไปใช้ประโยชน์ด้านการค้าไม่ว่ากรณีใดๆ ทั้งสิ้น อีกทั้งห้ามมิให้ตัดแปลงเนื้อหา และต้องอ้างอิงถึงเจ้าของเอกสารทุกครั้งที่มีการนำไปใช้

- Lee, S. and McClements, D., 2010. "Fabrication of protein-stabilised nanoemulsions using a combined homogenisation and amphiphilic solvent dissolution/evaporation approach." **J. Food hyd.** 24 (6): 560-569.
- Leong, T. S. H., Wooster, T. J., Kentish, S. E. and Ashokkumar, M. 2009. "Minimising oil droplet size using ultrasonic emulsification." **Ultrasonics Sonochemistry.** 16(6): 721-727.
- Li, B., Du, W., Jin, J. and Du, Q. 2012. "Preservation of epigallocatechin-3-gallate antioxidant properties loaded in heat treated beta-lactoglobulin nanoparticles." **Food Chem.** 126: 821-826.
- Li, Y., McClement, D.J. 2013. "Influence of non-ionic surfactant on electrostatic complexation of protein-coated oil droplets and ionic biopolymers (alginate and chitosan)". **J. Food hyd.** 33, (2): 368-375.
- Li, Z., and Gu, L. 2011. "Effects of mass ratio, pH, temperature, and reaction time on method intended for the entrapment of hydrophilic drugs into nanoparticles." **Cancer Lett.** 114: 179-181.
- Li, Z., Jiang, H., Xu, C and Gu, L. 2015. "A review: Using nanoparticles to enhance absorption and bioavailability of phenolic phytochemicals." **J. Food hyd.** 43: 153- 164.
- Li, Z., Pan, Q., Jin, Z., Mu, L. and Duan, C. 2011. "Comparison on phenolic compounds in *Vitis vinifera* cv. Cabernet Sauvignon wines from five wine-growing regions in China." **Food Chem.** 125(1): 77-83.
- Li, Z., Percival, S.S., Bonard, S. and Gu, L. 2011. "Fabrication of nanoparticles using partially purified pomegranate ellagitannins and gelatin and their apoptotic effects." **Int J Food Sci Nutr.** 55(7):1096-1103.
- Liang, L., Leung Sok Line, V., Remondetto, G. E. and Subirade, M. 2010. "In vitro release of α -tocopherol from emulsion-loaded β -lactoglobulin gels." **Int Dairy J.** 20: 176-181.
- Liang, L., Tajmir-Riahi, H. A. and Subirade, M., 2008. "Interaction of β -lactoglobulin with resveratrol and its biological implications." **Biomacromolecules.** 9: 50-56.

เอกสารนี้เป็นเอกสารที่สงวนไว้สำหรับการใช้งานเพื่อการศึกษาเท่านั้น ไม่อนุญาตให้นำไปใช้ประโยชน์ด้านการค้าไม่ว่ากรณีใดๆ ทั้งสิ้น อีกทั้งห้ามมิให้ตัดแปลงเนื้อหา และต้องอ้างอิงถึงเจ้าของเอกสารทุกครั้งที่มีการนำไปใช้

- Liang, L., Wu, X., Zhao, T., Zhao, J., Li, F., Zou, Y., Mao, G. and Yang, L., 2012. "In vitro bioaccessibility and antioxidant activity of anthocyanins from mulberry (*Morus atropurpurea* Roxb.) following simulated gastro-intestinal digestion." **Food Res Int.** 46(1): 76-82.
- Lopez-Rubio, A. and Lagaron, J. M. 2012. "Whey protein capsules obtained through electrospraying for the encapsulation of bioactives." **Inno F Sci & Emer.Tech.** 13: 200-206.
- Luo, Y., Zhang, B., Whent, M., Yu, L. and Wang, Q. 2011. "Preparation and characterization of zein/chitosan complex for encapsulation of a-tocopherol, and its in vitro controlled release study." **Trends Food Sci Technol.** 85(2):145-152.
- Mantovani, R.A., Cavallieri, Â.L., Netto, F.M. and Cunha, R.L. 2013. "Stability and in vitro digestibility of emulsions containing lecithin and whey proteins." **Food Funct.** 4(9):1322-1331.
- Martin, A. H. and de Jong, G. A. 2012. "Enhancing the in vitro Fe²⁺ bio-accessibility using ascorbate and cold-set whey protein gel particles." **Dairy Sci & Tech.** 92: 133-149.
- Matalanis, A., Decker, E. A. and McClements, D. J. 2012. Inhibition of lipid oxidation by encapsulation of emulsion droplets within hydrogel microspheres. **Food Chem.** 132: 766-772.
- Maux, S.L., Giblin, L., Croguennec, T., Bouhallab S. and Brodkorb, A. 2012. "B-Lactoglobulin as a Molecular Carrier of Linoleate: Characterization and Effects on Intestinal Epithelial Cells in Vitro" **J. Agric. Food Chem.** 60: 9476-9483.
- Mckenzie, H.A. and Sawyer, W.H. 1967. "Effect of pH on β -Lactoglobulins." **Int J Food Sci Nutr.** 214, 1101-1104.
- Monahan, F.J., German, J.B. and Kinsellat, J.E. 1995. "Effect of pH and Temperature on Protein Unfolding and Thiol/Disulfide Interchange Reactions during Heat-Induced Gelation of Whey Proteins." **J. Agric. Food Chem.** 43: 46-52.

- Mun, S., Parka, S., Kima, Y.O. and McClement. D.J. 2016. "Influence of methylcellulose on attributes of β -carotene fortified starch-based filled hydrogels: Optical, rheological, structural digestibility, and bioaccessibility properties." **Int J Food Sci Nutr.** 87: 18-24.
- National Institute of Medicine, 2001. DRI's for Vit A, Vit As, B, Cr, Cu, I, Fe, Mn, Mo, Ni, Si, V, and Zn. **National Institute of Medicine.** Washington DC.
- Nicolai, T., Britten, M. and Schmitt, C. 2011. "B-Lactoglobulin and WPI aggregates: Formation, structure and applications." **J. Food hyd.** 25: 1945-1962.
- Noy, N. 2000. Vitamin A. In: Stipanuk. **Biochemical and Physiological Aspects of Human Nutrition.** W.B. Saunders Company, Philadelphia, PA, pp. 599-618.
- O'Neill, M.E., Carroll, Y., Corridan, B., Olmedilla, B., Granado, F., Blanco, I., Van den Berg, H., Hininger, I., Rousell, A.M., Chopra, M., Southon, S. and Thurnham, D.I., 2001. "A European carotenoid database to assess carotenoid intakes and its use in a five country comparative study." **Int J Food Sci Nutr.** 85: 499-507.
- Ogunkoya, Y., Nickel, B., Gay, V. and Murray, S. 2009. "Using quantum dots to visualize clathrin associations." **Biotechnic & Histochemistry,** 84(3): 109-115.
- Ou, K., Percival, S.S., Zou, T., Khoo, C. and Gu, L. 2012. "Transport of Cranberry a-type procyanidin dimers, trimers, and tetramers across monolayers of human intestinal epithelial Caco-2 cells." **J. Agric. Food Chem.** 60(6), 1390-1396.
- Peng, L.C., Liu, C.H., Kwan, C.C. and Huang, K.F., 2010. "Optimisation of water-in-oil nanoemulsions by mixed surfactants." **Trends Food Sci Technol.** 370(3): 136-142.
- Pihlanto-Leppala, A. 2000, "Bioactive peptides derived from bovine whey proteins: opioid and ace-inhibitory peptides." **Trends Food Sci. Technol.** 11: 347-356.
- Qian, C., Decker, E.A., Xiao, H. and McClements, D.J., 2012. "Nanoemulsion delivery systems: influence of carrier oil on b-carotene bioaccessibility." **Food Chem.** 135(3): 1440-447.

- Qv, X.Y., Zeng, Z.P. and Jiang, J.G. 2011. "Preparation of lutein microencapsulation by complex coacervation method and its physicochemical properties and stability" **J.foodhyd.** 25: 1596-1603
- Ramos, O. L., Fernandes, J. C., Silva, S. I., Pintado, M. E. and Malcata, F. X. (2012). Edible films and coatings from whey proteins: a review on formulation, and on mechanical and bioactive properties. **Crit. Rev. Food Sci. Nutr.** 52:533–552.
- Ramos, O.L., Ricardo, N., Martins, P.A., Rodrigues, R., Fucinos, C., Teixeira, J.A., Pastrana, L.F., Malcata, X. and António A. 2015. "Vicente Design of whey protein nanostructures for incorporation and release of nutraceutical compounds in food." **Crit. Rev. Food Sci. Nutr.** 2015 1549-1558
- Ranganathan, A., Keelara, V. and Vallikannan, B. 2013. "Promising interaction between nanoencapsulated lutein with low molecular weight chitosan: Characterization and bioavailability of lutein in vitro and in vivo." **Food Chem.** 141: 327-337
- Relkin, P. and Shukat, R. 2012. "Food protein aggregates as vitaminmatrix carriers: impact of processing conditions." **Food Chem.** 134: 2141-2148.
- Rodrigues, A. and Shao. A. 2004. "The science behind lutein." **Toxic Letters.** 150: 57-83
- Roodenburg, A.J., Leenen, R., van het Hof, K.H., Weststrate, J.A. and Tijburg, L.B. 2000. "Amount of fat in the diet affects bioavailability of lutein esters but not of alpha- carotene, betacarotene, and Vitamin E in humans (see comments)." **Am. J. Clin. Nutr.** 71: 1187-1193.
- Sabliov, Cr., Chen, Hr. and Yada, Ri. 2015. "Nanotechnology and Functional Foods: Effective Delivery of Bioactive Ingredients." **Wiley-Blackwell.** 280-282
- Santos, M.J., Teixeira, J.A. and Rodrigues, L.R. 2012. "Fractionation of the major whey proteins and isolation of B-Lactoglobulin variants by anion exchange chromatography." **Sep. Purif. Technol.** 90: 133-139.
- Sarkar, A., Horne, D.S. and Singh, H., 2010. "Interactions of milk protein-stabilized oil-in-water emulsions with bile salts in a simulated upper intestinal model." **J. Foodhyd.** 24(2): 142-151.

เอกสารนี้เป็นเอกสารที่สงวนไว้สำหรับการใช้งานเพื่อการศึกษาเท่านั้น ไม่อนุญาตให้นำไปใช้ประโยชน์ด้านการค้าไม่ว่ากรณีใดๆ ทั้งสิ้น อีกทั้งห้ามมิให้ตัดแปลงเนื้อหา และต้องอ้างอิงถึงเจ้าของเอกสารทุกครั้งที่มีการนำไปใช้

- Sawyer, W.H. 1968. "Heat denaturation of bovine b-lactoglobulins and relevance of disulfide aggregation." **J. Dairy Sci.** 51: 323-329.
- Scalbert, A. and Williamson, G. 2000. "Dietary intake and bioavailability of polyphenols." **J Nutr.** 130: 2073-2085.
- Seddon, J.M., Ajani, U.A., Sperduto, F.L.D., Hiller, R., Blair, N., Burton, T.C., Farber, M.D., Gragoudas, E.S., Haller, J. and Miller, D.T. 1994. "Dietary carotenoids, Vitamins A C and E and advanced age-related macular degeneration. Eye Disease Case-Control Study Group." **Jam.** 272: 1413-1420.
- Serrano-Cruz, M. R., Villanueva-Carvajal, A., Rosales, E. J. M., Davila, J. F. R. and Dominguez-Lopez, A. 2013. "Controlled release and antioxidant activity of Roselle (*Hibiscus sabdariffa* L.) extract encapsulated in mixtures of carboxymethyl cellulose, whey protein, and pectin." **LWT Food Science and Technology.** 50: 554-561.
- Shahidi, F. and Han, X. Q. 1993. "Encapsulation of food ingredients. Critical Reviews in Food Science and Nutrition." **Inno F Sci & Emer.Tech.** 33: 501-547.
- Shahidi, F. and Han, X.Q. 1993. "Encapsulation of food ingredients, Encapsulation of food ingredients." **J. Agric. Food Chem.** 33(6): 501-547.
- Shimada, K. and Cheftel, J.C. 1989. "Sulfhydryl group/disulfide bond interchange reactions during heat-induced gelation of whey protein isolate." **J. Agric. Food Chem.** 37:161-168.
- Shimomura, M. and Sawadaishi, T. 2001. Bottom-up strategy of materials fabrication: a new trend in nanotechnology of soft materials. **J Food Eng.** 6(1): 11-16.
- Shpigelman, A., Israeli, G. and Livney, Y. D. 2010. "Thermally-induced protein polyphenol co-assemblies: beta lactoglobulin-based nanocomplexes as protective nanovehicles for EGCG." **J. Foodhyd.** 24: 735-743.
- Smilowitz, J.T., Dillard, C.J. and German, J.B. 2005. "Milk beyond essential nutrients: The metabolic food." **Aust. J. Dairy Technol.** 60:77-83.

- Sneharani, A. H., Karakkat, J. V., Singh, S. A. and Rao, A. G., 2010. "Interaction of curcumin with beta-lactoglobulin-stability, spectroscopic analysis, and molecular modeling of the complex." **J. Agri Food Chem.** 58: 11130-11139.
- Sommerburg, O., Keunen, J.E., Bird, A.C. and van Kuijk, F.J. 1998. "Fruits and vegetables that are sources for lutein and zeaxanthin: the macular pigment in human eyes." **Br. J. Ophthalmol.** 82: 907-910.
- Sonneville-Aubrun, O., Simonnet, J.T. and L'Alloret, F., 2004. "Nanoemulsions: a new vehicle for skincare products." **J Food Eng.** 108: 145-149.
- Sotomayor-Gerding, D., Oomah, B. D., Acevedo, F., Morales, E. Bustamante, M., Shene, C. and Rubilar, M. 2016. "High carotenoid bioaccessibility through linseed oil nanoemulsions with enhanced physical and oxidative stability." **Food Chem.** 199: 463–470.
- Stephanie, D., Isabelle, M., Jean-Francois, H., Daniel, T. and Augustin, S. 2001. "Transport of proanthocyanidin dimer, trimer, and polymer across monolayers of human intestinal epithelial Caco-2 cells." **Int J Pharm.** 3(6): 957-967.
- Tadros, T., Izquierdo, P., Esquena, J. and Solans, C. 2004. "Formation and stability of nanoemulsions. Advances in Colloid and Interface Science." **Food Chem.** 108-119
- Tarhini, M., Greige-Gerges, H. and Elaissaria, A. 2017. "Protein-based nanoparticles: From preparation to encapsulation of active molecules." **Inter Journal of Pharmaceutics.** 522: 172-197.
- Tavel, L., Moreau, C., Bouhallab, S., Li-Chan, E. C. Y. and Guichard, E., 2010. "Interactions between aroma compounds and blactoglobulin in the heat-induced molten globule state." **Food Chem.** 119:1550-1556.
- Teng, Z., Xu, R. and Wang, Q. 2015. "Beta-lactoglobulin-based encapsulating systems as emerging bioavailability enhancers for nutraceuticals" **RSC Adv.** 306-311.
- Troncoso, E., Aguilera, J.M. and McClement, D.J. 2012. "Influence of particle size on the in vitro digestibility of protein-coated lipid nanoparticles." **J Colloid Interface Sci.** 382 110-116.

เอกสารนี้เป็นเอกสารที่สงวนไว้สำหรับการใช้งานเพื่อการศึกษาเท่านั้น ไม่อนุญาตให้นำไปใช้ประโยชน์ด้านการค้า
ไม่ว่ากรณีใดๆ ทั้งสิ้น อีกทั้งห้ามมิให้ตัดแปลงเนื้อหา และต้องอ้างอิงถึงเจ้าของเอกสารทุกครั้งที่มีการนำไปใช้

- Uversky, V.N. 1997. "Diversity of compact forms of denatured globular proteins." **Protein Pept. Lett.** 4: 355-367.
- Velikov, K. P. and Pelan, E. 2008. "Colloidal delivery systems for micronutrients and nutraceuticals." **Soft Matter.** 4: 1964-1980.
- Weber, C., Coester, C., Kreuter, J., and Langer, K. 2000. "Desolvation process and surface characteristics of protein nanoparticles." **Int J Pharm.** 194: 91-102.
- Weiss, J., Takhistov, P. and McClements, J. 2006. Functional Materials in Food Nanotechnology. **J. Agric. Food Chem.** 71(9): 107-116.
- Whitesides, G. M. and Grzybowski, B. 2002. "Self-assembly at all scales. Science." 295(5564), 2418-2421.
- Wilczewska, A.Z., Niemirowicz, K. and Markiewicz, K.H. 2012. "Nanoparticles as drug delivery systems." **Pharmacol Rep.** 64(5):1020-1037.
- Winkler, B.S., Boulton, M.E., Gottsch, J.D. and Sternberg, P. 1999. "Oxidative damage and age-related macular degeneration." **Mol.Vis.** 5:26-32.
- Wolf, G. 2002. "The effect of low and high doses of beta-carotene and exposure to cigarette smoke on the lungs of ferrets." **Int J Food Sci Nutr.** 60: 88-90.
- Yang, Y. and McClements, D.J., 2013. "Encapsulation of vitamin E in edible emulsions fabricated using a natural surfactant." **J. Food hyd.** 30 (2): 712-20.
- Yeum, K.J. and Russell, R.M. 2002. "Carotenoid bioavailability and bioconversion". **Annu. Rev. Nutr.** 22, 483-504.
- Yi, K., Cheng, G. and Xing, F., 2006. "Gelatin/tannin complex nanospheres via molecular assembly." **J. Agric. Food Chem.** 101(5): 3125-3130
- Zhang, L., Zheng, Y., Chow, M.S.S. and Zuo, Z. 2004. "Investigation of intestinal absorption and disposition of green tea catechins by Caco-2 monolayer model." **Int J Pharm.** 287(12): 1-12.

เอกสารนี้เป็นเอกสารที่สงวนไว้สำหรับการใช้งานเพื่อการศึกษาเท่านั้น ไม่อนุญาตให้นำไปใช้ประโยชน์ด้านการค้า
ไม่ว่ากรณีใดๆ ทั้งสิ้น อีกทั้งห้ามมิให้ตัดแปลงเนื้อหา และต้องอ้างอิงถึงเจ้าของเอกสารทุกครั้งที่มีการนำไปใช้

- Zhang, Y., Wright, E. and Zhong Q. 2013. "Effects of pH on the Molecular Binding between β -Lactoglobulin and Bixin." **J. Agric. Food Chem.** 61:947-954.
- Zhong, Q., and Jin, M. 2009. "Zein nanoparticles produced by liquid-liquid dispersion." **J. Food hyd.** 23(8): 2380-2387.
- Zhu, Q.Y., Zhang, A., Tsang, D., Huang, Y. and Chen, Z.Y. 1997. "Stability of green tea catechins." **J. Agric. Food Chem.** 45(12): 4624-4628.
- Zimet, P., Rosenberg, D. and Livney, Y.D. 2001. "Re-assembled casein micelles and casein nanoparticles as nano-vehicles for u-3 polyunsaturated fatty acids." **J. Food hyd.** 25: 1270-1276.
- Zorilla, R., Liang, L., Remondetto, G. and Subirade, M. 2011. "Interaction of epigallocatechin-3 -gallate with b-lactoglobulin: molecular characterization and biological implication." **Dairy Sci Technol.** 91: 629-644.

ภาคผนวก ก.

การศึกษาสภาวะเบื้องต้น: การผลิตอนุภาคเวย์โปรตีนไอโซเลต

ก.1 ผลของความเข้มข้นของสารละลายเวย์โปรตีนที่มีผลต่อลักษณะทางกายภาพของอนุภาคเวย์โปรตีนไอโซเลต

กระบวนการดีซอลเวชันเป็นวิธีการที่มีการเติมตัวทำลายอินทรีย์ เหนียวนาโปรตีนให้เกิดการเปลี่ยนแปลงโครงสร้างจนเกิดการรวมตัวกันเองของโปรตีน ซึ่งระดับความเข้มข้นสารละลายโปรตีนจะส่งผลกระทบต่อระดับการรวมตัวของอนุภาคและขนาดอนุภาคที่เกิดขึ้น (Jun *et al.*, 2011)

การทดลองหาสภาวะที่มีผลต่อขนาด และลักษณะทางกายภาพของอนุภาคเวย์โปรตีนไอโซเลตที่เกิดขึ้น โดยได้ศึกษาระดับความเข้มข้นของสารละลายเวย์โปรตีนไอโซเลต ที่ 0.5, 1, 2, 3 และ 5 เปอร์เซ็นต์ (w/w) ร่วมกับอัตราส่วนของปริมาณเอทานอลต่อปริมาณเอทานอลที่ใช้ในระดับ 0.25, 0.50 และ 0.75 เท่าต่อปริมาณสารละลายเวย์โปรตีนไอโซเลต (ที่สภาวะ pH 7) เป็นปัจจัยที่ใช้ศึกษาผลของลักษณะทางกายภาพของอนุภาคเวย์โปรตีนไอโซเลตที่เกิดขึ้น

เมื่อสังเกตลักษณะของสารละลายเวย์โปรตีนไอโซเลตที่ผ่านวิธีการดีซอลเวชันมา พบว่าระดับความเข้มข้นของสารละลายเวย์โปรตีนไอโซเลตที่เพิ่มขึ้น (0.5, 1, 2, 3 และ 5 เปอร์เซ็นต์ (w/w)) ส่งผลให้ลักษณะของสารละลายเวย์โปรตีนไอโซเลตมีความขุ่นมากยิ่งขึ้น อาจเกิดจากปริมาณเวย์โปรตีนไอโซเลตที่มากขึ้น จนทำให้อนุภาคเกิดการรวมตัวกันเองมากขึ้นจนเป็นอนุภาคขนาดใหญ่

และเมื่อพิจารณาปริมาณเอทานอลที่เพิ่มขึ้นในแต่ละความเข้มข้นของสารละลายเวย์โปรตีนไอโซเลต (0.25, 0.50 และ 0.75 เท่าต่อปริมาณสารละลายเวย์โปรตีนไอโซเลต คงที่สภาวะ pH 7) พบว่าความเข้มข้นสารละลายเวย์โปรตีนไอโซเลตที่สามารถเกิดลักษณะโปร่งใสในทุก ระดับของปริมาณเอทานอลที่เพิ่มขึ้น คือเวย์โปรตีนไอโซเลตความเข้มข้น 1 เปอร์เซ็นต์ ทำให้คาดการณ์ว่าที่ระดับความเข้มข้นของสารละลายเวย์โปรตีนไอโซเลตที่ 1 เปอร์เซ็นต์ เป็นช่วงความเข้มข้นของสารละลายเวย์โปรตีนไอโซเลตที่เหมาะสมในการเกิดอนุภาคระดับนาโนเมตร เนื่องจากการเกิดลักษณะที่โปร่งใสมีความคล้ายคลึงกับลักษณะที่โปร่งใสที่เกิดขึ้นในระบบคอลลอยด์ของสารละลายอนุภาคนาโน ซึ่งมีขนาดอนุภาคเส้นผ่านศูนย์กลางเฉลี่ยอยู่ในช่วง 100-500 นาโนเมตร (Aboofazeli, 2010)

ก.2 ผลของอัตราส่วนของปริมาตรเอทานอลที่มีต่อขนาดอนุภาคของเวย์โปรตีนไอโซเลต

การเติมตัวทำละลายอินทรีย์ ซึ่งเป็นดีซอลเวตติ้งเอเจนต์ (Desolvating agent) ในกระบวนการดีซอลเวชันถือเป็นหลักการสำคัญในการลดความสามารถในการละลาย และทำให้เกิดการรวมตัวกันเองของอนุภาคนาโน ในการทดลองได้ใช้เอทานอลเป็นสารดีซอลเวตที่เติมลงไปในการละลายเวย์โปรตีนไอโซเลต (Li *et al.*, 2015) โดยระดับปริมาตรเอทานอลจะส่งผลต่อระดับการรวมตัวของอนุภาคและขนาดอนุภาคที่เกิดขึ้น

การทดลองจึงได้ศึกษาอัตราส่วนปริมาตรเอทานอลที่ 0.25, 0.50 และ 0.75 เท้าต่อปริมาตรสารละลายเวย์โปรตีนไอโซเลต ร่วมกับระดับความเข้มข้นของสารละลายเวย์โปรตีนไอโซเลต ที่ 0.5, 1, 2, 3 และ 5 เปอร์เซ็นต์ (w/w) เปอร์เซ็นต์ (w/w) (คงที่สถานะ pH 7) ซึ่งได้ศึกษาผลต่อลักษณะทางสัณฐานวิทยาของอนุภาคที่เกิดขึ้น

พบว่าปริมาณเอทานอลต่อสารละลายเวย์โปรตีนที่เพิ่มขึ้น ส่งผลให้เกิดลักษณะของสารละลายเวย์โปรตีนไอโซเลตที่ขุ่นมากยิ่งขึ้น โดยเริ่มจากที่ปริมาตรเอทานอลต่อสารละลายเวย์โปรตีน 0.25 และ 0.50 เท้าต่อสารละลายเวย์โปรตีน (ความเข้มข้น 1 เปอร์เซ็นต์) สามารถแสดงลักษณะที่โปร่งใสได้ แต่ถ้าหากมีการเพิ่มปริมาณของเอทานอลมากถึง 0.75 เท้าต่อปริมาตรสารละลายเวย์โปรตีนไอโซเลต พบว่าสารละลายอนุภาคเวย์โปรตีนไอโซเลตมีลักษณะขุ่นขึ้น แต่ถ้าหากเติมเอทานอลปริมาณมากถึง 1 เท้า สารละลายอนุภาคเวย์โปรตีนไอโซเลตจะเกิดการตกตะกอน อาจเกิดจากการเติมตัวทำละลายเอทานอลในขั้นตอนดีซอลเวชันไปมากเกินไป ทำให้เกิดการเสียสภาพของโปรตีน และเกิดการจับกันเองของโครงสร้างโปรตีนโดยส่วนใหญ่ (Gülseren, *et al.*, 2012)

ซึ่งจากการทดลองนี้จะพบว่าปริมาณเอทานอล และเวย์โปรตีนไอโซเลตที่เหมาะสมสามารถส่งเสริมให้อนุภาคเวย์โปรตีนไอโซเลต เกิดการรวมตัวของโครงสร้างโปรตีนในระดับอนุภาคนาโน และความสามารถในความคงตัวในรูปแบบคอลลอยด์ โดยไม่เกิดการตกตะกอนได้นั้น จะอาศัยหลักการทำให้โครงสร้างของเวย์โปรตีนไอโซเลตเสียสภาพบางส่วน ระดับปริมาณของเอทานอลที่มากขึ้นแตกต่างกันจะทำให้เกิดลักษณะการรวมตัวกันของอนุภาค 2 รูปแบบรูปแบบที่หนึ่ง คือถ้าเมื่อเติมเอทานอลในระดับที่เหมาะสมจะทำให้เกิดสภาพขุ่นที่สมดุลของโครงสร้างโปรตีนในการเกาะกับน้ำและเอทานอล สามารถแสดงสมบัติของการซึมซับเวย์โปรตีนไอโซเลตไว้บนพื้นผิวของอนุภาค จากการที่โปรตีนเป็นโมเลกุลที่มีสองขั้ว (zwitterion) ทำให้โปรตีนสามารถเกิดรวมตัวกันเอง และมีสภาพประจุภายนอกที่เกิดการผลักกันทำให้สามารถต่อต้านการรวมตัวระหว่างอนุภาคกันเอง (re-coalescent) ทำให้อนุภาคสามารถคงตัวในสารละลาย

สังเกตเห็นได้จากความโปร่งใสของสารละลาย ไม่ตกตะกอนจากการเสียสภาพของโปรตีน เอกสารนี้เป็นเอกสารที่สงวนไว้สำหรับการใช้งานเพื่อการศึกษาเท่านั้น ไม่อนุญาตให้นำไปใช้ประโยชน์ด้านการค้า ไม่ว่าจะกรณีใดๆ ทั้งสิ้น อีกทั้งห้ามมิให้ตัดแปลงเนื้อหา และต้องอ้างอิงถึงเจ้าของเอกสารทุกครั้งที่มีการนำไปใช้

(Arroyo-Maya *et al.*, 2014; Zaman *et al.*, 2014) แต่ถ้าหากมีการเติมปริมาณเอทานอลในระดับที่มากเกินไปจะทำให้สภาพขี้ของโปรตีนไม่เกิดความสะดวก ปริมาณเอทานอลที่มากเกินไปจะไปแย่งจับกับน้ำ ทำให้โปรตีนเปลี่ยนแปลงสภาพขี้มาจับกับโปรตีนกันเองมากไป จนทำให้เกิดการรวมกลุ่มของอนุภาคใหญ่มากจนเกิดการตกตะกอน (Yoshikawa *et al.*, 2012)

ศึกษาลักษณะทางสัณฐานวิทยาด้วยกล้องจุลทรรศน์อิเล็กตรอนแบบส่องกราด ระดับปริมาตรเอทานอลต่อสารละลายเวย์โปรตีน 0.25, 0.50 และ 0.75 เท่าต่อสารละลายเวย์โปรตีน (1% w/w) (คงที่สภาวะ pH 7) ศึกษาผลการทดลองต่อลักษณะรูปร่างการเปลี่ยนแปลงทางสัณฐานวิทยา แสดงให้เห็นถึงลักษณะการจัดเรียงตัวของอนุภาคเวย์โปรตีนไอโซเลตที่เกิดขึ้น

ซึ่งพบว่าปริมาณเอทานอลที่เพิ่มขึ้น ลักษณะอนุภาคเวย์โปรตีนจะเกิดรวมตัวกันเองมากขึ้น โดยสังเกตได้จากที่ระดับเอทานอลจาก 25-75 เปอร์เซ็นต์ ที่ระดับปริมาณเอทานอล 75 เปอร์เซ็นต์ จะเกิดลักษณะการจับตัวที่เป็นกลุ่มก้อนมีขนาดที่ใหญ่ที่สุดอย่างชัดเจน จนสามารถเกิดการรวมตัวเป็นกลุ่มของอนุภาคได้

ทำให้สามารถอธิบายผลของปริมาณเอทานอลที่มากขึ้นส่งผลต่อขนาดอนุภาคเวย์โปรตีนไอโซเลตที่เกิดขึ้นได้จากระดับปริมาณเอทานอลที่แตกต่างของ จะส่งผลให้เกิดการรวมตัวกันของสายโครงสร้างทุติยภูมิของเวย์โปรตีนไอโซเลต การตัวกันของโมเลกุลโปรตีน เป็นตัวการที่สำคัญต่อลักษณะการรวมตัวและขนาดอนุภาคที่เกิดขึ้น (Gülseren *et al.*, 2014)

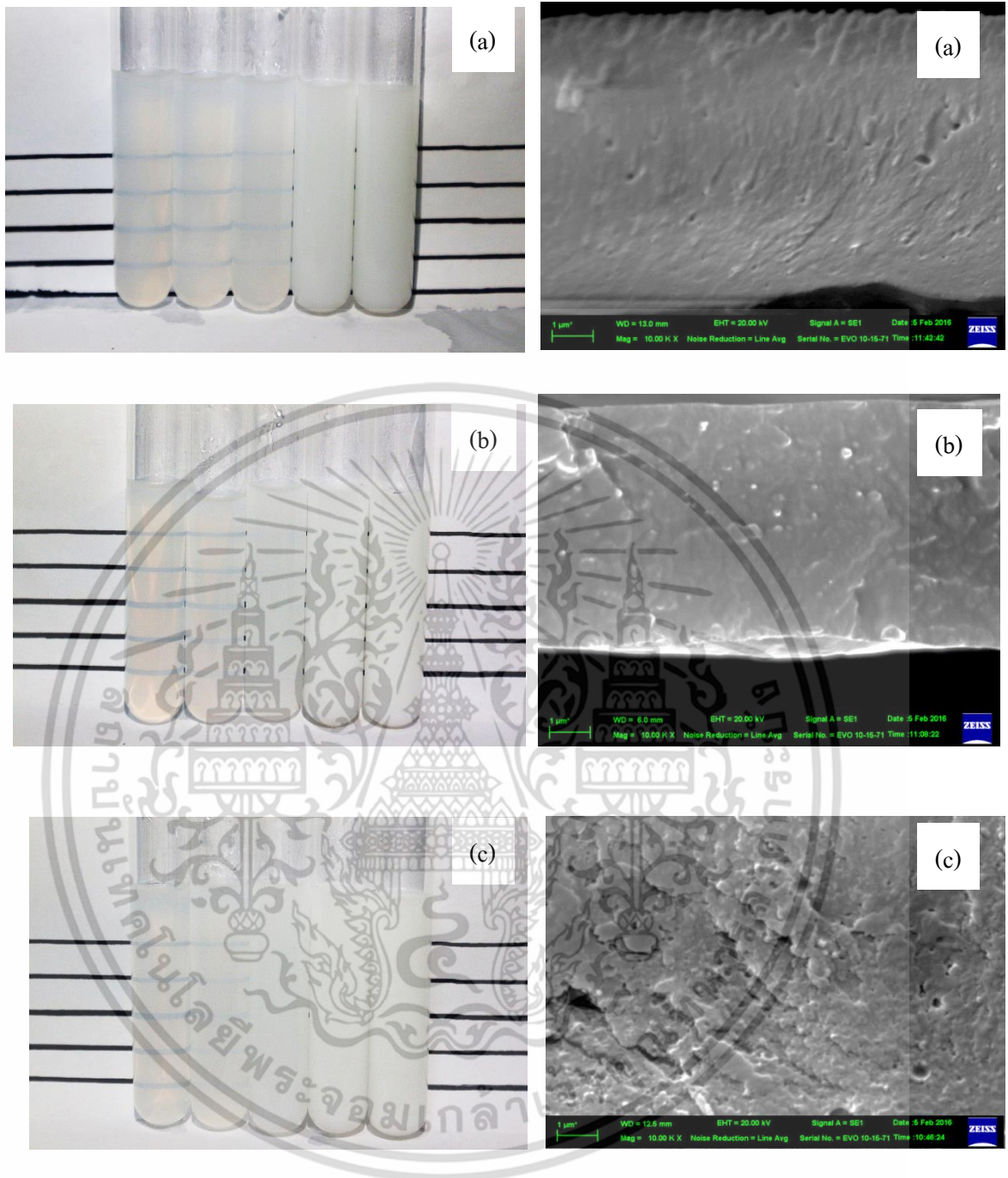
ก.3. ผลของสภาวะพีเอชของสารละลายเวย์โปรตีนไอโซเลต ที่มีต่อขนาดอนุภาคของเวย์โปรตีนไอโซเลต

สภาวะพีเอชของสารละลายเวย์โปรตีนไอโซเลตสามารถส่งผลต่อการรวมตัวของอนุภาคได้เช่นเดียวกัน ซึ่งระดับพีเอชที่แตกต่างกันจะทำให้เกิดแรงผลักของประจุบวก-ลบของระหว่างอนุภาคโปรตีนในการคลายสายโครงสร้างโปรตีนของสารละลายเวย์โปรตีนไอโซเลต นำไปสู่ระดับการรวมตัวของอนุภาคโปรตีนที่แตกต่างกันทำให้ได้ขนาดอนุภาคนาโนที่แตกต่างกัน (Bagheri *et al.*, 2014; Jun *et al.*, 2011)

จึงได้ศึกษาหาสภาวะพีเอชของสารละลายเวย์โปรตีนไอโซเลตที่มีผลต่อคุณลักษณะอนุภาคนาโนจากเวย์โปรตีนไอโซเลต โดยใช้พีเอช 3, 7 และ 9 ในสารละลายเวย์โปรตีนไอโซเลต

จากการทดลองได้แสดงให้เห็นถึงลักษณะของสารละลายอนุภาคโปรตีนที่ถูกเตรียมจากการปรับพีเอช (3, 7 และ 9) ของสารละลายเวย์โปรตีนไอโซเลต(1% w/w) พบว่าสารละลายอนุภาคเวย์โปรตีนไอโซเลตที่เกิดขึ้นทั้ง 3 พีเอช มีลักษณะโปร่งแสง (translucent)

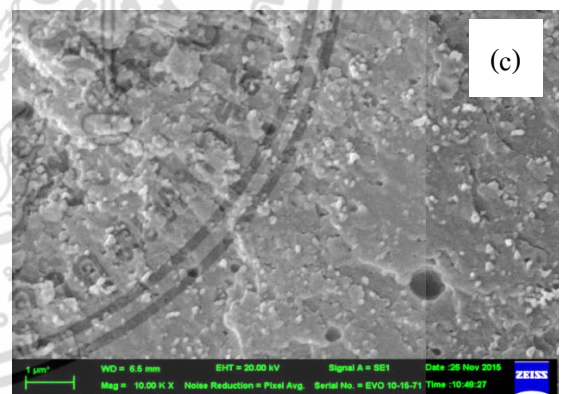
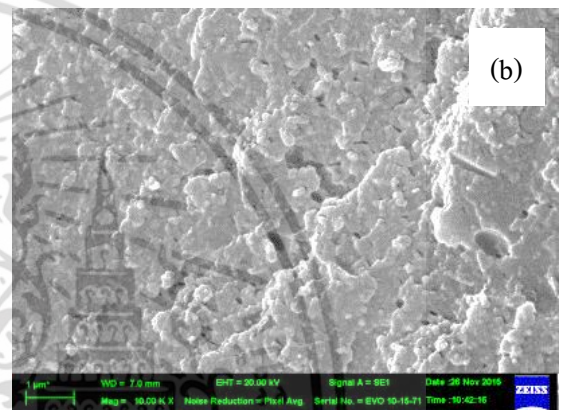
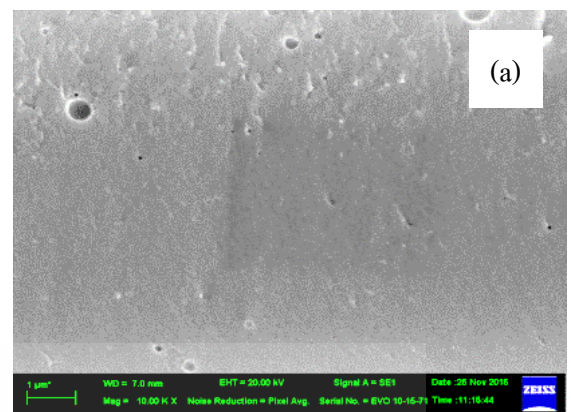
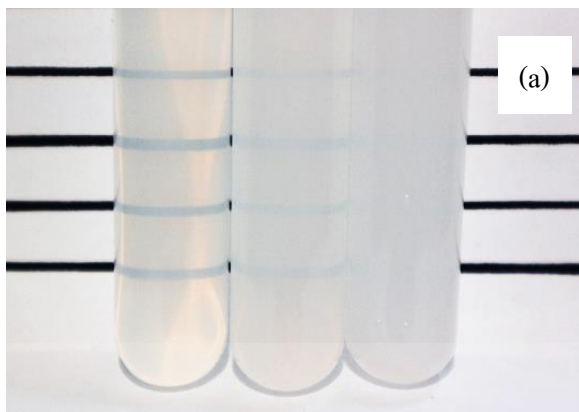
แต่เมื่อสังเกตภาพถ่ายจากการส่องกล้องจุลทรรศน์อิเล็กตรอนของอนุภาคนาโนเวย์โปรตีนไอโซเลตที่ผ่านการทำแห้งด้วยระบบสุญญากาศ ลักษณะภาพถ่ายอนุภาคของ pH7 และ pH9 มีความสามารถในการรวมตัวเป็นกลุ่มของอนุภาคโปรตีนได้ เนื่องจากภายใต้สภาวะค่าพีเอชที่ห่างจากจุดไอโซอิเล็กทริกของเวย์โปรตีนมาก ส่งผลให้ค่าแรงผลักทางไฟฟ้า (electrostatic repulsion) ที่เป็นแรงดึงดูด (attraction force; VA) เพิ่มสูงขึ้น ซึ่งเกิดจากแรงวัลเดอร์วาลและแปรผันตรงต่อขนาดการรวมกลุ่มของโปรตีน (Gülseren *et al.*, 2012) แตกต่างจาก pH 3 มีที่การรวมกลุ่มของเวย์โปรตีนไอโซเลต เกิดลักษณะที่เป็นพื้นผิวราบเรียบ คล้ายคลึงกับในการทดลองของ Davidov-Pardo *et al.*, (2016) ได้ศึกษาการผลิตนาโนอิมัลชันจากโปรตีนเคซีน ซึ่งได้อธิบายไว้ว่าโครงสร้างโปรตีนบางส่วนอาจเกิดการเสียสภาพก่อนการรวมตัวของอนุภาคโปรตีนที่ pH 3 เช่นกัน ซึ่งเกิดจากการปรับค่าพีเอชจากสภาวะกลางมาสู่กรดต้องผ่านจุดไอโซอิเล็กทริกของเวย์โปรตีนไอโซเลต จากการทดลองทำให้สามารถอธิบายได้ถึงผลของระดับพีเอชของสารละลายเวย์โปรตีนไอโซเลตต่อการรวมตัวของอนุภาคนาโนเวย์โปรตีนไอโซเลตที่แตกต่างกัน



ภาพที่ ก.1 ภาพถ่ายสารละลายอนุภาคเวียโปรตีนไอโซเลต ที่ระดับความเข้มข้นของเวียโปรตีนไอโซเลตร้อยละ 0.5, 1.0, 2.0, 3.0 และ 5.0 และปริมาตรเอทานอลที่เติมลงไปในการละลายเวียโปรตีนไอโซเลตที่ระดับ (a) 0.25 เท่า (b) 0.50 เท่า (c) 0.75 เท่า

ภาพที่ ก.2 ภาพถ่ายอนุภาคเวียโปรตีนไอโซเลตจากกล้องจุลทรรศน์อิเล็กตรอนแบบส่องกราดที่ระดับความเข้มข้นของเวียโปรตีนไอโซเลตร้อยละ 1 และปริมาตรเอทานอลต่อสารละลายเวียโปรตีนไอโซเลตที่ระดับ (a) 0.25 เท่า (b) 0.50 เท่า (c) 0.75 เท่า

เอกสารนี้เป็นเอกสารที่สงวนไว้สำหรับการใช้งานเพื่อการศึกษาเท่านั้น ไม่อนุญาตให้นำไปใช้ประโยชน์ด้านการค้าไม่ว่ากรณีใดๆ ทั้งสิ้น อีกทั้งห้ามมิให้ตัดแปลงเนื้อหา และต้องอ้างอิงถึงเจ้าของเอกสารทุกครั้งที่มีการนำไปใช้



ภาพที่ ก.3 ภาพถ่ายสารละลายเวย์โปรตีนไอโซเลตที่ระดับความเข้มข้นของร้อยละ 1 เมื่อมีการเติมเอทานอลที่เติมลงไปสารละลายเวย์โปรตีนไอโซเลต 0.25, 0.50 และ 0.75 เท่า พิเศษของสารละลายเวย์โปรตีนไอโซเลต 3 ระดับ คือ (a) pH3 (b) pH 7 (c) pH 9

ภาพที่ ก.4 ภาพถ่ายอนุภาคเวย์โปรตีนไอโซเลตจากกล้องจุลทรรศน์อิเล็กตรอนแบบส่องกราดที่ระดับความเข้มข้นของเวย์โปรตีนไอโซเลตร้อยละ 1 ปริมาตรเอทานอลที่เติมลงไปสารละลายเวย์โปรตีนไอโซเลต 0.50 เท่า ระดับพิเศษของสารละลายเวย์โปรตีนไอโซเลต คือ (a) pH3 (b) pH 7 (c) pH 9

เอกสารนี้เป็นเอกสารที่สงวนไว้สำหรับการใช้งานเพื่อการศึกษาเท่านั้น ไม่อนุญาตให้นำไปใช้ประโยชน์ด้านการค้าไม่ว่ากรณีใดๆ ทั้งสิ้น อีกทั้งห้ามมิให้ตัดแปลงเนื้อหา และต้องอ้างอิงถึงเจ้าของเอกสารทุกครั้งที่มีการนำไปใช้

ก.4 การศึกษาสภาวะการผลิตอนุภาคเวย์โปรตีนไอโซเลตในการกักเก็บลูทีน

ก.4.1 การตรวจสอบลักษณะการรวมตัวของอนุภาคนาโนลูทีนที่ห่อหุ้มเวย์โปรตีนไอโซเลต

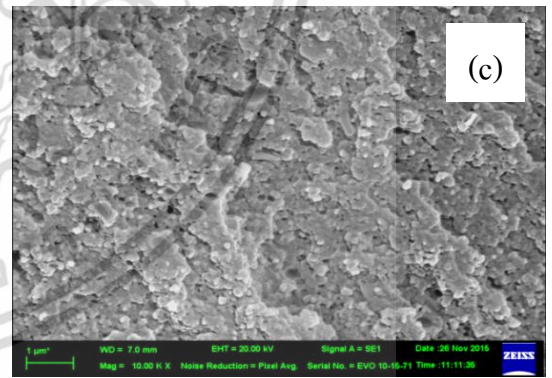
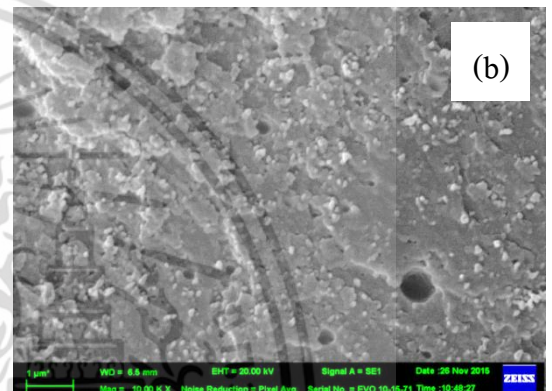
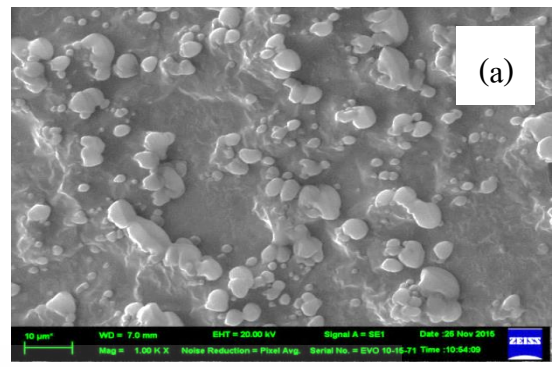
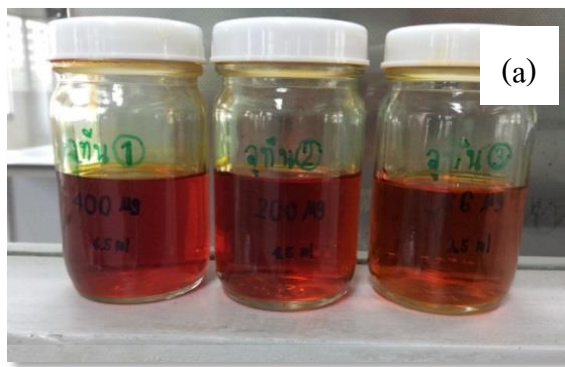
เลต

จากการทดลองได้แสดงลักษณะทางกายภาพ และสัณฐานวิทยาของลักษณะของวัตถุดิบที่นำมาใช้ในกระบวนการผลิตเอนแคปซูลลูทีนจากอนุภาคเวย์โปรตีนไอโซเลต โดยตัวอย่างได้ศึกษาทั้งลักษณะลูทีนเพียงอย่างเดียว อนุภาคนาโนเวย์โปรตีนไอโซเลต และอนุภาคนาโนเวย์โปรตีนไอโซเลตด้วยวิธีการดีซอลเวชัน เพื่อศึกษารูปร่างลักษณะ ของการเติม-ไม่เติม ลูทีนในการเอนแคปซูลด้วยเวย์โปรตีนไอโซเลต ที่เปลี่ยนแปลงไป

จากการทดลองพบว่าลักษณะของสารละลายลูทีนเพียงอย่างเดียวจะมีลักษณะเป็นรวมตัวเป็นหยดอนุภาคนาโนขนาดใหญ่ โดยปกติแล้วลูทีนจะมีลักษณะรวมตัวเป็นเกล็ดผลึกขนาดเล็ก แต่ด้วยตัวลูทีนมีความเป็นไฮโดรโฟบิกสูง ก่อนการนำมาใช้ในกระบวนการเอนแคปซูลลูทีนจะอยู่ในรูปของสารละลายในน้ำมัน ดังนั้นเมื่อนำสารละลายลูทีนในน้ำมันมาละลายในเอทานอลแล้วนำไประเหยที่สภาวะสูญญากาศ จึงทำให้เกิดเป็นหยดอนุภาคนาโนในน้ำมันเกิดขึ้น

ในส่วนต่อมาเปรียบเทียบการเติม-ไม่เติม ลูทีนจากการเอนแคปซูลด้วยเวย์โปรตีนไอโซเลต แสดงให้เห็นว่าลักษณะอนุภาคเป็นก้อนกลม และใหญ่มากขึ้นหลังมีการเติมลูทีนลงไป คล้ายคลึงกับสภาวะการทดลองการเอนแคปซูลสารสกัดฟีนอลิกจากอินทผลัม ที่มีลักษณะอนุภาคก้อนใหญ่และเกาะตัวรวมกลุ่มกันแน่นมากขึ้น (Bagheri *et al.*, 2014)

วิธีการดีซอลเวชันปัจจัยสำคัญของวิธีการ คือการใช้ตัวทำละลายอินทรีย์อย่างเอทานอลเติมลงไปเพื่อให้เกิดการคลายสายโครงสร้างโปรตีนของเวย์โปรตีนไอโซเลต ร่วมกับการทดลองนี้ต้องใช้เอทานอลในการละลายลูทีน โดยการคลายโครงสร้างโปรตีนเกิดจากการชักนำให้เกิดการเปลี่ยนแปลงที่ระดับ โครงสร้างทุติยภูมิแสดงส่วนของไฮโดรโฟบิกมากขึ้น ทำให้เกิดความสามารถในการเข้าจับกันของลูทีนบนบริเวณของโครงสร้างโปรตีนได้ มีงานวิจัยที่ทำการทดลองเอนแคปซูลเคอร์คูมิน (curcumin) ตัวเคอร์คูมินจะเข้าไปเกาะในบริเวณ non-specific (ส่วนของไฮโดรโฟบิก) ของโครงสร้างโปรตีน β -lactoglobulin (Sneharani *et al.*, 2010)



ภาพที่ ก.5 ภาพถ่ายของวัตถุดิบที่นำมาใช้ในกระบวนการดีซอลเวชัน เพื่อผลิตอนุภาคลูทีนในเวียโปรตีนไอโซเลต (a) สารละลายลูทีนในเอทานอล (b) สารละลายเวียโปรตีนไอโซเลตในน้ำปราศจากไอออน (c) สารละลายลูทีนในเวียโปรตีนไอโซเลต ที่ pH 9 เอทานอล 0.50 เท่า สัดส่วนลูทีนต่อเวียโปรตีนไอโซเลต 1.25:100, 2.50:100, 3.75:100 และ 5.00:100

ภาพที่ ก.6 ภาพถ่ายอนุภาคเวียโปรตีนไอโซเลตจากกล้องจุลทรรศน์อิเล็กตรอนแบบส่องกราด (a) สารละลายลูทีนในเอทานอล (b) สารละลายเวียโปรตีนไอโซเลตในน้ำปราศจากไอออน (c) สารละลายอนุภาคนาโนลูทีนในเวียโปรตีนไอโซเลต ที่ pH 9 เอทานอล 0.50 เท่า สัดส่วนลูทีนต่อเวียโปรตีนไอโซเลต 1.25:100, 2.50:100, 3.75:100 และ 5.00:100

ภาคผนวก ข.

การเตรียมสารเคมีที่ใช้ในการวิเคราะห์

ข.1 การเตรียมสารละลาย 0.05 M phosphate buffer saline เตรียม stock solution

- 1.) สารละลาย A: 0.2 M monobasic sodium phosphate (NaH_2PO_4 27.8 กรัม ในน้ำกลั่น 1 ลิตร)
- 2.) สารละลาย B: 0.2 M dibasic sodium phosphate ($\text{Na}_2\text{HPO}_4 \cdot 7\text{H}_2\text{O}$ 53.65 กรัม ในน้ำกลั่น 1 ลิตร)
- 3.) ผสมสารละลาย A 39 มิลลิลิตร และสารละลาย B 61 มิลลิลิตร เพื่อให้ได้ระดับ pH 7 แล้วเติมน้ำให้เป็น 400 มิลลิลิตร (ควรตรวจสอบด้วย pH meter ก่อนนำไปใช้)

ข.2 สูตรน้ำลายเทียม saliva digestion สัดส่วนปริมาณสูตร (g/L)

Sodium chloride (NaCl)	1.594	กรัม
Ammonium nitrate (NH_4NO_3)	0.328	กรัม
Potassium phosphate (KH_2PO_4)	0.636	กรัม
Potassium chloride (KCl)	0.202	กรัม
Potassium citrate ($\text{K}_3\text{C}_6\text{H}_5\text{O}_7 \cdot \text{H}_2\text{O}$)	0.308	กรัม
Uric acid sodium salt ($\text{C}_5\text{H}_3\text{N}_4\text{O}_3\text{Na}$)	0.021	กรัม
Urea (H_2NCONH_2)	0.198	กรัม
Lactic acid sodium salt ($\text{C}_3\text{H}_5\text{O}_3\text{Na}$)	0.146	กรัม
Porcine gastric Mucin	15.00	กรัม
Water (H_2O) เติมน้ำให้เป็น 1,000 มิลลิลิตร		

ประวัติผู้เขียน

ชื่อ-สกุล	นางสาวนฤมล สุประภากร
วันเกิด	14 มีนาคม พ.ศ. 2535
ที่อยู่	45/2 ม.4 ต.เป็ริง อ.บางบ่อ จ.สมุทรปราการ 10560
ประวัติการศึกษา	พ.ศ.2556 จบการศึกษาระดับปริญญาตรี วิทยาศาสตร์ศาสตรบัณฑิต คณะวิทยาศาสตร์ สาขาจุลชีววิทยาอุตสาหกรรม สถาบันเทคโนโลยีพระจอมเกล้าเจ้าคุณทหารลาดกระบัง พ.ศ.2557 ศึกษาต่อในหลักสูตรวิทยาศาสตรมหาบัณฑิต สาขา วิทยาศาสตร์การอาหาร คณะอุตสาหกรรมเกษตร สถาบันเทคโนโลยีพระจอมเกล้าเจ้าคุณทหารลาดกระบัง
การนำเสนอผลงาน	-เรื่อง Nanoemulsion of Lutein Stability by Whey Protein Isolate Blended with Low-Molecular Weight Emulsifiers งานประชุม วิชาการ งาน Food Innovation Asia Conference 2017 (FIAC 2017) ครั้งที่ 19 “Innovative Food Science and Technology for Mankind: Empowering Research for Health and Aging Society” วันที่ 15 - 17 มิถุนายน 2560 -เรื่อง Effect of pH and the Amount of Added Ethanol on Whey Protein Isolate Aggregation งานประชุม วิชาการงาน Food Innovation Asia Conference 2018 (FIAC 2018) ครั้งที่ 20 “Creative Food for Future and Sustainability” วันที่ 14 - 16 มิถุนายน 2561

เอกสารนี้เป็นเอกสารที่สงวนไว้สำหรับการใช้งานเพื่อการศึกษาเท่านั้น ไม่อนุญาตให้นำไปใช้ประโยชน์ด้านการค้า ไม่ว่ากรณีใดๆ ทั้งสิ้น อีกทั้งห้ามมิให้ดัดแปลงเนื้อหา และต้องอ้างอิงถึงเจ้าของเอกสารทุกครั้งที่มีการนำไปใช้